



รายงานวิจัยฉบับสมบูรณ์

โครงการศึกษาผลกระทบจากการได้รับสารอินทรีย์ระเหย
ที่เป็นสารก่อมะเร็งต่อสุขภาพของประชากรในพื้นที่จังหวัดระยอง

โดย รศ.ดร.คุณหญิงมธุรส รุจิรวัฒน์และคณะ
สถาบันวิจัยจุฬาภรณ์

29 มีนาคม 2553

สัญญาเลขที่ RDG5030035

รายงานวิจัยฉบับสมบูรณ์

โครงการศึกษาผลกระทบจากการได้รับสารอินทรีย์ระเหย
ที่เป็นสารก่อมะเร็งต่อสุขภาพของประชากรในพื้นที่จังหวัดระยอง

คณะผู้วิจัย	สังกัด
1. รศ.ดร.คุณหญิงมธุรส รุจิรวัฒน์	ห้องปฏิบัติการพิชวิทยาสิ่งแวดล้อม สถาบันวิจัยจุฬาภรณ์
2. ดร.พนิดา นาสัมฤทธิ์	ห้องปฏิบัติการพิชวิทยาสิ่งแวดล้อม สถาบันวิจัยจุฬาภรณ์
3. ดร.ออมรัตน์ คัมภีริวิภากร	ห้องปฏิบัติการพิชวิทยาสิ่งแวดล้อม สถาบันวิจัยจุฬาภรณ์
4. จีรวันท์ พรมวิจิตร	ห้องปฏิบัติการพิชวิทยาสิ่งแวดล้อม สถาบันวิจัยจุฬาภรณ์
5. วรารณ์ ปานลบ	ห้องปฏิบัติการพิชวิทยาสิ่งแวดล้อม สถาบันวิจัยจุฬาภรณ์

สนับสนุนโดยสำนักงานกองทุนสนับสนุนการวิจัย (สกว.)
(ความเห็นในรายงานนี้เป็นของผู้วิจัย สกว. ไม่จำเป็นต้องเห็นด้วยเสมอไป)

สารบัญ

	หน้า
บทสรุปสำหรับผู้บริหาร	1
บทคัดย่อ	8
ความเป็นมาและความสำคัญของปัญหา	10
การทบทวนวรรณกรรม	
สารเบนชีน	15
สารบวากาไดอีน	21
สารไวนิลคลอไรด์	27
ดัชนีชีวภาพการเปลี่ยนแปลงในระยะเริ่มต้น	32
ดัชนีชีวภาพการตอบสนองต่อการอักเสบ	34
การดำเนินการวิจัย	
การกำหนดพื้นที่ศึกษาและพื้นที่ควบคุม	38
การคัดเลือกอาสาสมัครและขนาดกลุ่มตัวอย่าง	41
การดำเนินการและวิธีเก็บตัวอย่างอากาศและตัวอย่างชีวภาพ	42
การวิเคราะห์ตัวอย่างอากาศ	44
การวิเคราะห์ตัวอย่างชีวภาพ	45
การวิเคราะห์ระดับดัชนีชีวภาพการเปลี่ยนแปลงในระยะเริ่มต้น	46
การวิเคราะห์ดัชนีชีวภาพการตอบสนองต่อการอักเสบ	48
การวิเคราะห์ทางสถิติ	48
ผลการวิจัยและบทวิจารณ์	
ข้อมูลเบื้องต้นของอาสาสมัครกลุ่มศึกษาและกลุ่มควบคุม	52
การประเมินการได้รับสัมผัสสาร	63
การประเมินการได้รับสาร โดยใช้ดัชนีชีวภาพของการได้รับสัมผัส	72
การประเมินผลกระทบต่อสุขภาพเบื้องต้นโดยใช้ดัชนีชีวภาพของการเปลี่ยนแปลงในระยะเริ่มต้น	81
การประเมินดัชนีชีวภาพการตอบสนองต่อการอักเสบ	89
สรุปผลการวิจัยและข้อเสนอแนะ	
สรุปผลการวิจัย	93
ข้อเสนอแนะ	97
เอกสารอ้างอิง	99

บทสรุปสำหรับผู้บริหาร

การศึกษาวิจัยเรื่อง ผลกระทบจากการได้รับสารอินทรีย์ระเหยที่เป็นสารก่อมะเร็งต่อสุขภาพของประชากรในพื้นที่จังหวัดระยองได้ดำเนินการศึกษาดังต่อไปนี้ ระหว่างเดือนมีนาคม 2553 ถึงเดือนมีนาคม 2554 ณ หมู่บ้านที่อยู่อาศัยในเขตเทศบาลเมืองอุตสาหกรรมในบริเวณนี้ ได้แก่

1. เบนซีน (Benzene)
2. บิวทาไดอีน (1,3-Butadiene)
3. ไวนิลคลอไรด์ (Vinyl chloride)

โดยมีวัตถุประสงค์ เพื่อประเมินความเสี่ยงต่อการเกิดโรคมะเร็งในอนาคตจากการได้รับสารอินทรีย์ระเหยเหล่านี้ในประชาชนที่อาศัยโดยรอบเขตเทศบาลเมืองอุตสาหกรรมมาบตาพุด

การวิจัยนี้ เป็นการศึกษาทาง Molecular Epidemiology ซึ่งประกอบด้วยการตรวจวัดระดับของสารอินทรีย์ระเหยเหล่านี้ในบรรยายกาศและตรวจวัดระดับการได้รับสารแต่ละตัวในระดับบุคคลของประชากรกลุ่มศึกษาโดยใช้ชนิดชีววัสดุทางชีวภาพ (biomarkers) ที่มีความจำเพาะเพื่อประเมินความเสี่ยงจากการได้รับสารอินทรีย์ระเหยเหล่านี้ในกลุ่มประชากรในพื้นที่ซึ่งรวมควบคุมลพิษระบุว่า มีโอกาสที่จะได้รับสารมลพิษเหล่านี้ในปริมาณที่สูงกว่าบริเวณอื่นๆ และเปรียบเทียบผลการศึกษา กับกลุ่มประชากรที่อาศัยอยู่ในพื้นที่ควบคุมซึ่งไม่มีโรงงานอุตสาหกรรมที่เกี่ยวข้องกับการใช้สารอินทรีย์ระเหย และประชากรที่มีวิถีการดำรงชีวิตคล้ายคลึงกัน ได้แก่

1. พื้นที่ศึกษามาบตาพุด ได้แก่
 - พื้นที่ศึกษามาบตาพุด 1 ได้แก่ บริเวณวัดหนองแฟบ
 - พื้นที่ศึกษามาบตาพุด 2 ได้แก่ สถานีเมืองใหม่และชุมชนบ้านพล
2. พื้นที่ควบคุม ได้แก่ หมู่บ้านช่องแสมสาร อ.สัตหีบ จ.ชลบุรี ซึ่งเป็นพื้นที่ซึ่งไม่มีโรงงานอุตสาหกรรมเกี่ยวข้องกับสารอินทรีย์ระเหย

ดัชนีชีววัสดุทางชีวภาพ (biomarkers) ที่นำมาใช้ในการวิจัยนี้ได้แก่

1. ดัชนีชีววัดการได้รับสัมผัส (biomarker of exposure) ชนิดต่างๆ ที่มีความจำเพาะกับสารที่ได้รับ ที่จะบ่งบอกถึงปริมาณที่เข้าสู่ร่างกาย เช่นการวัดระดับสารในเลือดซึ่งสารเหล่านี้เมื่อเข้าสู่ร่างกาย ถูกเปลี่ยนแปลงด้วยปฏิกิริยาต่างๆ เช่น ที่ตับ ไต และอวัยวะอื่นๆ บางชนิด และนำไปสู่การเกิดสารเมตabolite ซึ่งอาจมีพิษน้อยลงหรือมากขึ้น และบางตัวถูกขับออกในปัสสาวะ การตรวจสอบเมตabolite ที่มีความจำเพาะจะเป็นการยืนยันว่าบุคคลผู้นั้นได้รับสารเข้าสู่ร่างกายในปริมาณมากน้อยเพียงใด

2. ดัชนีชีววัดผลของการเปลี่ยนแปลงในร่างกายระยะเริ่มต้น (biomarkers of early biological effects) เป็นการตรวจวัดที่จะบอกถึงการเปลี่ยนแปลงในร่างกายที่จะนำไปสู่การเกิด

โรค ซึ่งเป็นผลจากการได้รับสาร สำหรับสารก่อมะเร็งในบางกรณีจะมีดัชนีชี้วัด (biomarker) ที่มีความจำเพาะกับสารแต่ละชนิด เช่น PAH-DNA adducts จะบอกรถึงปริมาณ DNA ที่ถูกทำลายโดยกลุ่มสาร PAH เท่านั้น อายุ่งไร์กิตามวิทยาการขณะนี้ยังไม่สามารถตรวจดัชนีชี้วัดที่แสดงผลที่จำเพาะต่อสารก่อมะเร็งแต่ละชนิดได้ จึงใช้ตัวชี้วัดที่แสดงการเปลี่ยนแปลงของสารพันธุกรรมที่เกิดขึ้นในร่างกาย เช่น ปริมาณ DNA ที่ถูกทำลาย และความสามารถในการซ่อมแซมความผิดปกติของ DNA เป็น biomarkers ของ early effects จากการได้รับสารก่อมะเร็งโดยภาพรวม ซึ่งผลที่ได้จะนำมาประกอบในการประเมินความเสี่ยงของการเกิดมะเร็งในอนาคต โดยการเปรียบเทียบกับกลุ่มควบคุมในเบื้องต้น

3. การเปลี่ยนแปลงที่เป็นผลเบื้องต้นต่อสุขภาพในระบบอื่น เช่น ในระบบทางเดินหายใจ ระบบ inflammatory response นั้น มี biomarkers ซึ่งเป็นโปรตีนบางชนิดที่จะบ่งบอกถึงระบบเหล่านี้ได้ เช่น Clara cell protein – CC16 เป็นดัชนีที่บ่งบอกถึงการอักเสบในทางเดินหายใจและปอด และ Interleukin-8 (IL-8) เป็นดัชนีที่บ่งบอกถึงการเกิดอักเสบ (inflammation) เป็นต้น

การดำเนินการวิจัย มีดังนี้

1. ตรวจวัดปริมาณสารเบนซีน บิวทาไดอีน และไวนิลคลอไรด์ในอากาศ โดยเก็บอากาศในจุดต่างๆ ต่อเนื่องเป็นเวลา 8 ชั่วโมง จาก 8.00 ถึง 16.00 น. ซึ่งเป็นเวลาทำการทั่วไป
2. ตรวจวัดปริมาณการได้รับสารเบนซีน บิวทาไดอีน และไวนิลคลอไรด์ในอาสาสมัครแต่ละคน โดยใช้เครื่องเก็บอากาศติดตัวเป็นเวลา 8 ชั่วโมง (8.00-16.00 น.)
3. ตรวจวัดปริมาณสารที่ผ่านเข้าสู่ร่างกายแต่ละบุคคล โดยดัชนีชี้วัดการได้รับสัมผัส (biomarkers of exposure) เช่น
 - ระดับสารเบนซีนในเลือด
 - ระดับสารเมटาไอลที่มีความจำเพาะต่อสารที่ได้รับในปัจจุบัน ได้แก่
 - กรดมิวโคนิก (muconic acid) สำหรับสารเบนซีน
 - สาร Monohydroxy-butenyl mercapturic acid (MHBMA) สำหรับสารบิวทาไดอีน
 - สาร S-carboxymethyl-L-Cysteine (SCMC) สำหรับสารไวนิลคลอไรด์
4. ตรวจวัดผลจากการได้รับสัมผัสสารซึ่งมีผลต่อระบบในร่างกาย โดยใช้ดัชนีชี้วัดผลของการเปลี่ยนแปลงในร่างกายระยะเริ่มต้น (biomarkers of early biological effects) เช่น

- การทำลายและการซ่อมแซม DNA ซึ่งเกี่ยวข้องกับการเกิดมะเร็ง
- การวัดระดับโปรตีนที่เกี่ยวข้องกับระบบ inflammation ของทางเดินหายใจ ปอดหรือทวารไป

ผลการวิจัย

I ปริมาณของสารก่อมะเร็งที่พบในอากาศ

1. สารเบนซีน

จากผลการวิจัยในภาพรวมจะเห็นได้ว่า ปริมาณของสารเบนซีนในอากาศในบริเวณพื้นที่ศึกษาอยู่ในระดับซึ่งถือว่าเป็นระดับที่ตรวจพบในบรรยากาศทั่วๆ ไป (background level) ซึ่งอาจเกิดจากกระบวนการเผาไหม้ ควันบุหรี่ และการจราจรซึ่งมาจากการเผาไหม้ของน้ำมันเชื้อเพลิงที่มีสารเบนซินอยู่ ปริมาณที่พบในอากาศในบริเวณมหาดูรุดอยู่ในระดับ $7.03 \mu\text{g}/\text{m}^3$ ซึ่งใกล้เคียงกับระดับที่พบในบริเวณช่องแสเมสาร $8.01 \mu\text{g}/\text{m}^3$ ซึ่งไม่มีอุตสาหกรรม ระดับของเบนซีนในพื้นที่ทั้ง 2 แห่งนี้ถือว่าเป็นระดับที่ปนเปื้อนในบรรยากาศทั่วไป

เมื่อเปรียบเทียบกับระดับสารเบนซีนที่ตรวจพบในบรรยากาศในกรุงเทพมหานคร พบร่วมว่า :

- บริเวณที่มีการจราจรหนาแน่น มีปริมาณสารเบนซีนในระดับ 10.30 ถึง $56.62 \mu\text{g}/\text{m}^3$
- บริเวณที่อยู่อาศัย พบร่วมปริมาณสารเบนซีนในระดับ 7.50 ถึง $22.70 \mu\text{g}/\text{m}^3$

2. สารบิวท่าไดอีน

ปริมาณสารนี้ในบริเวณพื้นที่มหาดูรุด และช่องแสเมสารอยู่ในระดับใกล้เคียงกัน คือ ประมาณ $0.04 \mu\text{g}/\text{m}^3$ ซึ่งพบว่าเป็นระดับที่ปนเปื้อนในบรรยากาศปกติ เนื่องจากสารนี้มาจากการจราจรและการเผาไหม้

เมื่อเปรียบเทียบกับระดับบิวท่าไดอีนที่ตรวจพบในบรรยากาศในกรุงเทพมหานคร พบร่วมว่า :

- บริเวณที่มีการจราจรหนาแน่น มีปริมาณสารบิวท่าไดอีนอยู่ในระดับ 0.14 ถึง $10.09 \mu\text{g}/\text{m}^3$
- บริเวณที่อยู่อาศัย พบรรบิวท่าไดอีนในระดับ 0.05 ถึง $0.28 \mu\text{g}/\text{m}^3$

3. สารไวนิลคลอไรด์

ตรวจพบได้บางจุดในบริเวณมหาดูรุด 2 เท่านั้น (พบร่วม 15 ตัวอย่างจาก 67 ตัวอย่างอากาศที่นำมาตรวจ) แต่ไม่พบในบริเวณมหาดูรุด 1 และช่องแสเมสาร สารนี้เกิดจาก

อุตสาหกรรม แต่อย่างไรก็ตามปริมาณที่ตรวจพบ ($3.89 \mu\text{g}/\text{m}^3$) ต่ำกว่าในระดับที่กำหนดให้เป็นค่ามาตรฐานในอากาศ ($10 \mu\text{g}/\text{m}^3$)

II การได้รับสารก่อมะเร็งเบนซีน บิวทาไดอีน และไวนิลคลอไรด์ในกลุ่มประชากร (พื้นที่มาบตาพุด 112 คนและหมู่บ้านช่องแสมสาร 50 คน)

1. สารเบนซีน

ผลการวิเคราะห์ระดับสารเบนซีนในแต่ละบุคคลจากตัวอย่างอากาศ ปริมาณเบนซีนในเลือด และระดับสารเมตะโบโลที่ในปัสสาวะ พบว่า :

1) อาสาสมัครที่อยู่ในบริเวณมาบตาพุดและช่องแสมสารได้รับสัมผัสรับสารเบนซีนในระดับใกล้เคียงกัน คือ

- กลุ่มมาบตาพุดได้รับเป็นปริมาณ $8.16 (5.73-21.02) \mu\text{g}/\text{m}^3$
- กลุ่มควบคุมได้รับเป็นปริมาณ $8.58 (5.61-13.51) \mu\text{g}/\text{m}^3$

ซึ่งถ้าเปรียบเทียบกับประชากรที่อยู่ในกรุงเทพฯจะพบว่า :

- เด็กนักเรียนที่ศึกษาและอาศัยในบริเวณที่มีการจราจรหนาแน่น ได้รับเบนซีนในระดับ $19.38 (0.69 - 48.78) \mu\text{g}/\text{m}^3$
- ผู้ประกอบอาชีพค้าขายริมถนน ได้รับเบนซีนในระดับ $14.10 - 52.04 \mu\text{g}/\text{m}^3$
- ประชาชนที่อาศัยในชุมชนที่ห่างจากบริเวณจราจรหนาแน่นประมาณ 500 เมตร ได้รับเบนซีนในระดับ $9.94 (3.41 - 33.30) \mu\text{g}/\text{m}^3$

2) ระดับเบนซีนในเลือด

- อาสาสมัครมาบตาพุดมีเบนซีนในเลือดเป็นปริมาณ 198.65 ppt
- อาสาสมัครช่องแสมสารมีเบนซีนในเลือดเป็นปริมาณ 154.26 ppt

ในกลุ่มศึกษามาบตาพุดที่มีระดับเบนซีนในเลือดสูงนั้น เป็นกลุ่มซึ่งอยู่ห่างจากพื้นที่อุตสาหกรรมเกินกว่า 5 กิโลเมตรขึ้นไป

3) ระดับสารเมตะโบโลท์ muconic acid ในปัสสาวะ

ไม่พบความแตกต่างของระดับสารเมตะโบโลท์ muconic acid ในปัสสาวะช่วงเช้าและบ่ายระหว่างกลุ่มมาบตาพุดและกลุ่มช่องแสมสาร จึงสรุปได้ว่า อาสาสมัครมาบตาพุดและช่องแสมสารได้รับสารเบนซีนในระดับใกล้เคียงกัน และเป็นระดับซึ่งพบในประชากรทั่วไป

2. สารบวทฯไดอีน

- 1) อาสาสมัครในเขตมาบตาพุดมีค่าเฉลี่ยการได้รับสารบวทฯไดอีน $0.06 \text{ (nd-0.49) } \mu\text{g}/\text{m}^3$ ซึ่งใกล้เคียงกับอาสาสมัครในเขตช่องแสเมสาร $0.06 \text{ (nd-0.39) } \mu\text{g}/\text{m}^3$ ซึ่งระดับนี้ต่ำกว่าระดับที่พบในบรรยายากาศในเขตกรุงเทพมหานครซึ่งอยู่ที่ $0.15 - 9.62 \mu\text{g}/\text{m}^3$
- 2) ระดับสารเมตະโพไโลท์ Monohydroxy-butenyl mercapturic acid (MHBMA) ในปัสสาวะ
 - ในปัสสาวะช่วงเข้าของอาสาสมัครในพื้นที่มาบตาพุด ($0.056 \text{ mg/g creatinine}$) จะต่ำกว่าระดับที่ตรวจพบในอาสาสมัครช่องแสเมสาร ($0.109 \text{ mg/g creatinine}$)
 - ในปัสสาวะช่วงบ่ายระดับ MHBMA สองกลุ่มอยู่ในระดับใกล้เคียงกัน

3. สารไวนิลคลอไรด์

- 1) ผลการวิเคราะห์การได้รับสัมผัสร้าไวนิลคลอไรด์ ในแต่ละบุคคลพบว่า :
อาสาสมัครในพื้นที่มาบตาพุด 1 และช่องแสเมสารไม่ได้รับสัมผัสร้านี้จากอากาศ แต่อาสาสมัครในพื้นที่มาบตาพุด 2 จำนวน 15 คน ได้รับสาร ไวนิลคลอไรด์จากอากาศ ซึ่งมีค่าเฉลี่ย $3.85 \mu\text{g}/\text{m}^3$
 - 2) ระดับสารเมตະโพไโลท์ S-carboxymethyl-L-Cysteine (SCMC) ในปัสสาวะ
 - ในปัสสาวะช่วงเขาระดับ SCMC ในอาสาสมัครมาบตาพุดและช่องแสเมสาร มีค่าเฉลี่ยใกล้เคียงกัน ($5.63 \text{ mg/g creatinine}$ และ $5.95 \text{ mg/g creatinine}$) ตามลำดับ
 - ในช่วงบ่ายระดับของ SCMC จะสูงขึ้นกว่าช่วงเช้า โดยระดับ SCMC ในปัสสาวะของอาสาสมัครทั้งสองกลุ่มมีค่าใกล้เคียงกัน ($7.56 \text{ mg/g creatinine}$ และ $8.51 \text{ mg/g creatinine}$)
- เมื่อเปรียบเทียบประชากรทั้งสองกลุ่มแล้วจะพบว่า การได้รับสารไวนิลคลอไรด์ ในกลุ่มมาบตาพุด 2 นั้น เป็นไปอย่างไม่ต่อเนื่อง และอยู่ในระดับซึ่งต่ำกว่าค่ากำหนด

III การประเมินผลกระทบต่อสุขภาพโดยใช้ดัชนีชีวภาพ (Biomarker of early biological effects)

1. ดัชนีชีวภาพที่เกี่ยวข้องกับการเกิดโรคมะเร็ง

ดัชนีชี้วัดการเปลี่ยนแปลงในระเบเวิร์มตัน ได้แก่

1) การเกิด DNA damage ในลักษณะต่างๆ ซึ่งเป็นผลจากการทำปฏิกิริยาของสารก่อมะเร็งหรือ metabolite โดยตรง หรือโดยทางอ้อมกับ DNA จึงเกิดเป็น DNA adduct ในลักษณะต่างๆ DNA strand breaks หรือ chromosome aberration

2) ความสามารถในการซ่อมแซม DNA damage

ในการวิจัยนี้ biomarkers ที่นำมาใช้ได้แก่ :

- 8-OHdG, ethno DNA adducts ซึ่งเกิดขึ้นได้จาก reactive oxygen species ซึ่งถูกสร้างขึ้นในกระบวนการ metabolism ของสารเบนเซ็น บิวทา ไอดีน และ ไวนิลคลอไรต์และสารก่อมะเร็งตัวอื่น ตลอดจนกระบวนการในร่างกายที่สามารถสร้างอนุมูลอิสระได้
- DNA stand breaks วัดโดย Comet assay
- DNA repair capacity วัดโดยการใช้ Cytogenetic challenge assay โดยการฉายรังสีให้กับเซลล์เม็ดเลือดขาวของแต่ละบุคคล เพื่อให้เกิดการทำลาย DNA และตรวจวัดความสามารถของเซลล์เม็ดเลือดขาวในการซ่อมแซม DNA ที่มีการทำลายนี้

ผลการวิจัยพบว่า :

1. 8-OHdG ในเซลล์เม็ดเลือดขาวในอาสาสมัครมาบตาพุด ($0.055 / 10^5 \text{ dG}$) จะต่ำกว่าระดับที่พบในอาสาสมัครซ่องแสมสาร ($0.063 / 10^5 \text{ dG}$) เล็กน้อย

2. ระดับ ethenodeoxyguanosine (edG) ในปัสสาวะของอาสาสมัครในพื้นที่มาบตาพุด ($0.020 \mu\text{mol/mol creatinine}$) ต่ำกว่าในอาสาสมัครซ่องแสมสาร ($0.055 \mu\text{mol/mol creatinine}$) ทั้งช่วงเช้าและบ่าย

3. ระดับ ethenodeoxyadenine (edA) ในปัสสาวะของอาสาสมัครในพื้นที่มาบตาพุด ($0.013 \mu\text{mol/mol creatinine}$) สูงกว่าในอาสาสมัครซ่องแสมสาร ($0.008 \mu\text{mol/mol creatinine}$) ทั้งช่วงเช้าและบ่าย

4. DNA strand breaks ในเม็ดเลือดขาวในอาสาสมัครมาบตาพุดและซ่องแสมสารอยู่ในระดับใกล้เคียงกัน

5. ความสามารถในการซ้อมแซม DNA อาสาสมัครในกลุ่มควบคุมมีความสามารถในการซ้อมแซม DNA ต่ำกว่าอาสาสมัครในกลุ่มช่องแสเมสารเล็กน้อย แต่ยังจัดว่าอยู่ในระดับใกล้เคียงกัน

จากการศึกษา biomarker ของ early biological effects ของการเกิดมะเร็งนี้ไม่เห็นความแตกต่างที่ชัดเจนในประชากร 2 กลุ่ม ความเสี่ยงต่อการเกิดมะเร็งจากการได้รับสารก่อมะเร็งจากสิ่งแวดล้อมจึงอยู่ในระดับเดียวกัน

2. ดัชนีชีวภาพที่เกี่ยวข้องกับความผิดปกติของระบบทางเดินหายใจ

การประเมินนี้ใช้ Clara cell 16 (CC16) ใน serum เป็น biomarker ซึ่ง Clara cell เป็นเซลล์เยื่อบุทางเดินหายใจชนิดหนึ่งที่ผลิตโปรตีน CC16 ออกมาในระบบทางเดินหายใจในสภาวะที่ทางเดินหายใจและปอดมีการอักเสบจะทำให้ CC16 เข้าสู่กระแสโลหิต ดังนั้น CC16 ใน serum จึงเป็น biomarker ในระยะเริ่มต้นของความผิดปกติในระบบทางเดินหายใจ

จากการวิเคราะห์ CC16 พบร่วมกับอาสาสมัครในพื้นที่มาบตาพุดมีระดับ CC16 (32.77 ng/ml) ต่ำกว่าอาสาสมัครในพื้นที่ช่องแสเมสาร (37.38 ng/ml)

3. ดัชนีชีวภาพที่เกี่ยวข้องกับการอักเสบ (Inflammation)

Interleukin-8 (IL-8) เป็น chemokine ที่ใช้เป็น biomarker การเกิด inflammation โดยทั่วไป

จากการวิจัยพบว่า การแสดงออกสัมพัทธของยีนส์ IL-8 ในอาสาสมัครกลุ่มควบคุม (0.66×10^3) สูงกว่าในกลุ่มช่องแสเมสาร (0.46×10^3) และแสดงว่ามีการตอบสนองต่อการอักเสบซึ่งเกิดขึ้นในร่างกาย อย่างไรก็ตามการเห็นไขวน้ำให้มีการแสดงออกเพิ่มขึ้นของยีนส์นี้ มีสาเหตุจากปัจจัยต่างๆ ได้แก่ การได้รับมลพิษต่างๆ เช่นฝุ่นละอองขนาดเล็ก สารเคมีบางชนิด ซึ่งไม่จำเป็นต้องเป็นสารก่อมะเร็ง ดังนั้น จึงเป็นเรื่องที่น่าศึกษาต่อไป

บทคัดย่อ

รหัสโครงการ: RDG5030035
ชื่อโครงการ: การศึกษาผลกระทบจากการได้รับสารอินทรีย์ระเหยที่เป็นสารก่อมะเร็งต่อสุขภาพของประชากรในพื้นที่จังหวัดระยอง
นักวิจัย: คุณหญิงมธุรส รุจิรัตน์, พนิดา นาสัมฤทธิ์, ออมรัตน์ คัมภีริภาการ,
จีรวันท์ พรหมวิจิตร, วรรณณ์ ปานลบ
ห้องปฏิบัติการพิชวิทยาสิ่งแวดล้อม สถาบันวิจัยจุฬาภรณ์
e-mail address: mathuros@cri.or.th

ระยะเวลาโครงการ: 15 กรกฎาคม 2550 – 15 มีนาคม 2553

การศึกษาวิจัยนี้มีวัตถุประสงค์เพื่อศึกษาผลกระทบเบื้องต้นต่อสุขภาพและประเมินความเสี่ยงต่อการเกิดโรคมะเร็งจากการได้รับสารอินทรีย์ระเหยที่เป็นสารก่อมะเร็งได้แก่สารเบนซีน บิวทาไไดอีน และไวนิลคลอไรด์ ในประชากรในเขตเทศบาลมาบตาพุดการวิจัยนี้เป็นการศึกษาทาง Molecular Epidemiology ซึ่งทำการตรวจระดับการได้รับสารก่อมะเร็งเหล่านี้ในบรรยายกาศโดยตรงและใช้ดัชนีชี้วัดทางชีวภาพ (Biomarkers) ที่มีความจำเพาะเพื่อประเมินการได้รับสารก่อมะเร็ง ที่มีผลต่อสุขภาพและความสามารถในการต่อสู้ต่อการเจ็บป่วย จำนวน 112 คนและเปรียบเทียบผลการศึกษากับกลุ่มประชากรนอกพื้นที่อุตสาหกรรมที่หมู่บ้านช่องแสมสาร จังหวัดชลบุรีซึ่งเป็นพื้นที่ควบคุมจำนวน 50 คน

ผลการศึกษาพบว่าค่าเฉลี่ยสารเบนซีน ($8 \text{ } \mu\text{g}/\text{m}^3$) และบิวทาไไดอีน ($0.04 \text{ } \mu\text{g}/\text{m}^3$) ในอากาศบริเวณที่อยู่อาศัยในพื้นที่มาบตาพุดมีค่าใกล้เคียงกับหมู่บ้านแสมสาร เป็นระดับต่ำที่พบในบรรยายกาศทั่วไปซึ่งสอดคล้องกับค่าเฉลี่ยของการได้รับสารเบนซีน ($8 \text{ } \mu\text{g}/\text{m}^3$) และบิวทาไไดอีน ($0.06 \text{ } \mu\text{g}/\text{m}^3$) ในระดับบุคคลที่ใกล้เคียงกันของกลุ่มประชากรในพื้นที่มาบตาพุดและพื้นที่แสมสาร ขณะที่สารไวนิลคลอไรด์ในอากาศตรวจวัดได้ระดับต่ำและพบเป็นบางจุดของพื้นที่มาบตาพุด สำหรับดัชนีชีวภาพการได้รับสารก่อมะเร็งที่มีผลต่อสุขภาพและสามารถตรวจวัดได้แก่สาร Monohydroxy-butenyl mercapturic acid และสาร S-carboxymethyl-L-cysteine ซึ่งมีความจำเพาะกับสารเบนซีน บิวทาไไดอีน และไวนิลคลอไรด์ ตามลำดับนั้น ไม่มีความแตกต่างอย่างมีนัยสำคัญระหว่างกลุ่มตัวอย่าง สำหรับดัชนีชีวภาพของการเปลี่ยนแปลงในระดับดีเอชดี ได้แก่ความผิดปกติของสารพันธุกรรม (DNA strand breaks, 8-hydroxydeoxyguanosine และ Etheno DNA adducts) และความสามารถในการซ่อมแซมสารพันธุกรรม ไม่พบว่ามีความแตกต่างที่ชัดเจนระหว่างกลุ่มตัวอย่าง เช่นเดียวกับระดับที่ใกล้เคียงกันของโปรตีน Clara cell (CC16) ซึ่งเป็นดัชนีชีวภาพความผิดปกติของระบบทางเดินหายใจ ขณะที่พบว่ากลุ่มตัวอย่างที่มาบตาพุดมีระดับการแสดงออกของยีนส์ Interleukin-8 ซึ่งเป็นดัชนีชีวภาพของการตอบสนองต่อการอักเสบสูงกว่ากลุ่มประชากรหมู่บ้านแสมสาร

ดังนั้นกลุ่มตัวอย่างประชากรทั้งสองพื้นที่มีระดับที่ใกล้เคียงกันในด้านการรับสารก่อมะเร็งและบิวทาไไดอีน ตลอดจนการเปลี่ยนแปลงของสารพันธุกรรมที่เป็นดัชนีความเสี่ยงต่อการเกิดโรคมะเร็งในอนาคต อย่างไรก็ตามควรศึกษาเพิ่มเติมถึงปัจจัยอื่นๆ เช่นการได้รับผู้ประสบอุบัติเหตุและโอลูฟ์ หนักซึ่งสามารถก่อให้เกิดผลกระทบต่อสุขภาพและทำให้เกิดโรคต่างๆ รวมทั้งโรคมะเร็งได้

คำหลัก: เบนซีน บิวทาไไดอีน ไวนิลคลอไรด์ ดัชนีชีวภาพ และมาบตาพุด

Project Code: RDG5030035

Project Title: Potential health effects of exposure to carcinogenic volatile organic compounds of people in Rayong province, Thailand

Investigators: Khunying Mathuros Ruchirawat, Panida Navasumrit, Ormrat Kampeerawipakorn, Jeerawan Promvijit, Varabhorn Parnlob
Environmental Toxicology Laboratory, Chulabhorn Research Institute

e-mail address: mathuros@cri.or.th

Project Duration: 15 July 2007 – 14 July 2009

This study aimed to assess the potential health effects of exposure to carcinogenic volatile organic compounds including benzene, 1,3-butadiene and vinyl chloride, of a study population living in the vicinity of Map Ta Phut industrial area, Rayong province, compared to a population in a control site (Samaesarn village, Chonburi province). Exposure and health risks were assessed through the measurement of the ambient exposure and personal monitoring through the use of biomarkers of exposure and early biological effects. The recruited study subjects comprised 112 subjects living in Map Ta Phut municipality and 50 matched-controls from Samaesarn village, Chonburi province.

The mean ambient levels of benzene ($8 \mu\text{g}/\text{m}^3$) and 1,3-butadiene ($0.04 \mu\text{g}/\text{m}^3$) in the Map Ta Phut area was not statistically significantly different from those of the control site, where the detected levels fell within the range found in the general environment. Levels of individual exposure to benzene and 1,3-butadiene were also not significantly different between two study groups. However, ambient vinyl chloride was detected at low level in only some locations of the Map Ta Phut area. Levels of biomarkers of exposure to benzene (blood benzene and urinary *t,t*-muconic acid), 1,3-butadiene (urinary Monohydroxy-butenyl mercapturic acid) and vinyl chloride (urinary S-carboxymethyl-L-cysteine) of subjects in the Map Ta Phut area did not significantly differ from those of control subjects. Biomarkers of early biological effects measured as DNA strand breaks, 8-hydroxydeoxyguanosine, etheno DNA adducts and DNA repair capacity were also found to be not significantly different between the study and control groups. In addition, biomarker of respiratory disease measured as serum Clara cell protein (CC16) was not significantly different between the study and control subjects. In contrast, biomarker of inflammatory response determined as mRNA expression of *interleukin-8* (*IL-8*) was increased in subjects in the Map Ta Phut area.

The results showed that study subjects living in the Map Ta Phut area and control site were not significantly differently exposed to benzene and 1,3-butadiene with no difference in the levels of biomarkers of exposure to these carcinogenic air pollutants. In addition, biomarkers of early biological effects determined as DNA damage and DNA repair capacity were not significantly different in study groups suggesting that the possible risks of cancer development from these carcinogenic compounds in subjects living in the vicinity of the Map Ta Phut industrial area may not differ from those in the control area. However, health risk of exposure to other carcinogenic pollutants such as fine particulate matter and heavy metals should be studied in populations living nearby the Map Ta Phut industrial area.

Keywords: Benzene, 1,3-Butadiene, Vinyl Chloride, Biomarkers, Map Ta Phut

ความเป็นมาและความสำคัญของปัจจุหา

1. ความเป็นมาและความสำคัญของปัญหา

สารอินทรีย์ระเหยในกลุ่มของสารบิโตรเคมีเป็นสารที่ใช้กันอย่างแพร่หลายในขบวนการผลิตสารโพลิเมอร์ และโคล็อกอลิเมอร์ต่างๆ ในอุตสาหกรรมพลาสติก ยางสังเคราะห์ และเรซิน การได้รับสารอินทรีย์ระเหยอย่างต่อเนื่องมีผลกระทบต่อสุขภาพ เช่น โรคทางเดินหายใจ และโรคภูมิแพ้ นอกจากนี้ยังก่อให้เกิดผลกระทบที่รุนแรงต่อสุขภาพ เช่นโรคมะเร็ง สารอินทรีย์ระเหยบิโตรเคมีที่จัดเป็นสารก่อมะเร็ง เช่นเบนซีน (Benzene) บิวทาไดอีน (1,3-Butadiene) และไวนิลคลอไรด์ (Vinyl Chloride) เป็นต้น สารเคมีเหล่านี้มีความสำคัญและใช้กันอย่างกว้างขวางในภาคอุตสาหกรรมบิโตรเคมี

เบนซีนเป็นสารระเหยไฮโดรคาร์บอนที่เป็นส่วนประกอบของน้ำมันดิบและผลิตภัณฑ์บิโตรเลี่ยมต่าง ๆ เช่น Gasoline มีการผลิตเบนซีนจำนวนมากเมกะตันต่อปีในโรงงานอุตสาหกรรมต่าง ๆ เพื่อใช้เป็นสารละลาย และสารตั้งต้นของอุตสาหกรรมการผลิตยาจากแมลง พลาสติก และไฟเบอร์สังเคราะห์ จากการศึกษาพบว่าการได้รับเบนซีนจะมีความสัมพันธ์ต่อความเสี่ยงของการเกิดโรคมะเร็งในคน เช่น มะเร็งเม็ดเลือดขาว (Leukemia) และมะเร็งอื่น ๆ เช่น มะเร็งของไต เป็นต้น [1-2] รวมถึงการเพิ่มอัตราการเกิดความผิดปกติของสารพันธุกรรม เช่นความผิดปกติของโครโมโซม (Chromosomal aberrations) การแตกทำลายสารพันธุกรรม DNA (DNA strand breaks) และการเกิด Micronucleus ในเม็ดเลือดขาว (Lymphocytic micronucleus) ในคนงานที่ได้รับเบนซีน เป็นต้น [3-4] ซึ่งชี้ให้เห็นว่าเบนซีนเป็นสารก่อมะเร็งที่ก่อให้เกิดความเป็นพิษทางพันธุกรรมได้ (Genotoxicity) สถาบัน International Agency for Research on Cancer (IARC) ได้จำแนกสารเบนซีนเป็นสารก่อมะเร็งในคน [5]

บิวทาไดอีนเป็นสารระเหยไฮโดรคาร์บอนที่เกิดจากการกระบวนการผลิตสินค้าที่ได้จากน้ำมันดิบ และการเผาไหม้ที่ไม่สมบูรณ์ของเครื่องยนต์ชนิดต่าง ๆ และใช้ในการผลิตยางสังเคราะห์ พลาสติก และอะคริลิกต่าง ๆ จากการศึกษาพบว่าคนงานที่ทำงานในโรงงานผลิตยางสังเคราะห์มีความผิดปกติของสารพันธุกรรมในเซลล์เม็ดเลือดขาวสูงกว่าคนที่ไม่ได้รับสัมผัสรายนี้ [6] และพบระดับของสารเมตาโบไลท์ของสารบิวทาไดอีนในปัสสาวะของคนงานมีความสัมพันธ์กับอัตราการเกิดความผิดปกติของสารพันธุกรรม [7-8] การศึกษาถึงความสัมพันธ์ต่อการเกิดมะเร็งของสารบิวทาไดอีน แสดงให้เห็นว่าสารบิวทาไดอีนอาจก่อให้เกิดความเสี่ยงต่อการเกิดมะเร็งเม็ดเลือดขาว และมะเร็งชนิดอื่น ๆ เช่น มะเร็งต่อมน้ำเหลือง เป็นต้น [9] จากเหตุนี้สถาบัน IARC ได้จำแนกสารบิวทาไดอีนเป็นสารก่อมะเร็งในคน [10]

ไวนิลคลอไรด์เป็นสารระเหยไฮโดรคาร์บอนที่มีคลอไรด์เป็นองค์ประกอบ ใช้เป็นสารตั้งต้นในการผลิตพลาสติกจำพวกโพลีไวนิลคลอไรด์ (Polyvinyl chloride) และสารประกอบโมโนเมอร์อื่น ๆ เช่น ไวนิลคลอไรด์-ไวนิลอะซีเทต (Vinyl chloride-vinyl acetate) ซึ่งเป็นสารที่ถูกนำมาใช้ในการผลิตฟิล์ม และเรซินต่าง ๆ จากการศึกษาพบว่าไวนิลคลอไรด์ก่อให้เกิดความเป็นพิษต่อสารพันธุกรรม เช่นการกลายพันธุ์ (Mutations) การแตกทำลายสารพันธุกรรม DNA การเกิด Micronucleus ในเม็ดเลือดขาว และความผิดปกติของโครโมโซม [11] และพบว่าระดับ

มากกว่า 5 ppm ทำให้เกิดการแตกทำลายของสารพันธุกรรมในเม็ดเลือดขาวของคนงานที่สัมผัสกับสารไวนิลคลอโรร์ [12] นอกจากนี้พบว่าสารไวนิลคลอโรร์มีความสัมพันธ์ต่อการเกิดมะเร็งในตับชนิด Angiosarcoma รวมทั้งมะเร็งชนิดอื่นๆ เช่นมะเร็งในระบบต่อมน้ำเหลืองและในระบบเลือด เป็นต้น [13] ด้วยเหตุนี้สถาบัน IARC ได้จำแนกสารไวนิลคลอโรร์เป็นสารก่อมะเร็งในคน [5]

การติดตามผลกระทบของการได้รับสารอินทรีย์ระเหยเหล่านี้จากสิ่งแวดล้อมและปัญหาสุขภาพอนามัยจึงเป็นสิ่งที่มีความจำเป็นยิ่ง โดยเฉพาะการตรวจวัดที่ครอบคลุมถึงการรับระดับของดัชนีชีวภาพ (biomarkers) เช่น ดัชนีชีวภาพการได้รับสารเข้าสู่ร่างกาย (biomarkers of exposure) ได้แก่ การตรวจวัดระดับสาร หรือสารเมตาโบไลท์ในตัวอย่างชีวภาพ เช่น ในเลือด หรือปัสสาวะ เป็นต้น และดัชนีชีวภาพการเปลี่ยนแปลงของร่างกายในระยะเริ่มต้น (biomarkers of early biological effects) เช่น การเปลี่ยนแปลงของสารพันธุกรรม ซึ่งดัชนีชีวภาพเหล่านี้สามารถใช้ประเมินความเสี่ยงของการได้รับสารอินทรีย์ระเหยที่มีต่อสุขภาพได้

ด้วยเหตุนี้สถาบันวิจัยจุฬาภรณ์ได้ยกระดับสนับสนุนของสำนักงานกองทุนสนับสนุนการวิจัย (สกว.) ได้ดำเนินการวิจัยโครงการ “การศึกษาผลกระทบจากการได้รับสารอินทรีย์ระเหยที่เป็นสารก่อมะเร็งต่อสุขภาพของประชากรในพื้นที่จังหวัดระยอง” เพื่อศึกษาผลกระทบเบื้องต้นต่อสุขภาพของประชากรในพื้นที่จังหวัดระยอง จากการได้รับสารอินทรีย์ระเหยที่เป็นสารก่อมะเร็ง เช่นสารเบนซีน บีว่าไดอีน และไวนิลคลอไรด์ เป็นต้น ซึ่งใช้หลักการทาง Molecular Epidemiology เป็นแนวทางการศึกษาโดยการตรวจวัดระดับการได้รับสัมผัสสารก่อมะเร็งโดยตรงและ การใช้ดัชนีชีวภาพต่าง ๆ ในการประเมินการได้รับสัมผัสและความเสี่ยงของสารก่อมะเร็งเหล่านี้ที่เข้าสู่ร่างกาย ดังนั้นจึงเป็นงานวิจัยที่สามารถทำให้ได้รับข้อมูลที่มีการตรวจวัดและวิเคราะห์ทางวิทยาศาสตร์ที่นำไปสู่ข้อสรุปตามหลักวิชาการถึงระดับการได้รับสัมผัสและความเสี่ยงของการเกิดโรคมะเร็งจากสารก่อมะเร็งเหล่านี้ในประชากร ผลงานวิจัยนี้จึงความสำคัญต่อการวางแผนป้องกันและลดอัตราเสี่ยงของการเกิดมะเร็งในอนาคต

วัดถุประสงค์

เพื่อศึกษาผลกระทบเบื้องต้นต่อสุขภาพของประชากรในพื้นที่จังหวัดระยอง จากการได้รับสารอินทรีย์ระเหยที่เป็นสารก่อมะเร็ง เช่นสารเบนซีน บิวทาไดอีน และไวนิลคลอโรด เป็นต้น โดยใช้ดัชนีชีวภาพต่าง ๆ โดยมีวัตถุประสงค์ย่อยในการศึกษาวิจัยดังนี้

1. ตรวจด้วยสารเบนซีน บิวทาไดอีน และไวนิลคลอไรด์ในอากาศบริเวณที่อยู่อาศัยและปริมาณการได้รับสารเหล่านี้ในแต่ละบุคคลของประชากรในพื้นที่ศึกษาจังหวัดระยองเปรียบเทียบกับกลุ่มประชากรนอกพื้นที่
 2. ประเมินการได้รับสารเบนซีน บิวทาไดอีน และไวนิลคลอไรด์ในกลุ่มประชากรเป้าหมายที่อาศัยในพื้นที่ศึกษา โดยใช้ดัชนีชี้วิภาคการได้รับสมมติ (biomarkers of exposure)

3. ประเมินผลกระทบต่อสุขภาพของประชากรที่มีโอกาสได้รับสารabenซีน บิวทาไดอีน และไวนิลคลอไรด์โดยใช้ดัชนีชีวภาพการเปลี่ยนแปลงในระยะเริ่มต้น (biomarkers of early biological effects) เพื่อสรุปผลการรับสัมผัสและความเสี่ยงของการเกิดโรคมะเร็งจากการได้รับสารอินทรีย์ระเหยเหล่านี้ในกลุ่มประชากรที่อาศัยอยู่ในพื้นที่ศึกษาเขตอุตสาหกรรมเปรียบเทียบกับกลุ่มประชากรนอกพื้นที่อุตสาหกรรม

การทบทวนวรรณกรรมและงานวิจัยที่เกี่ยวข้อง

2. การทบทวนวรรณกรรมและงานวิจัยที่เกี่ยวข้อง

สารอินทรีย์ระเหยง่าย (Volatile organic Compounds; VOCs) เป็นสารประกอบอินทรีย์ที่มีจุดเดือดต่ำกว่า 240 -260°C (WHO) เหตุนี้สารประกอบอินทรีย์ที่อยู่ภายใต้เงื่อนไขดังกล่าวให้ถือเป็นสารอินทรีย์ระเหยง่าย สารมากมายกว่า 1,000 ชนิดจัดเป็นสาร VOCs เช่น Benzene, 1,3-Butadiene, Vinyl chloride, Styrene, Chloroform, Dichloromethane, 1,2-Dichloroethane เป็นต้น สารอินทรีย์ระเหยง่ายหลายชนิดซึ่งถูกนำมาเป็นส่วนประกอบของผลิตภัณฑ์ต่างๆ เช่น สีทาบ้าน น้ำยาฟอกสี สารทำละลาย น้ำยากำจัดกลิ่น น้ำยาซักแห้ง น้ำยาข้อมผมและตัดผม สารกำจัดศัตรูพืช เป็นต้น สาร VOCs เกิดจากการเผาไหม้ไม้ น้ำมันเชื้อเพลิง ถ่านหิน กระบวนการผลิตน้ำมันเชื้อเพลิงและอุตสาหกรรมบิโตรเคมี ควันบุหรี่ และการใช้ตัวทำละลายต่างๆ นอกจากนี้ สาร VOCs สามารถเกิดขึ้นได้ตามธรรมชาติจากพืชหรือแมลงบางชนิด ในระหว่างการสังเคราะห์แสงของพืช พืชจะปล่อยสาร VOCs จำพวก isoprene และ terpenes ออกสู่บรรยากาศ มนุษย์ได้รับสาร VOCs เข้าสู่ร่างกายทางการหายใจเป็นส่วนใหญ่ นอกจากนี้อาจได้รับการรับประทานอาหารและน้ำที่มีการปนเปื้อนสาร VOCs และสัมผัสโดยตรงผ่านทางผิวหนัง [14]

สาร VOCs จัดเป็นผลกระทบทางอากาศที่สำคัญ เนื่องจากก่อให้เกิดผลกระทบต่อสุขภาพได้ในหลายระบบได้แก่ ระบบทางเดินหายใจ ระบบเลือดและภูมิคุ้มกัน และระบบประสาท เช่นระดับของสาร 1,4-dichlorobenzene ซึ่งเป็นส่วนประกอบของน้ำหอมปรับอากาศและน้ำยาดับกลิ่น มีผลทำให้สมรรถภาพการทำงานของปอดลดลงและก่อให้เกิดการระคายเคืองของตา จมูก คอ และผิวหนังได้ [15] นอกจากนี้พบว่าสาร VOCs ที่ปล่อยจากไอเสียรถยนต์ทำให้ระดับของเม็ดเลือดขาวและไซโนโกลบินสูงผิดปกติ รวมทั้งระดับของ IgA และ IgG ลดลง[16] และการสูดดมสาร VOCs จากตัวทำละลายสีหรือน้ำยาทำความสะอาดเป็นประจำก่อให้เกิดอาการปวดศีรษะ วิตกกังวล เกิดอาการคันบริเวณขาและเท้า เจ็บตา หายใจลำบาก [17] นอกจากนี้สาร VOCs หลายชนิดมีผลต่อการเกิดการกลายพันธุ์ (mutation) และก่อให้เกิดมะเร็งได้ เช่นสาร Benzene, 1,3-Butadine, Vinyl Chloride เป็นสารก่อมะเร็งในมนุษย์ (IARC Group 1) และ 1,2,3-Trichloropropane, Ethylene dibromide เป็นสารที่อาจก่อให้เกิดมะเร็งในมนุษย์ (IARC Group 2A) เช่น เป็นต้น [5,10]

2.1 สารเบนซีน (Benzene)

2.1.1 แหล่งที่มาและการได้รับสัมผัส (Occurrence and Exposure)

สารเบนซีน เป็นสารประกอบไฮโดรคาร์บอน (C_6H_6 ; MW = 78.1) ของเหลวใส ไม่มีสี หรืออาจมีสีเหลืองอ่อน มีกลิ่นเฉพาะตัว ระเหยและติดไฟได้ง่าย มีจุดเดือดและจุดหลอมเหลวต่ำ คือ 80.1°C และ 5.5°C ตามลำดับ เบนซีนละลายน้ำไม่ดี แต่ละลายได้ดีในตัวทำละลาย เช่น แอลกอฮอล์ อีเทอร์ คลอโรฟอร์ม เป็นต้น [18] สารเบนซีนเป็นสารประกอบตามธรรมชาติของน้ำมันดิบและน้ำมันเชื้อเพลิง ซึ่งมีสารเบนซีนประมาณ 1-5% อย่างไรก็ตาม สารเบนซีนใน

อากาศส่วนใหญ่มาจากการเผาไหม้ของเชื้อเพลิงต่างๆ ไอเสียของรถยนต์ การร้าวไหลของไอระเหยจากสถานีบริการน้ำมัน อุตสาหกรรมผลิตน้ำมันและ ปิโตรเคมี [19] ปริมาณการผลิตสารเบนซินทั่วโลกสูงขึ้นทุกปี เช่น ในประเทศไทยอเมริกาการผลิตสารเบนซินเพิ่มขึ้นจาก 5.4 ล้านตันเป็น 7.2 ล้านตันในปี 2002 คิดเป็น 2.8% ต่อปี และในประเทศไทย การผลิตสารเบนซินสูงขึ้นจาก 502,000 ตันเพิ่มเป็น 742,000 ตันในปี 2005 [20]

จากการศึกษาในหลายประเทศพบว่าอากาศในเมืองที่มีการจราจรหนาแน่นมีระดับสารเบนซินสูงตั้งแต่ $4.5-87 \mu\text{g}/\text{m}^3$ ที่กรุงไครโตร ประเทศอียิปต์ [21-24] ขณะที่ประเทศไทยปูนพบว่า เมืองที่มีอุตสาหกรรมระดับสารเบนซินในอากาศมีค่าระหว่าง $0.2-1.6 \mu\text{g}/\text{m}^3$ [25] สำหรับประเทศไทยตรวจพบระดับสารเบนซินในเขตอุตสาหกรรมมีค่าเท่ากับ $1.7-3.0 \mu\text{g}/\text{m}^3$ ในปี 2551 [26] และบริเวณริมถนนที่มีการจราจรหนาแน่นเท่ากับ $35.87 \mu\text{g}/\text{m}^3$ [27] อย่างไรก็ตาม ควันบุหรี่เป็นสาเหตุหลักของการปนเปื้อนสารเบนซินภายในอาคาร ซึ่งมีระดับสารเบนซินระหว่าง $5.9-75 \mu\text{g}/\text{m}^3$ (mainstream smoke) และ $345-653 \mu\text{g}/\text{m}^3$ (sidestream smoke) [18]

มนุษย์ได้รับสารเบนซินในอากาศทั้งจากการประกอบอาชีพและจากสิ่งแวดล้อม ตลอดจนวิถีการดำเนินชีวิต เช่นการสูบบุหรี่เป็นต้น จึงมีการศึกษาการได้รับสารเบนซินจากการประกอบอาชีพในกลุ่มคนงานที่สัมผัสสารเบนซินเป็นประจำ เช่นพนักงานสถานีบริการน้ำมัน ตำรวจจราจร พนักงานขับรถประจำทาง คนงานในโรงงานปิโตรเคมี และช่างซ่อมเครื่องยนต์ เป็นต้น [29-32] Tsai และคณะ (2004) รายงานว่าคนงานในโรงงานปิโตรเคมีมีโอกาสได้รับสารเบนซิน ($1.92 \mu\text{g}/\text{m}^3$) สูงกว่าคนงานที่ไม่ทำงานเกี่ยวข้องกับสารเบนซิน ($0.45 \mu\text{g}/\text{m}^3$) [30] สำหรับผลการศึกษาวิจัยของของสถาบันวิจัยจุฬาภรณ์พบว่าพนักงานสถานีบริการน้ำมัน และ คนงานในโรงงานกลั่นน้ำมันในประเทศไทยได้รับสัมผัสสารเบนซินในอากาศสูงกว่ากลุ่มควบคุม 18-30 เท่า [32] ผู้ค้ายาริมถนนในบริเวณที่มีการจราจรหนาแน่นได้รับสารเบนซินจากไอเสียรถยนต์ที่มีความเข้มข้นระหว่าง $72.351-90.21 \mu\text{g}/\text{m}^3$ [27] และพบว่าเด็กนักเรียนในโรงเรียนที่ตั้งอยู่ใกล้แหล่งจราจรหนาแน่นได้รับสารเบนซินจากอากาศที่มีความเข้มข้นสูงกว่าเด็กนักเรียนในโรงเรียนต่างจังหวัด [33]

2.1.2 กระบวนการเปลี่ยนแปลงสารทางชีวภาพ (Biotransformation)

สารเบนซินเข้าสู่ร่างกายผ่านทางการหายใจเป็นส่วนใหญ่ ประมาณ 50% ของสารเบนซินที่หายใจถูกดูดซึมเข้าสู่ร่างกายและ 30% ยังอยู่ภายใต้ปอด สารเบนซินสามารถสะสมในเนื้อเยื่อต่างๆ และสามารถซึมผ่านรกได้ [19] การเปลี่ยนแปลงของสารเบนซินเกิดขึ้นที่ตับ โดยเอนไซม์ cytochrome P450 2E1 (CYP2E1) เปลี่ยนเบนซินให้เป็น benzene oxide (BO) ซึ่งสามารถเปลี่ยนแปลงโครงสร้างให้เป็น phenol หรือถูก oxidize ให้เป็น muconaldehyde หรือทำปฏิกิริยากับ glutathione เป็น S-phenylmercapturic acid (SPMA) ที่ถูกขับออกทางปัสสาวะ สาร phenol สามารถขับออกทางปัสสาวะ ขณะเดียวกัน phenol ถูก oxidize ให้เป็น catechol ด้วยเอนไซม์ dihydrodiol dehydrogenase หรือเปลี่ยนเป็น hydroquinone (HQ) ทั้ง HQ และ

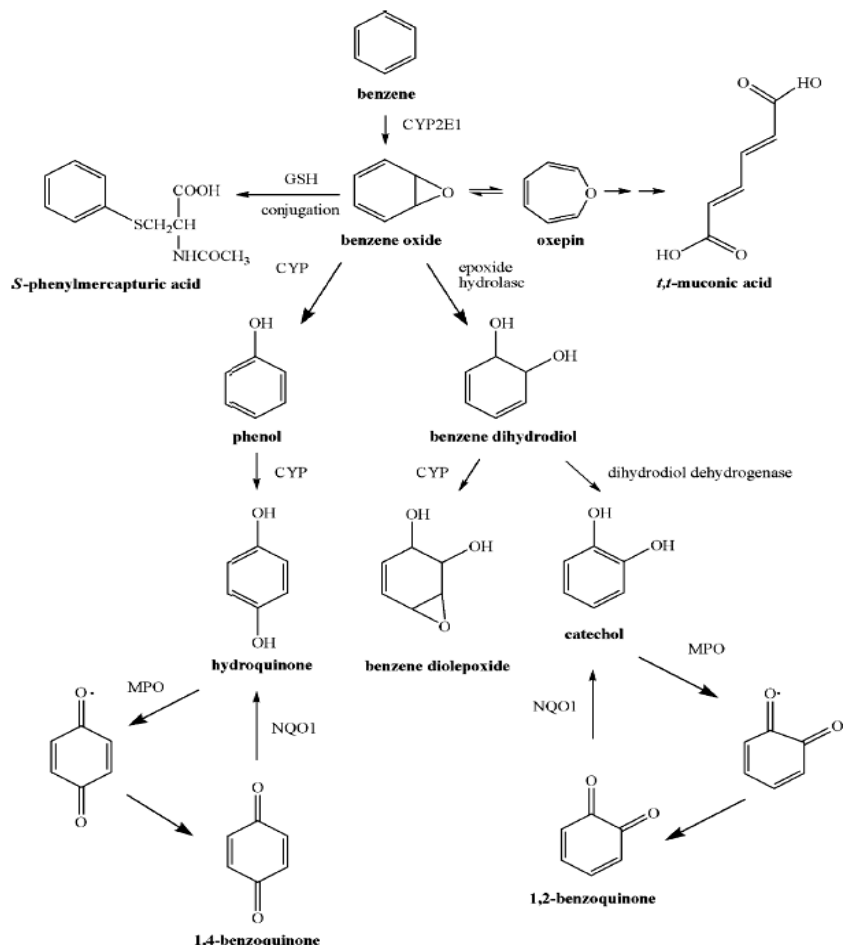
catechol ถูกเปลี่ยนเป็น 1,4-benzoquinone (1,4-HQ) และ 1,2-benzoquinone (1,2-HQ) ด้วยเอนไซม์ peroxidases ตั้งแสดงในรูปที่ 1 [28] สาร phenolic compound สามารถจับกับ glucoronide หรือ sulfates ก่อนถูกขับทางปัสสาวะ และสาร muconaldehyde เป็นกรดมิวโคนิก (*t,t*-muconic acid; *t,t*-MA) ซึ่งขับออกทางปัสสาวะ สารเมตาโบไลท์ของสารเบนซีนหลายชนิดเป็นสารที่ก่อให้เกิด cytotoxicity และก่อให้เกิดมะเร็งเม็ดเลือดขาว (leukemia) ได้แก่ hydroquinone, benzoquinone, catechol และ benzene oxide และพบว่าเอนไซม์ NAD(P)H:quinine oxidoreductase-1 (NQO-1) และ microsomal epoxide hydrolase (EH) ทำหน้าที่ในการลดความเป็นพิษของสารเมتاโบไลท์ โดย NQO-1 ช่วยลดความเป็นพิษของ benzene quinone และ epoxide hydrolase จะ hydrolyze หมู่ epoxide ของ BO

2.1.3 ความเป็นพิษทางพันธุกรรมและการเกิดมะเร็ง (Genotoxic and carcinotoxic effects)

เป็นที่ทราบกันแล้วว่าสารเบนซีนก่อให้เกิดความเป็นพิษต่อไขกระดูกทั้งในสัตว์ทดลองและในคน โดยการศึกษาในสัตว์ทดลองที่สูดมสารเบนซีนตรวจบรรดับเม็ดเลือดแดงและ lymphocyte ในกระแสเลือดและม้าม รวมทั้งน้ำหนักม้ามลดลง [34-35] นอกจากนี้พบว่าสารเมตาโบไลท์ของสารเบนซีน โดยเฉพาะอย่างยิ่งสาร hydroquinone และ benzohydroquinone ก่อให้เกิดความเป็นพิษต่อไขกระดูกมากที่สุด โดยทำให้เกิดการลดลงของ stem cell, myeloid progenitor cell และ stroma cell ในไขกระดูกได้ [36] สำหรับผลกระทบทางโลหิตวิทยาในคน Rothman และคณะ (1996) ทำการศึกษาการเปลี่ยนแปลงของระบบโลหิตในคนงานในประเทศอังกฤษที่ได้รับสัมผัสรับสารเบนซีนในระหว่างการทำงาน 8 ชั่วโมง (8-TWA) เท่ากับ 24 mg/m^3 พบร่วมกับ lymphocyte cell ในกระแสเลือดลดลง [37] นอกจากนี้ Qu et al. (2002 และ 2005) พบร่วมกับสารเบนซีนที่คนงานได้รับสัมผัสระดับสาร SPMA และ *t,t*-MA ในปัสสาวะ ส่งผลให้มีดเลือดแดง และเม็ดเลือดขาวชนิด neutrophils มีจำนวนลดลง [38-39] แต่ไม่พบผลกระทบทางโลหิตวิทยาจากการได้รับสารเบนซีน $0.46\text{-}1.9 \text{ mg/m}^3$ ของคนงานโรงงานบิโตรเคมีได้รับเป็นประจำจากปี 1997 ถึงปี 1988 [30] นอกจากก่อให้เกิดผลกระทบต่อระบบโลหิตแล้ว ยังก่อให้เกิดผลกระทบทางภูมิคุ้มกันเช่นกัน โดยการศึกษา *in vitro* และ *in vivo* ในสัตว์ทดลองและในคนพบว่าสารเบนซีน รวมทั้งสารเมتاโบไลท์ของสารเบนซีนได้แก่ catechol, hydroquinone (HQ), 1,2,4-benzohydroquinone และ p-benzoquinone ทำให้ระดับของ T-และ B-lymphocyte ลดลง และกระตุ้นกระบวนการสร้าง chemokines, proinflammatory cytokines TNF- α , IL-6 และ Th2 cytokines IL-4 และ IL-5 แต่ยับยั้งการแสดงออกของ anti-inflammatory cytokines IL-10 และ IL-2 [40-44]

สารเบนซีนและสารเมتاโบไลท์ของสารเบนซีนก่อให้เกิดความเสียหายต่อสารพันธุกรรม โดยทำให้เกิด point mutation, chromosome aberrations และ sister chromatid exchange ในการศึกษาในสัตว์ทดลอง หมูที่สูดมสารเบนซีนในความเข้มข้นต่างๆ กัน มีการ

เพิ่มขึ้นของการกลایพันธุ์ของยีน *hprt* ใน spleen lymphocyte cell และเกิดการกลัยพันธุ์ของ *ras protooncogene* และ *p53 tumor suppressor gene* โดยการกลัยพันธุ์ของ *p53 gene* เกิดที่ codon 147, 149, 150, 151, 199, 203, 207, 244 และ 290 ซึ่งเป็น base-pair substitution และการกลัยพันธุ์ของ H-*ras* เกิดที่ codon 61 (A to G transition) [19,45] นอกจากนี้สารเเมต้าโนบีโนลิกของสารเบนซีนได้แก่ hydroquinone, *p*-benzoquinone ก่อให้เกิด DNA adduct ทั้งในเซลล์ไขกระดูกของคนและเซลล์ของหนู mice[46-47] โดยสาร *p*-benzoquinone ก่อให้เกิด pBQ-dC, pBQ-dA และ pBQ-dG adducts ซึ่งเป็น strong blocking lesions บน DNA ทำให้เกิด deletion mutation ได้ [48] รวมทั้งก่อให้เกิด oxidative DNA damage โดยเอนไซม์ myeloperoxidase ในไขกระดูกเปลี่ยนสาร phenolic metabolites ของสารเบนซีนให้เป็น reactive free radicals พบร้าเซลล์ HL60 (human leukemia cell line) ที่ทดสอบด้วยสาร phenol, hydroquinone และ 1,2,4-benzenetriol มีการเพิ่มขึ้นของระดับ 8-hydroxy-2'-deoxyguanosine (8-OHdG)[49] เช่นเดียวกับการศึกษาในกลุ่มคนงานที่ได้รับสัมผัสสารเบนซีน ตรวจพบว่ามีการเพิ่มขึ้นของระดับ 8-OHdG ตามระดับของสารเบนซีนที่กลุ่มคนงานได้รับจาก การทำงาน [50-51]



รูปที่ 1 กระบวนการเมtabolismusของสารเบนซีน [28]

(CYP, Cytochrome P450; GSH, Glutathione; MPO, Myeloperoxidase; NQO1, NAD(P)H:quinone oxidoreductase)

จากการตรวจเคราะห์การแตกหักของสารพันธุกรรมด้วยเทคนิค alkaline comet assay พบว่ามีการแตกทำลายของ DNA (tail length) ใน peripheral blood lymphocyte และ bone marrow nucleated cell เพิ่มขึ้นตามความเข้มข้นของสารเบนซีนที่ได้รับเข้าไป [52] และใน human lymphocyte ที่ทดสอบด้วยสารเบนซีนและสารเมตาโบไลท์ต่างๆ พบว่าสาร *p*-benzoquinone ก่อให้เกิด DNA strand break มากที่สุด ตามด้วย hydroquinone >benzene >catechol > 1,2,4-benzenetriol > muconic acid [53] นอกจากนี้การศึกษาทาง molecular epidemiology ในคนงานที่ได้รับสารเบนซีนจากการประกอบอาชีพ มีระดับการเกิด DNA strand break (tail length และ tail moment) เพิ่มขึ้นอย่างมีนัยสำคัญทางสถิติ [3,32,54-55] เช่นเดียวกันกับการศึกษาถึงความผิดปกติของ chromosome พบว่ากลุ่มคนงานในโรงงานผลิตน้ำมันและตัวตรวจสอบมีระดับ micronuclei และ sister chromatid exchange สูงกว่ากลุ่มควบคุม [53,56]

จากการผลการศึกษาทางคลินิกวิทยาและระบาดวิทยาที่บ่งชี้ถึงการก่อให้เกิดมะเร็งในคนของสารเบนซีน ทางสถาบัน International Agency for Research on Cancer (IARC) ได้จำแนกสารเบนซีนเป็นสารก่อมะเร็งในมนุษย์ (Group 1) [5] โดยการศึกษาในสัตว์ทดลองรายงานว่าสารเบนซีนยังบังคับ cell replication และก่อให้เกิด myelogenous leukemia, hematopoietic neoplasms และ thymic lymphoma นอกจากนี้ยังพบว่าก่อให้เกิด adenomas ที่ปอด, harderian gland และตับ [19] จากการศึกษาทางระบาดวิทยาในคนงานที่ได้รับสารเบนซีน ตรวจพบว่าคนงานที่ได้รับสารเบนซีนป่วยเป็น acute leukemia, myelodysplastic syndrome (MDS), aplastic anemia, chronic granulocytic leukemia (CGL) และ malignant lymphoma (ML) [57] และยังพบว่าการได้รับสัมผัสสารเบนซีนสามารถก่อให้เกิด Non-Hodgkin lymphoma ได้ในคนงานที่ทำงานในโรงงานกลั่นน้ำมันเป็นระยะเวลานาน [58] และมีการศึกษาที่แสดงให้เห็นว่า คนงานที่มีการได้รับสารเบนซีนเป็นระยะเวลานานมีความสัมพันธ์ต่อการเกิดภาวะเสี่ยงเป็นมะเร็งปอดเพิ่มขึ้น [59-60]

2.1.4 ดัชนีชีวภาพการได้รับสัมผัสสารเบนซีน

เมื่อได้รับสัมผัสสารเบนซีน สามารถตรวจวัดระดับสารเบนซีนได้ในลมหายใจออก ในเลือดและในปัสสาวะ หรือวัดระดับสารเมตาโบไลท์ของเบนซีนที่ขับออกทางปัสสาวะ ได้แก่ *S*-phenylmercapturic acid, *trans,trans*-Muconic acid, phenol, cathecol, hydroquinone, 1,2,4-trihydroxybenzene

2.1.4.1 ระดับสารเบนซีนในลมหายใจ

คนได้รับสัมผัสสารเบนซีนจากการหายใจเป็นหลัก การได้รับสัมผัสสารเบนซีนในปริมาณสูง พบว่าสารเบนซีนละลายได้ในไขมันและคงอยู่ในเนื้อเยื่อไขมันได้นานถึง 10 ชั่วโมง จากการศึกษาทางพิชวิทยาศาสตร์พบว่าประมาณ 20% ของสารเบนซีนที่ได้รับถูกขับออกมา

ทางลมหายใจ ดังนั้นระดับสารเบนซีนในลมหายใจสามารถยืนยันการได้รับสัมผัสสารเบนซีนในแต่ละบุคคล อย่างไรก็ตาม ควันบุหรี่และไอเสียจากการถ่ายน้ำทำให้การตรวจวัดสารเบนซีนในลมหายใจผิดพลาดได้ ด้วยเหตุนี้ ทำให้เกิดข้อจำกัดในการนำระดับสารเบนซีนในลมหายใจเป็นตัวชี้วัดการได้รับสัมผัสสารเบนซีนในความเข้มข้นต่างๆ

2.1.4.2 ระดับสารเบนซีนในเลือด

ระดับสารเบนซีนในเลือดเป็นตัวชี้วิภาพทางชีวภาพที่ดีของการได้รับสัมผัสสารเบนซีนในระดับต่ำ มีการศึกษาที่แสดงให้เห็นว่าระดับของสารเบนซีนในเลือดของคนงานที่ไม่สูบบุหรี่แตกต่างจากระดับที่ตรวจวัดได้ในประชาชนทั่วไป แต่อย่างไรก็ตาม พบว่าระดับสารเบนซีนในเลือดมีค่าครึ่งชีวิตต่ำประมาณ 1 ชั่วโมง ดังนั้นวิธีที่นำมาใช้ในการเก็บตัวอย่างและวิเคราะห์ต้องมีความถูกต้องและแม่นยำ จากเหตุนี้ ระดับของสารเบนซีนในเลือดเป็นตัวชี้วัดทางชีวภาพที่ดีของการได้รับสารเบนซีนในระดับต่ำจากการประกอบอาชีพ

2.1.4.3 ระดับสารเมตาโนไอล์ของสารเบนซีนในปัสสาวะ

จากการบวนการเมต้าอลิซึมของสารเบนซีน พบว่าสารเมตาโนไอล์ที่ถูกขับออกทางปัสสาวะได้แก่ *S*-phenylmercapturic acid, *trans,trans*-Muconic acid, phenol, cathecol, hydroquinone, 1,2,4-trihydroxybenzene ซึ่งสารเหล่านี้ถูกนำมาใช้เป็นตัวชี้วิภาพทางชีวภาพของการได้รับสัมผัสสารเบนซีน รวมทั้งสารเบนซีนที่ไม่ถูก oxidize โดย CYP2E1 โดยบอกถึงระดับสารเบนซีนที่อยู่ภายในร่างกาย (internal dose) สาร phenol เป็นสารเมตาโนไอล์ที่ถูกขับออกทางปัสสาวะมากที่สุด แต่มีการศึกษาที่ให้ความเห็นว่าสาร phenol ไม่ควรนำมาใช้เป็นตัวชี้วิภาพการได้รับสัมผัสสารเบนซีนที่มีระดับต่ำกว่า 5 ppm เนื่องจากผลที่ได้รับอาจมาจากแหล่งอื่น และพบว่าในคนที่ไม่ได้รับสัมผัสสารเบนซีน มีระดับสาร hydroquinone และ catechol สูง จึงไม่ถูกนำมาใช้ในการชี้วัดการได้รับสัมผัสสารเบนซีน จากเหตุนี้ พบว่าสารเมตาโนไอล์ของสารเบนซีน ได้แก่ *S*-phenylmercapturic acid และกรดมิวโโคนิก (*trans,trans*-Muconic acid) ถูกนำมาใช้ในการชี้วัดการได้รับสัมผัสสารเบนซีน และจากการศึกษา time-course study ของ Qu (2000) รายงานค่าครึ่งชีวิตของสารเมตาโนไอล์ของสารเบนซีนแต่ละชนิดดังนี้ *S*-phenylmercapturic acid (12.8 ชั่วโมง), *trans,trans*-Muconic acid (12.8 ชั่วโมง), phenol (16.3 ชั่วโมง), cathecol (15 ชั่วโมง) และ hydroquinone(12.7 ชั่วโมง)

กรดมิวโโคนิก (*t,t*-muconic acid, *t,t*-MA)

กรดมิวโโคนิกเป็นสารเมตาโนไอล์ของสารเบนซีนที่ถูกขับออกทางปัสสาวะ ที่เป็นตัวชี้วัดทางชีวภาพที่สำคัญของการได้รับสัมผัสสารเบนซีนในการประกอบอาชีพและสิ่งแวดล้อม กรดมิวโโคนิกเป็นตัวชี้วัดทางชีวภาพที่เหมาะสมของการได้รับสัมผัสสารเบนซีนในระดับต่ำ และจากสิ่งแวดล้อม (น้อยกว่า 0.01 ppm) เมื่อเปรียบเทียบกับตัวชี้วัดทางชีวภาพอื่นๆ

กรณีมีความจำเพาะสูง และวิธีการวิเคราะห์ไม่ซับซ้อน อย่างไรก็ตาม การติดตามทางชีวภาพเกี่ยวกับการได้รับสารเบนซีนที่น้อยกว่า 0.01 พีพีเอ็ม ยังมีปัจจัยอื่นๆ เช่น การรับประทานอาหารเสริมและความหลากหลายทางพันธุกรรม ซึ่งควรนำมาพิจารณาด้วย

S-Phenylmercapturic acid (SPMA)

S-Phenylmercapturic acid เป็นสารเมตาโบไลท์ของสารเบนซีนในปัสสาวะ และเป็นดัชนีชีวภาพที่มีความจำเพาะและมีความไวในการประเมินการได้รับสารเบนซีน เนื่องจากเป็นสารที่เกิดจาก ring hydroxylation pathway ดังนั้นจึงเป็นดัชนีชีวภาพที่มีประโยชน์ในการประเมินการได้รับสารเบนซีนในระดับต่ำ แต่สาร SPMA ถูกขับออกทางปัสสาวะในปริมาณน้อยประมาณ 0.1-0.5% ของระดับสารเบนซีนที่ได้รับทั้งหมด จากเหตุนี้จึงจำเป็นต้องอาศัยวิธีวิเคราะห์ที่ต้องใช้ความชำนาญสูง จากการศึกษาระดับ SPMA จากการได้รับสารเบนซีนจากประกอบอาชีพโดยเบรียบเทียบค่าที่ได้จากการวิเคราะห์ด้วย GC, HPLC-UV detector, GC-MS, LC-MS/MS และ Immunoassay พบว่าระดับ SPMA ที่ได้จาก Immunoassay จะให้ค่าที่สูงกว่าวิธีอื่น จึงบ่งชี้ว่าสาร SPMA น่าจะเป็นดัชนีชีวภาพของการได้รับสารเบนซีนในระดับต่ำได้ นอกจากนี้มีการศึกษาการได้รับสารเบนซีนที่ความเข้มข้น 0.06 – 122 ppm ของคนงาน โดยตรวจระดับสารเมตาโบไลท์ในปัสสาวะของสารเบนซีน (*t,t*-MA และ SPMA) พบว่าในปัสสาวะของคนงานที่ได้รับสารเบนซีนที่ต่ำกว่า 0.25 ppm มีระดับสาร SPMA สูงกว่าสาร *t,t*-MA

2.2 สารบิวทาไดอีน (1,3-Butadiene)

2.2.1 แหล่งที่มาและการได้รับสัมผัส (Occurrence and Exposure)

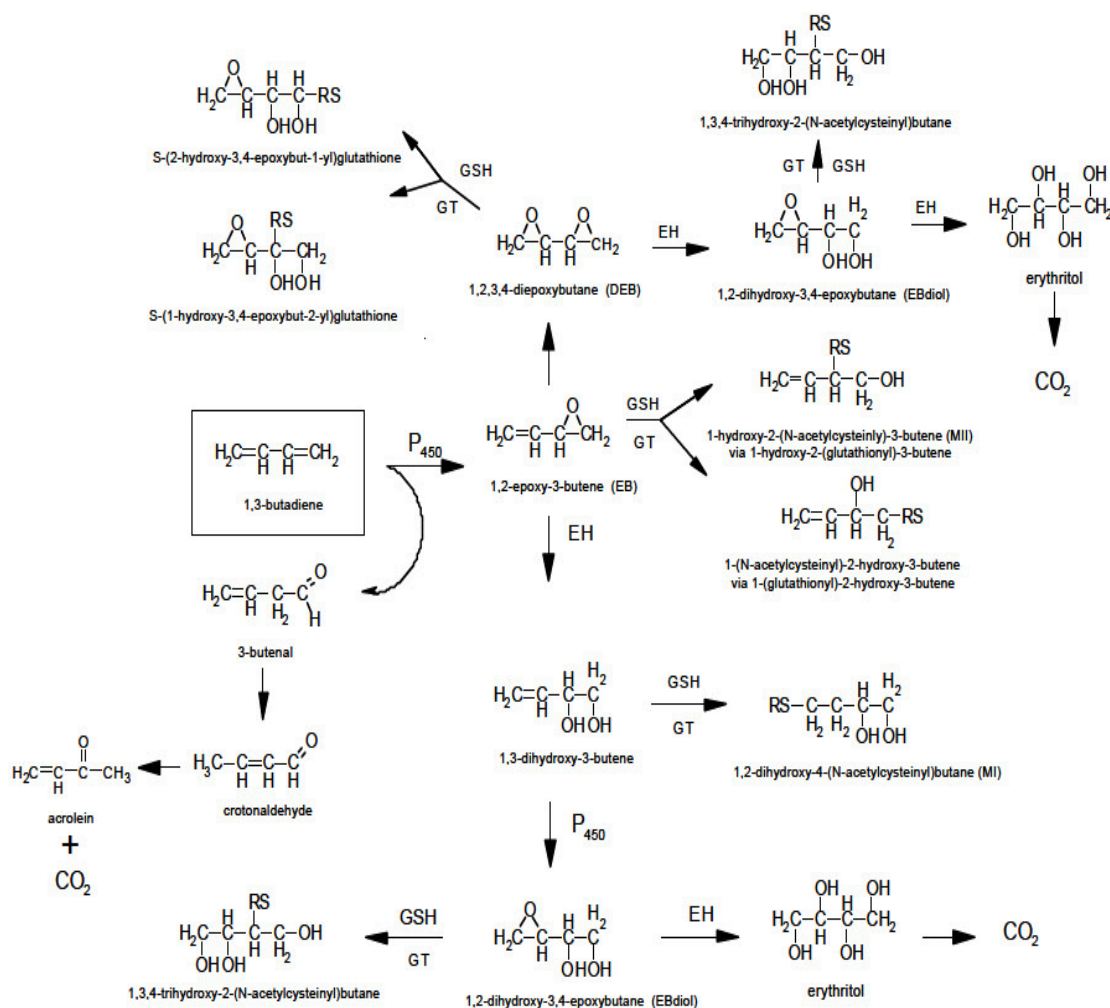
สารบิวทาไดอีนเป็นแก๊สที่ไม่มีสี ติดไฟง่าย มีกลิ่นคล้ายน้ำมันเบนซีนแต่มีกลิ่นอ่อนกว่า ลักษณะโครงสร้างประกอบด้วยอะตอมของคาร์บอนและไฮโดรเจน มีน้ำหนักโมเลกุลเท่ากับ 54.1 ที่ความดันบรรยายกาศ 1 atm จุดเดือดเท่ากับ -4.4°C และจุดหลอมเหลวเท่ากับ -108.9°C ที่อุณหภูมิ 25°C มีค่าความดันไอเท่ากับ 2,100 mmHg ละลายได้ในสารละลายอินทรีย์ เช่น acetone, benzene, diethyl ether, cyclohexane เป็นต้น [19] สารบิวทาไดอีนเกิดจากกระบวนการผลิตสินค้าที่ได้จากน้ำมันดิบ และการเผาไหม้ที่ไม่สมบูรณ์ของเครื่องยนต์ชนิดต่างๆ รวมทั้งควันบุหรี่ การเผาไหม้มากของเสีย การรื้อไอลจากผลิตภัณฑ์โพลีเมอร์ต่างๆ รวมทั้งการของเสียของผลิตภัณฑ์ที่บรรจุสารบิวทาไดอีน รวมทั้งการรื้อไอลของสารบิวทาไดอีนจากแหล่งกักเก็บ [61] และใช้ในอุตสาหกรรมการผลิตยางสังเคราะห์และโพลีเมอร์ต่างๆ จากประโยชน์ของสารบิวทาไดอีนในอุตสาหกรรมต่างๆ พบว่าปริมาณการผลิตสารบิวทาไดอีนเพิ่มขึ้นทุกปีคิดเป็น 3.5 % ต่อปี ในปี 2006 ทวีปเอเชียเป็นฐานการผลิตสารบิวทาไดอีนมากถึง 4.4 ล้านตัน [10] ในปี 2005 ประเทศไทยมีการนำเข้า ส่งออก และการผลิตสารบิวทาไดอีนเท่ากับ 14,708 ตัน, 26,872 ตัน และ 192,200 ตัน ตามลำดับ [20]

โดยทั่วไประดับสารบิวท่าไดอีนตรวจพบได้ในอากาศภายในเมืองมีค่าระหว่าง 1 ถึง 10 ppb ในอเมริกาเหนือ ค่าเฉลี่ยรายปีของสารบิวท่าไดอีนเท่ากับ 0.015 ถึง $1.0 \mu\text{g}/\text{m}^3$ [62-63] และค่าเฉลี่ยรายปีของสารบิวท่าไดอีนในพื้นที่โดยรอบเขตอุตสาหกรรมของประเทศญี่ปุ่นเท่ากับ $0.31 \mu\text{g}/\text{m}^3$ [64] และที่ประเทศไทยพบว่าระดับสารบิวท่าไดอีนบริเวณการจราจรหนาแน่นมีค่าระหว่าง $1.6 - 7.2 \mu\text{g}/\text{m}^3$ โดยวัดระดับสารบิวท่าไดอีนสูงสุดเท่ากับ $20.5 \mu\text{g}/\text{m}^3$ [65] นอกจากนี้พบว่าในควันบุหรี่มีสารบิวท่าไดอีนประมาณ $20-40 \mu\text{g}$ ต่อน้ำ/hr 1 มวน และระดับสารบิวท่าไดอีนในอากาศภายในอาคารที่มีควันบุหรี่มีค่าระหว่าง $10-20 \mu\text{g}/\text{m}^3$ [10] ประชากรทั่วไปสามารถได้รับสัมผัสสารบิวท่าไดอีนจากแหล่งต่างๆ เช่น ไอเสียจากการถ่ายน้ำ ควันบุหรี่ เป็นต้น ในการศึกษาของประเทศเม็กซิโกซึ่งทำการตรวจวัดระดับการได้รับสัมผัสสารบิวท่าไดอีน ของนักเรียนอนุบาลในบริเวณโรงเรียนและในบ้านที่อยู่ในเมือง Mexico City พบว่า นักเรียนอนุบาลได้รับสัมผัสสารบิวท่าไดอีนในโรงเรียนและในบ้านมีค่าใกล้เคียงกันคือ $1 \mu\text{g}/\text{m}^3$ [66] แต่เด็กนักเรียนชั้นมัธยมปลายในเมืองนิวยอร์กได้รับสัมผัสสารบิวท่าไดอีนจากการจราจรในช่วงฤดูร้อนเท่ากับ $0.14 \mu\text{g}/\text{m}^3$ และ $0.13 \mu\text{g}/\text{m}^3$ ในฤดูหนาว [67] เนื่องจากมีการนำสารบิวท่าไดอีนมาใช้ในอุตสาหกรรมยางสังเคราะห์และโพลีเมอร์ต่างๆ รวมทั้งสารปีโตรเคมี จึงมีการศึกษาในกลุ่มอาชีพที่ต้องสัมผัสสารบิวท่าไดอีนอยู่มากมาย [5,8,68-69] ตัวอย่างเช่น การศึกษาของ Albertini และคณะ (2001 และ 2007) พบว่าคนงานที่ทำงานในฝ่ายการผลิตสารจำพวกโพลีเมอร์ได้รับสัมผัสสารบิวท่าไดอีน ($1.794 \mu\text{g}/\text{m}^3$) สูงกว่าคนงานที่ทำงานในฝ่ายผลิตสารจำพวกโนโนเมอร์ ($0.642 \mu\text{g}/\text{m}^3$) และพบว่าคนงานเพศชายได้รับสัมผัสสารบิวท่าไดอีนจากอากาศ ($0.808 \mu\text{g}/\text{m}^3$) ซึ่งสูงกว่าในเพศหญิง ($0.397 \mu\text{g}/\text{m}^3$) ถึง 3 เท่า [5,68] นอกจากนี้ พบว่ากลุ่มคนงานที่ทำงานในวัดที่มีการจุดธูปเป็นจำนวนมากได้รับสารบิวท่าไดอีนจากควันธูปเท่ากับ $11.29 \mu\text{g}/\text{m}^3$ ซึ่งสูงกว่าคนงานในอาคารสำนักงานอย่างมีนัยสำคัญทางสถิติ [27]

2.2.2 กระบวนการเปลี่ยนแปลงสารทางชีวภาพ (Biotransformation)

จากการศึกษาในสัตว์ทดลองและในคนพบว่า เมื่อสูดดมสารบิวท่าไดอีน สารบิวท่าไดอีนถูกดูดซึมเข้าเข้าสู่ปอดและแพร่เข้าสู่กระแสเลือดไปยังเนื้อเยื่อต่างๆ มากกว่า 60 % ของระดับที่ได้รับเข้าไป แต่พบว่า อายุและเพศมีผลต่อการดูดซึมของสารเข้าสู่ร่างกาย [19,70-72] กระบวนการเมtabolism ของสารบิวท่าไดอีนในคน โดยเอนไซม์ CYP2E1 oxidize สารบิวท่าไดอีนเป็นสาร monoepoxide 1,2-epoxy-3-butane (EB) ซึ่งสาร EB ถูก oxidize โดยเอนไซม์ CYP2E1 ให้เป็น diepoxide 1,2,3,4-diepoxybutane (DEB) หรือถูก hydrolyze โดยเอนไซม์ epoxide hydrolase (EH) เป็นสาร butenediol (1,2-dihydroxy-3-butene) สาร EB, DEB และ butane-diol สามารถจับกับ glutathione (GSH) ให้กลายเป็น mercapuric acid ได้แก่ 1,2-dihydroxy-4-(N-acetyl cysteinyl)butane (MI), 1-hydroxy-2-(N-acetyl cysteinyl)-3-butene (MII) และ 1,3,4-trihydroxy-2-(N-acetyl cysteinyl)butane ซึ่งขับออกทางปัสสาวะ นอกจากนี้ยัง

พบสาร monoepoxide diol (EBdiol) ได้โดยเกิดจากการ hydrolysis ของสาร DEB โดยเอนไซม์ epoxide hydrolase หรือจากการบวนการ oxidation ของสาร butane-diol และพบว่าสารบีว่าไดอีน สามารถเปลี่ยนเป็น 3-butenal และสาร 3-butenal อาจเปลี่ยนรูปเป็นสาร crotonaldehyde ได้ ซึ่ง 2-5% ของสาร crotonaldehyde ถูก oxidize ให้เป็น EB ได้ใน human liver microsome ซึ่งกระบวนการเมตabolism ของสารบีว่าไดอีน แสดงในรูปที่ 2 [61,73] สารเมตาโนบีล์ บีว่าไดอีนถูกขับออกจากร่างกายทางปัสสาวะและสารบีว่าไดอีนถูกขับออกทางลมหายใจในรูปของก๊าซคาร์บอนไดออกไซด์ [74]



รูปที่ 2 กระบวนการเมตabolism ของสารบีว่าไดอีน [61]

(P450, Cytochrome P450; GSH, Glutathione; GT, Glutathione-S-transferase; EH, Epoxide Hydrolase)

2.2.3 ความเป็นพิษทางพันธุกรรมและการเกิดมะเร็ง (Genotoxic and carcinotoxic effects)

สารบิวท่าไดอีนก่อให้เกิดความเป็นพิษอย่างเฉียบพลันต่ำ โดยมีค่า LC50 ในหนู rat และหนู mice มากกว่า 100,000 ppm และค่า LOEL (lowest-observed-effect level) ที่ก่อให้เกิดผลกระทบทางโลหิตวิทยาเท่ากับ 200 ppm [61] จากการศึกษาทั้งในสัตว์ทดลองและในคนพบว่าสารเมตาโบไลท์ของสารบิวท่าไดอีนได้แก่ สาร epoxybutene, diepoxybutane และ epoxybutanediol สามารถทำปฏิกิริยากับ N-terminal valine ของฮีโมโกลบิน เกิดเป็น hemoglobin adduct ได้แก่ MHbVal, PyrVal และ THbVal [7-8,75-77] โดย Boysen และคณะ (2007) รายงานว่าระดับ hemoglobin adduct ขึ้นอยู่กับความเข้มข้นของสารบิวท่าไดอีนที่ได้รับระยะเวลาที่ได้รับสัมผัส และระยะเวลาที่เม็ดเลือดแดงอยู่ในกระแสเลือด โดยพบว่าระดับของ MHbVal และ PyrVal ในหนู mice สูงกว่าหนู rat แต่ระดับ THbVal ใกล้เคียงกันในหนู rat และหนู mice และในคนระยะเวลาที่เม็ดเลือดแดงที่อยู่ในกระแสเลือดประมาณ 120 วัน ดังนั้นระดับ hemoglobin adduct จึงถูกนำมาใช้ในการวัดระดับ reactive intermediates ของสารบิวท่าไดอีน ในร่างกาย โดยรูปแบบของ adduct คล้ายกับสัตว์ทดลอง แต่ MHbVal เกิดจากการทำปฏิกิริยาระหว่าง epoxybutene กับฮีโมโกลบิน และ THbVal adduct เกิดจากการทำปฏิกิริยาระหว่าง epoxybutanediol หรือ diepoxybutane กับฮีโมโกลบิน [77] จากการศึกษาของ Albertini และคณะ (2001) พบร่วงเวลาที่ MHbVal และ THbVal ในคนงานที่ทำงานในโรงงานผลิตสารโพลีเมอร์ ในสาขาวัสดุเชคมีความสัมพันธ์กับระดับการได้รับสัมผัสสารบิวท่าไดอีนจากอาชเช่นเดียวกับการศึกษาในคนงานโรงงานผลิต butadiene polymer พบร่วงเวลาที่ THbVal adduct ในกลุ่มคนงานสูงกว่ากลุ่มควบคุมและมีความสัมพันธ์กับระดับการได้รับสัมผัสสารบิวท่าไดอีนของอาสาสมัครอย่างมีนัยสำคัญ [8]

แม้ว่าระบบโลหิตเป็นป้าหมายของการเกิดความเป็นพิษจากสารบิวท่าไดอีน แต่ไม่พบผลกระทบต่อระบบภูมิคุ้มกันอย่างมีนัยสำคัญในการศึกษาในหนู B6C3F1 mice ที่สูดมสารบิวท่าไดอีน 1250 ppm นาน 24 สัปดาห์ [61] เช่นเดียวกับการศึกษาในคนงานที่ได้รับสัมผัสสารบิวท่าไดอีนในโรงงานปิโตรเคมี พบร่วงเวลาที่ไม่ความผิดปกติของจำนวนเม็ดเลือดแดง เม็ดเลือดขาวอย่างมีนัยสำคัญในคนงานที่ได้รับสัมผัสสารบิวท่าไดอีน [78] และเป็นที่ทราบกันแล้วว่าสารบิวท่าไดอีนและสารเมตาโบไลท์ได้แก่ epoxybutene, diepoxybutane และ butadiene dioepoxide ก่อให้เกิดผลกระทบต่อสารพันธุกรรมจากการศึกษาการกลายพันธุ์ของ *Hprt* gene ในสัตว์ทดลองพบว่า สาร diepoxybutane ก่อให้เกิด deletion ของ *hprt* gene [79] และ epoxybutene ก่อให้เกิด base-substitution mutation ได้แก่ GC→AT transition, GC→TA transversion และ AT→TA transversion ใน *Iacl* transgene ขณะที่ epoxybutane ก่อให้เกิดการกลายพันธุ์ของ *Hprt* gene แบบ GC→AT transition และ AT→TA transversion และ diepoxybutane ก่อให้เกิด AT→TA transversion ใน human TK6 lymphoblast cell [80] นอกจากนี้พบร่วงเวลาที่สัตว์ทดลองที่เกิดมะเร็ง cardiac hemangiosacroma จากการได้รับสารบิวท่า

ได้อีน มีการกลายพันธุ์ของ ras protooncogene และ p53 tumor suppressor gene โดยเกิด H-ras mutation (CGA mutation) ที่ codon 61 และ K-ras mutation (CGC mutation) ที่ codon 13 และพบ mutation ที่ exon 5 to 8 ของ p53 tumor suppressor gene และเกิดการกลายพันธุ์ของ K-ras gene รวมทั้งสูญเสีย heterozygosity ของ K-ras gene บน chromosome 6 ในมะเร็งปอด ขณะที่พบว่ามีการเปลี่ยนแปลงของ p53 และ p16 ในมะเร็งสมอง [81-82] นอกจากนี้ยังก่อให้เกิด DNA adduct ที่ตำแหน่ง N7 ของ guanine และ N1, N3 และ N6 ของ adenine โดยก่อให้เกิด trihydroxyl adduct (THB-G) และ hydroxylbutyl adduct (EB-G) ที่ N7-guanine [83-84] และพบว่า diepoxybutane ยังก่อให้เกิด DNA-DNA cross-link (bis-N7G-BD) adduct และ N6-N6 deoxyadenosine adduct ได้จากการเกิดกระบวนการ DNA alkylation [85-87]

จากการศึกษาของ Xi (1997) และ Murg (1999) พบว่า DEB ก่อให้เกิด micronucleus formation สูงกว่า EB และ ทำให้เกิด hyperdiploidy ของ chromosome 12 และ X แต่ไม่พบที่ chromosome 7 และ 8 นอกจากนี้มีการแตกหักของ chromosome ที่ตำแหน่ง 1cen-q12 ใน human lymphocyte [88-89] อย่างไรก็ตามพบว่า polymorphism ของเอนไซม์ glutathione-S-transferase T1 แบบ null GSTT1 มีผลทำให้เกิด sister chromatid exchange สูงขึ้นใน human lymphocyte ที่ได้รับสาร EB ในความเข้มข้น 250 μM [90] นอกจากนี้ในกลุ่มคนงานที่ได้รับสัมผัสสารบิวทาไดอีนที่มี polymorphism ของเอนไซม์ EPHX1 H139R แบบ HR หรือ RR allele มีระดับของ hyperdiploidy ของ chromosome 1, 7 และ 8 เพิ่มขึ้น [91] รวมทั้ง polymorphism ของเอนไซม์ glutathione-S-transferase M1 และ T1 มีผลต่อการเกิด chromosome aberrations เช่นกัน [92]

จากการศึกษาทางคลินิกวิทยาและระบาดวิทยาที่บ่งชี้ถึงการก่อให้เกิดมะเร็งในคนของสารบิวทาไดอีน ทางสถาบัน International Agency for Research on Cancer (IARC) ได้จำแนกสารบิวทาไดอีนเป็นสารก่อมะเร็งในมนุษย์ (Group 1) [10] โดยการศึกษาในสัตว์ทดลองที่สุดมสารบิวทาไดอีนในความเข้มข้น 0, 625, และ 1250 ppm นาน 60 สัปดาห์ ตรวจพบว่า malignant lymphomas, cardiac hemangiosarcoma, alveolar epithelial hyperplasia, alveolar/bronchiolar adenomas, alveolar/bronchiolar carcinomas, proliferative forestomach lesions รวมทั้ง epithelial hyperplasia, squamous cell papillomas, และ squamous cell carcinomas [93] และ Melnik (1990) รายงานว่า lymphocytic lymphoma เป็นสาเหตุการตายของหนูที่สุดมสารบิวทาไดอีนที่ความเข้มข้น 625 ppm นอกจากนี้ยังพบเนื้องอกที่หัวใจ กระเพาะอาหาร ปอด รังไข่ ตับ Harderian gland และ mammary gland [94] และจากการศึกษา follow-up และ cohort ในคนงานที่ทำงานผลิตสารบิวทาไดอีน พบว่า เสียชีวิตจากมะเร็งชนิด lymphohematopoietic และ non-Hodgkin's lymphoma และในคนงานผลิตยางสังเคราะห์ พบว่าส่วนใหญ่เสียชีวิตจากมะเร็งเม็ดเลือดขาว [95-97] นอกจากนี้ Tsai และคณะ (2001) ได้ทำการศึกษาในคนงานโรงงานปิโตรเคมีที่สัมผัสสารบิวทาไดอีนเป็นประจำ

พบว่ามะเร็งชนิด lymphohematopoietic เป็นสาเหตุของการเสียชีวิตของคนงาน แม้ว่าผลทางโลหิตวิทยา(จำนวนเม็ดเลือดแดง เม็ดเลือดขาว เกล็ดเลือด ฮีโมโกลบิน) ในคนงานที่อยู่ใน การศึกษาไม่มีความแตกต่างจากกลุ่มเปรียบเทียบ [98]

2.2.4 ดัชนีชีวภาพการได้รับสัมผัสของสารบิวท่าไดอีน

หลังจากได้รับสัมผัสสารบิวท่าไดอีน พบร่วมกับสารบิวท่าไดอีนและสารตัวกลางที่ร่วงกายได้เร็วและสะสมอยู่ตามเนื้อเยื่อต่างๆ และสาร Intermediate metabolite ของสารบิวท่าไดอีน (epoxybutene: EB, diepoxybutane: DEB, epoxybutanediol: EBD) สามารถรวมตัวกับ ฮีโมโกลบินเป็น Hemoglobin adduct (Hb-adduct) จึงสามารถวัดระดับ Hb-adduct ในกระแสเลือด และวัดระดับสารเมตาโนบิล็อกซ์ของบิวท่าไดอีนที่ขับออกทางปัสสาวะได้แก่ 1,2-dihydroxybutyl mercapturic acid (DHBMA, MI) และ 1,2-monohydroxybutyl mercapturic acid (MHBMA,MII)

2.2.4.1 ระดับ Hemoglobin adduct ในกระแสเลือด

สารก่อการกลายพันธุ์ และสารก่อมะเร็งสามารถรวมตัวกับโมเลกุลขนาดใหญ่ เช่น โปรตีน DNA เป็นต้น ลักษณะของสารที่เป็น electrophile สามารถทำปฏิกิริยากับส่วนที่เป็น nucleophile ของโปรตีน ได้แก่ หมู่ sulphhydryl ของกรดอะมิโน cysteine, ในโครงสร้างของกรดอะมิโน histidine และในโครงสร้างของกรดอะมิโน valine ในร่างกาย มณฑย์ ฮีโมโกลบิน (Hb) ในกระแสเลือดมีปริมาณมาก มีความคงตัวและมีช่วงชีวิตนานเท่ากับ 120 วัน และ Hb-adducts ไม่ถูกซ้อมแซมความเสียหายจากเอนไซม์ต่างๆ ที่เกิด เช่นที่เกิดใน DNA ทำให้สะสมอยู่ในร่างกายเป็นเวลานาน จึงเป็นดัชนีชีวภาพที่เหมาะสมในการประเมินการได้รับสารในร่างกายและถูกนำไปใช้ [122] Hb-adducts ที่เกิดขึ้นจากสารบิวท่าไดอีนได้แก่ MHbVal adduct เกิดจากการทำปฏิกิริยาระหว่าง epoxybutene กับ ฮีโมโกลบิน และ THbVal adduct เกิดจากการทำปฏิกิริยาระหว่าง epoxybutanediol หรือ diepoxybutane กับ ฮีโมโกลบิน ในการศึกษาทาง molecular epidemiology ในคนงานที่ทำงานในโรงงานผลิต butadiene latex พบร่วมกับ THbVal มีความสัมพันธ์ต่อการได้รับสารบิวท่าไดอีนที่ความเข้มข้น 1-3 ppm ในกลุ่มคนงาน และ พบร่วมกับ THbVal และ MHbVal มีความสัมพันธ์ต่อการได้รับสารบิวท่าไดอีนที่ความเข้มข้น 1 ppm ซึ่งอัตราส่วนระหว่าง THbVal และ MHbVal สูงถึง 400 ในคนงานที่ได้รับสารบิวท่าไดอีน [7,8]

2.4.2.2 ระดับสารเมตาโนบิล็อกซ์ของสารบิวท่าไดอีนในปัสสาวะ

จากการวนการเมต้าบoliซึมของสารบิวท่าไดอีน พบร่วมกับสารเมตาโนบิล็อกซ์ที่ถูกขับออกทางปัสสาวะได้แก่ 1,2-dihydroxybutyl mercapturic acid (DHBMA, MI) และ 1,2-monohydroxybutyl mercapturic acid (MHBMA,MII) ซึ่งสารเหล่านี้ถูกนำมาใช้เป็นดัชนีชีวภาพ

ทางชีวภาพของการได้รับสัมผัสสารบิวท่าไดอีน [7, 208] จากผลการศึกษาของ Boogaard (2001) พบว่า MHBMA มีความจำเพาะมากกว่า DHBMA ใน การประเมินการได้รับสารบิวท่าไดอีนในขณะนั้นและสามารถตรวจพบได้ในปัสสาวะของคนงานที่ผลิตสารบิวท่าไดอีนในระดับต่ำ นอกจากนี้พบว่าระดับ DHBMA ในปัสสาวะตามธรรมชาติสูงและยังไม่ทราบที่มาที่ชัดเจน [9]

2.3 สารไวนิลคลอไรด์ (Vinyl chloride)

2.3.1 แหล่งที่มาและการได้รับสัมผัส (Occurrence and Exposure)

สารไวนิลคลอไรด์เป็นก๊าซที่ไม่มีสี ติดไฟง่าย มีน้ำหนักโมเลกุลเท่ากับ 62.5 อากาศที่ความดันบรรยายกาศ 1 atm จุดเดือดเท่ากับ -13°C และจุดหลอมเหลวเท่ากับ -154°C ที่อุณหภูมิ 20°C มีค่าความดันไออกเท่ากับ 2,530 mmHg ละลายได้ดีในเอทานอล และสารละลายน้ำทรีฟิล เช่น acetone, benzene, diethyl ether, cyclohexane เป็นต้น [19] ในอากาศสารไวนิลคลอไรด์ทำปฏิกิริยากับ hydroxyl radical และ ozone เกิดเป็นสาร formaldehyde, carbon monoxide, hydrochloric acid และ formic acid จากเหตุนี้ค่าครึ่งชีวิตของสารไวนิลคลอไรด์ในอากาศประมาณ 20 ชั่วโมง สารไวนิลคลอไรด์เกิดจากการบวนการ stream cracking ของสาร 1,2-dichloroethane และถูกนำมาใช้ในการผลิตสารต่างๆ มากมาย เช่น PVC พลาสติก เรซิน ชิ้นส่วนอิเล็กทรอนิก กล่องพลาสติก ขวดน้ำ ท่อต่างๆ เป็นต้น ในปี 2005 พบว่ามีการผลิตสารไวนิลคลอไรด์ทั่วโลกเท่ากับ 32.6 ล้านตัน และพบว่ามีการผลิตสารไวนิลคลอไรด์มากที่สุดในประเทศไทย 8.9 ล้านตัน [10] ในประเทศไทยพบว่ามีการผลิตสารไวนิลคลอไรด์เป็นจำนวนมากและมีปริมาณเพิ่มขึ้นทุกปี ในปี 2005 ปริมาณการผลิตเท่ากับ 697,000 ตัน[20]

ในอากาศโดยทั่วไป ตรวจพบระดับสารไวนิลคลอไรด์ค่อนข้างต่ำคือน้อยกว่า $3 \mu\text{g}/\text{m}^3$ ในปี 1974 ตรวจพบระดับสารไวนิลคลอไรด์สูงถึง $56 \text{ mg}/\text{m}^3$ ในอากาศบริเวณที่ตั้งอยู่ห่างจากโรงงานผลิต VC/PVC ประมาณ 5 กิโลเมตรในประเทศไทย แล้วในปี 1983 ตรวจพบระดับสารไวนิลคลอไรด์ในอากาศบริเวณรอบเขตอุตสาหกรรมในประเทศจีนเท่ากับ $17 \text{ mg}/\text{m}^3$ อย่างไรก็ตามสามารถตรวจพบสารไวนิลคลอไรด์ภายในอาคาร บ้านเรือนต่างๆ โดยเกิดจากการระเหยของผลิตภัณฑ์จำพวก PVC เช่น ราวนิวน ถุงพลาสติก ฟิล์มใสห่ออาหาร ขวดพลาสติก ของเล่น อุปกรณ์ตกแต่งภายในรัตนยนต์ เป็นต้น แต่ระดับสารไวนิลคลอไรด์ที่ระเหยออกจากวัสดุเหล่านี้มีค่าน้อยกว่า 0.05 ppm นอกจากนี้พบว่าในควันบุหรี่มีสารไวนิลคลอไรด์อยู่ในระดับ $1.3 - 1.6 \text{ ng}$ ต่อบุหรี่ 1 มวน และ $14 - 27 \text{ ng}$ ต่อซิการ์ 1 มวน [19] สำหรับการปนเปื้อนในแหล่งน้ำพบว่าที่ประเทศไทยมีน้ำบ่อใกล้บริเวณทิ้งสารเคมีและหลุมฝังกลบมีสารไวนิลคลอไรด์ $200 - 1,694 \text{ } \mu\text{g}/\text{L}$ และในประเทศไทยปูนพบระดับสารไวนิลคลอไรด์ในแม่น้ำที่ตื้นเขินของเมืองโอชาภามีค่าเฉลี่ยเท่ากับ $3.35 \text{ } \mu\text{g}/\text{L}$ [99-100] จากการศึกษาเร็วๆ นี้ในประเทศไทยได้ทราบ พบว่าบ่อน้ำที่ตั้งอยู่ใกล้โรงงานผลิตสาร trichloroethylene มีระดับสารไวนิลคลอไรด์ระหว่าง $4.25 - 651 \text{ } \mu\text{g}/\text{L}$ [101]

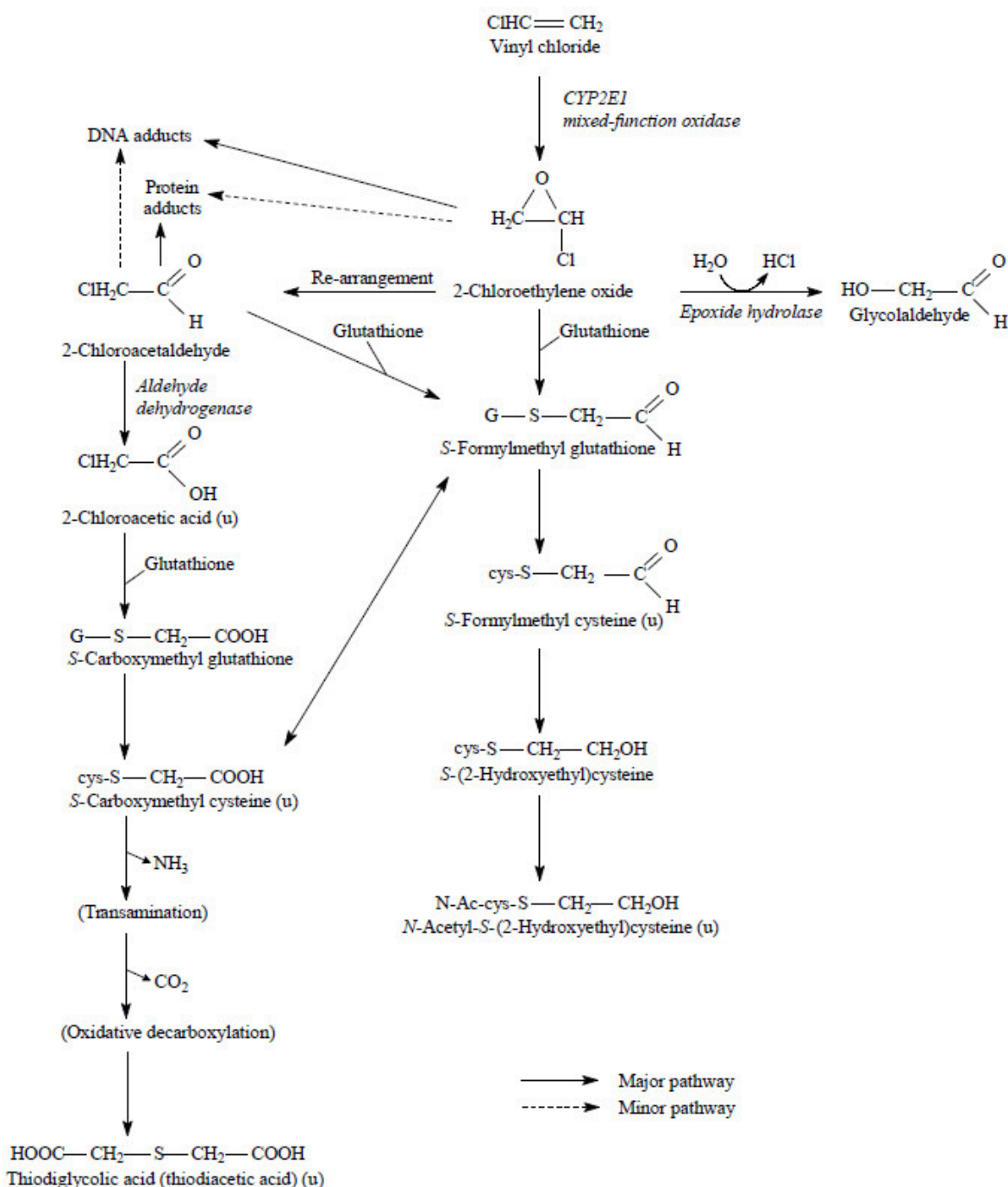
สารไวนิลคลอไรด์เข้าสู่ร่างกายจากการหายใจเป็นส่วนใหญ่ และซึมผ่านผิวหนังเป็นส่วนน้อย จากการศึกษาเมื่อเร็วๆในประเทศไต้หวัน พบร่วมกับงานเพศชายในโรงงานผลิต polyvinyl chloride ได้รับสารไวนิลคลอไรด์จากการทำงานโดยมีค่าเฉลี่ยเท่ากับ 3.4 ± 1.3 ppm [102] ในประเทศจีน Zhe และคณะ (2005) รายงานว่าคุณงานในโรงงานผลิตสารไวนิลคลอไรด์ได้รับสัมผัสสารไวนิลคลอไรด์โดยมีค่าระหว่าง $0.18 - 108.3$ ppm ($0.5 - 302.16$ mg/m³) [103] ในกลุ่มประชากรทั่วไปสามารถได้รับสัมผัสสารไวนิลคลอไรด์ได้หลายทาง เช่น การสูดดมอากาศที่มีสารไวนิลคลอไรด์ปนเปื้อนบริเวณรอบโรงงานผลิต PVC หรือห้องฝังกลบจากการดื่มน้ำที่มีการปนเปื้อนจากการกินอาหาร เครื่องดื่ม หรือยาที่บรรจุในถุงพลาสติก เป็นต้น ในปี 1996 สถาไฟที่ขันสารไวนิลคลอไรด์เกิดอุบัติเหตุตกรางทำให้เกิดไฟไหม้ และพบว่าประชาชนที่อยู่ใกล้กับบริเวณที่เกิดอุบัติเหตุสูดดมสารไวนิลคลอไรด์ในระดับ $0.06-8$ ppm [10] นอกจากนี้ประชาชนที่อาศัยอยู่ใกล้หรืออยู่ใต้ทิศทางลมที่พัดผ่านโรงงาน หลุมฝังกลบกากของเสียอันตราย สามารถได้รับสัมผัสสารไวนิลคลอไรด์จากการได้ โดยพบว่ามีค่าอยู่ระหว่าง $5-8$ µg/m³ หรือตรวจพบว่าบ้านที่อยู่ใกล้กับที่ทิ้งกากของเสียมีระดับไวนิลคลอไรด์ในอากาศสูงถึง 1040 µg/m³ ทางตอนใต้ของรัฐแคลิฟอร์เนีย [11]

2.3.2 กระบวนการเปลี่ยนแปลงสารทางชีวภาพ (Biotransformation)

สารไวนิลคลอไรด์เป็นสารที่ระเหยง่ายจึงเข้าสู่ร่างกายโดยการหายใจ การศึกษาในคนและสัตว์ทดลองแสดงให้เห็นว่าไวนิลคลอไรด์ดูดซึมได้่ายผ่านทางปอด และแพร์เข้าสู่กระเพาะเลือดและไปยังอวัยวะต่างๆ ได้แก่ สมอง ตับ ม้าม ไต เนื้อเยื่อไขมัน และกล้ามเนื้อ [10, 11, 104] อย่างไรก็ตาม การสะสมของสารไวนิลคลอไรด์ขึ้นอยู่กับอัตราเร็วของกระบวนการเมตาabolism และการขับออก [105] นอกจากนี้พบว่าสารไวนิลคลอไรด์สามารถผ่านรกได้ โดยตรวจพบระดับสารไวนิลคลอไรด์ในเลือดของตัวอ่อนและน้ำครรภ์ของหมูที่ตั้งท้อง [10,11] กระบวนการเมtabolism ของสารไวนิลคลอไรด์เกิดขึ้นที่ตับเป็นส่วนใหญ่และเกิดขึ้นเร็วมาก หลังจากนั้นจะคงที่ เริ่มต้นจากสารไวนิลคลอไรด์ถูก oxidize ด้วยเอนไซม์ cytochrome P-450 2E1 เป็น reactive intermediate chloroethylene oxide ซึ่งสามารถปรับเปลี่ยนโครงสร้างไม่เลกูลให้เป็น chloroacetaldehyde ซึ่งสารทั้ง 2 ชนิดสามารถทำปฏิกิริยากับโปรตีน DNA และ RNA ก่อให้เกิด etheno adducts โดยสาร chloroethylene oxide ก่อให้เกิด etheno adduct ได้มากที่สุด สาร chloroethylene oxide (CEO) และ chloroacetaldehyde (CAA) ทำปฏิกิริยากับ glutathione ได้เป็น N-avetyl-S-(2-hydroxyethyl)cysteine และ thiodiglycolic acid นอกจากนี้สาร chloroethylene oxide และ chloroacetaldehyde ถูก detoxify ด้วยเอนไซม์ microsomal epoxide hydrolase ได้เป็น glucolaldehyde ซึ่งสารนี้ถูกเปลี่ยนเป็น chloroacetic acid โดยเอนไซม์ aldehyde dehydrogenase [10,11,106] ดังแสดงในรูปที่ 3

จากการศึกษาของ Hafner et al (1975) พบร่วมกับ chloroethylene oxide ก่อให้เกิด etheno adduct ได้มาก เวลา 15 ชั่วโมงพบว่า 58% ถูกขับออกทางปัสสาวะในรูปของสารเมตาโบไลท์, 2.7% ถูกขับ

ออกทางอุจจาระ และ 9.8% ถูกขับออกในรูปของก๊าซคาร์บอนไดออกไซด์ (CO_2) เช่นเดียวกับ คนพบว่าสารไวนิลคลอไรด์และสารเมตาโนบีโอล์ถูกขับออกทางลมหายใจและทางปัสสาวะ ตามลำดับ โดยพบว่าสารเมตาโนบีโอล์ที่พบมากในคนงานที่ได้รับสัมผัสร้าวไวนิลคลอไรด์ได้แก่ thiodiglycolic acid [107]



รูปที่ 3 กระบวนการเมtabolismของสารไวนิลคลอไรด์ [10]

(CYP2E1, Cytochrome P450 2E1; u, excreted in urine)

2.3.3 ความเป็นพิษทางพันธุกรรมและการเกิดมะเร็ง (Genotoxic and carcinotoxic effects)

จากการศึกษาในสัตว์ทดลองที่สูดدمสารไวนิลคลอไรด์ในความเข้มข้นที่สูง พบว่า ก่อให้เกิด hypertrophy ของเยื่อบุหลอดลม, hyperplasia ของ alveolar epithelium, มีการหลั่ง mucin มากขึ้น, มีการเพิ่มขึ้นของ endoplasmic reticulum และ free ribosome ใน Clara cell, pulmonary congestion, edema และ pulmonary hemorrhages [4] และก่อให้เกิดอาการที่เรียกว่า vinyl chloride disease [4] ได้แก่อาการปวดศรีษะ มองเห็นไม่ชัด ไม่อยากอาหาร คลื่นไส นอนไม่หลับ ปวดบริเวณตับและม้าม ปวดตามกล้ามเนื้อ น้ำหนักลดลง นอกจากนี้มีอาการคล้าย scleroderma และ acro-osteolysis ที่นิ้วมือและนิ้วเท้า มีการเปลี่ยนแปลงของระบบไหลเวียนโลหิตส่วนปลาย คล้ายกับ Raynaud's disease ซึ่งพบได้ในคนงานที่ได้รับสารไวนิลคลอไรด์ที่สูงมากถึง 1,000 ppm [11,19,99] นอกจากนี้สารไวนิลคลอไรด์ก่อให้เกิดความเป็นพิษต่อระบบภูมิคุ้มกัน โดย Fucie (1998) รายงานว่ามีการเพิ่มขึ้นของจำนวน lymphocyte ของคนงานที่ได้รับสัมผัสสารไวนิล 1-300 ppm และมีอายุงานเฉลี่ย 8 ปี และยังพบว่าสารไวนิลคลอไรด์กระตุ้นการทำงานของ immune complement (C_3 และ C_4) ส่งผลให้ B-cell เพิ่มจำนวนขึ้น นอกจากนี้ chloroethylene oxide สามารถจับกับ immunoglobulin G (IgG) ทำให้โครงสร้างของ IgG เปลี่ยนแปลง และเพิ่มระดับ IgG มากขึ้น [108]

สารเมตาโนบีโอลท์ของสารไวนิลคลอไรด์ได้แก่ chloroethylene oxide (CEO) และ chloroacetaldehyde (CAA) สามารถก่อให้เกิดความเป็นพิษต่อสารพันธุกรรม ซึ่ง CEO และ CAA สามารถทำปฏิกิริยากับ adenine, cytosine และ guanine base บน DNA ทำให้เกิด etheno DNA โดย CEO ก่อให้เกิด N-7-(2-oxoethyl)guanine adduct (7-OEG), 1,N⁶-ethenoadenine adduct (EA), 3,N⁴-ethenocytosine adduct (EC), N²,3-ethenoguanine adduct (N²,3-EG) and 1,N²-ethenoguanine adduct (1,N²-EG) [109-111] นอกจากนี้ พบว่าสามารถก่อให้เกิด 5,6,7,9-tetrahydro-7-hydroxy-9-oxoimidazo[1,2-a]purine adduct (HO-ethanoG) [10] และจากการศึกษา mutagenic และ promutagenic effects พบว่า 7-OEG [ไม่] ก่อให้เกิด mutagenic หรือ promutagenic แต่ etheno adduct ชนิดอื่นๆ ก่อให้เกิด point mutation แบบ base-pair substitution [ได้] ดังนี้ EA ทำให้เกิด AT → GC transition, AT → TA และ AT → CG transversion, EC ทำให้เกิด GC → AT transversion และ CG → TA transition และ 1,N²-ethenoguanine (1,N²-EG) ทำให้เกิด GC → TA และ GC → CG transversion [110] จากการศึกษาในหนู Sprague-dawley rat ที่เพิงหย่านมโดยให้สูดدمสารไวนิลคลอไรด์ 600 ppm นาน 5 วัน พบว่าระดับ 7-OEG adduct เกิดขึ้นในเซลล์ตับมากที่สุด และ 7-OEG adduct มีค่าครึ่งชีวิตสั้นประมาณ 62 ชั่วโมง และ N²,3-EG มีค่าครึ่งชีวิตประมาณ 30 วัน โดย EA และ EC มีค่าครึ่งชีวิตยาวนานกว่า [106] จากเหตุนี้ทำให้เกิดการสะสมของ EA และ EC มากที่สุดในตับ แต่ในไตและปอดพบว่ามีการสะสมของ EC เท่านั้น และในเซลล์

lymphocyte ในเลือดไม่พบว่ามีระดับของ EA และ EC แตกต่างจาก background level ที่ตรวจพบในเห็นที่ไม่ได้สูดدمสารไวนิลคลอไรด์ [112]

นอกจากนี้พบว่าสารไวนิลคลอไรด์ก่อให้เกิดการกลายพันธุ์ของ ras protooncogene และ p53 tumor suppressor gene ได้จากการศึกษาของ Weihrauch (2001) พบว่าเกิดการกลายพันธุ์ของ Ki- ras-2-gene ที่ codon 12 (G to A transition และ G to T transversion) และที่ codon 13 (G to T transversion) ในมะเร็งตับของคนงานที่สัมผัสสารไวนิลคลอไรด์ [113] และตรวจพบการกลายพันธุ์ของ p53 gene ใน liver angiosarcoma (11 จาก 25) และ hepatocellular carcinoma (1 จาก 8) ในเห็นที่สัมผัสสารไวนิลคลอไรด์ โดยการกลายพันธุ์เกิดขึ้นที่ codon 253 (A to T transversion) ซึ่งคล้ายกับลักษณะที่ตรวจพบใน human liver angiosarcoma คือ พบรที่ codon 255 (A to T transversion) [114] และตรวจพบการกลายพันธุ์ของ p53 gene 6 ตำแหน่ง ใน human liver angiosarcoma โดยเกิดแบบ point mutation 4 ตำแหน่ง และ deletion 2 ตำแหน่ง มีเพียง 1 ตำแหน่งที่เกิด A to T transversion ที่ codon 131 [115]

สำหรับผลต่อการเกิดมะเร็ง พบรที่สัตว์ทดลองที่ทานหรือสูดدمสารไวนิลคลอไรด์เป็นระยะเวลานาน เกิดมะเร็งในอวัยวะต่างๆ ได้แก่ liver angiosarcoma, hepatocellular carcinoma, mammary gland carcinoma, brain tumor (เกิดจาก neuroesthesia-epithelioma ในเยื่อบุโพรงจมูกและแพร่เข้าสู่สมอง), nephroblastoma, เนื้องอกในปอด, กระเพาะอาหาร และ Zymal gland [106] สำหรับการเกิดมะเร็งจากสารไวนิลคลอไรด์ในคน เป็นการศึกษาทางระบบดิบทยาเกี่ยวกับการเกิด liver angiosarcoma ที่เกิดจากการทำงานที่เกี่ยวข้องกับการสัมผัสสารไวนิลคลอไรด์ [116-119] Ward และคณะ (2001) ทำการติดตามอัตราการตายและอัตราการเกิดมะเร็งของคนงานอุตสาหกรรมผลิตไวนิลคลอไรด์ในยุโรปจำนวน 12,700 คน พบรที่คนงาน 53 คนเสียชีวิตด้วยมะเร็งตับ และ 18 คนป่วยเป็นมะเร็งตับ จำแนกเป็น liver angiosarcoma 37 คน, hepatocellular carcinoma 10 คน และมะเร็งตับชนิดอื่นๆ 24 คน [117] และการศึกษาระบดิบทยาในประเทศสหราชอาณาจักรพบว่าอัตราการตายจากมะเร็งตับและมะเร็งสมองของคนงานที่สัมผัสสารไวนิลคลอไรด์งานผลิตโพลีเมอร์เพิ่มมากขึ้น [118]

2.3.4 ดัชนีชีวภาพการได้รับสัมผัสของสารไวนิลคลอไรด์

สำหรับดัชนีชีวภาพการได้รับสัมผัสของสารไวนิลคลอไรด์ พบรที่เมื่อสารไวนิลคลอไรด์ผ่านเข้ามาในร่างกายและถูกเปลี่ยนแปลงเป็นสารเมตาโบไลท์และถูกขับออกทางปัสสาวะ ซึ่งสาร Chloroacetic acid, S-Carboxymethyl cysteine, N-acetyl-S-(2-hydroxyethyl)cysteine และ thiodiglycolic acid เป็นสารเมตาโบไลท์ของสารไวนิลคลอไรด์ที่ถูกขับออกทางปัสสาวะดังนั้นสารเมตาโบไลท์เหล่านี้จึงถูกนำมาใช้ในการประเมินการได้รับสัมผัสสารไวนิลคลอไรด์จาก การประกอบอาชีพและจากสิ่งแวดล้อมได้

ระดับสารเมตาโนบีไลท์ของสารไวนิลคลอไรด์ในปัสสาวะ

จากการบวนการเมตานabolิชีมของสารไวนิลคลอไรด์ พบว่าสารเมตาโนบีไลท์ที่ถูกขับออกทางปัสสาวะได้แก่ Chloroacetic acid, S-Carboxymethyl cysteine, N-acetyl-S-(2-hydroxyethyl)cysteine และ thiodiglycolic acid ซึ่งสารเหล่านี้สามารถนำมาใช้เป็นดัชนีชีวภาพทางชีวภาพของการได้รับสัมผัสริวินิลคลอไรด์ได้

สาร S-Carboxymethyl cysteine (SCMC)

สาร S-Carboxymethyl cysteine (SCMC) เป็นสารเมตาโนบีไลท์ของสารไวนิลคลอไรด์ชนิดหนึ่งที่ขับออกทางปัสสาวะ ซึ่งมีปริมาณน้อยกว่า thiodiglycolic acid และ N-Acetyl-S-(2-Hydroxyethyl)cysteine เนื่องจากสาร SCMC สามารถปรับโครงสร้างโมเลกุลให้กล้ายเป็น S-Formylmethyl glutathione จากเหตุนี้ สาร SCMC สามารถนำมาใช้เป็นดัชนีชีวภาพระดับสารไวนิลคลอไรด์ในร่างกายได้เช่นเดียวกับ thiodiglycolic acid และ N-Acetyl-S-(2-Hydroxyethyl)cysteine

สาร Thiodiglycolic acid (TdGA)

สาร thiodiglycolic acid เป็นสารเมตาโนบีไลท์หลักของสารไวนิลคลอไรด์ที่ถูกขับออกทางปัสสาวะ จึงถูกนำมาใช้ในการศึกษาทาง molecular epidemiology โดยกลุ่มคนงานที่ทำงานในโรงงานผลิต PVC ที่ได้รับสารไวนิลคลอไรด์น้อยกว่า 1 ppm, 1 ppm และ 5 ppm พบว่ามีการเพิ่มขึ้นของระดับ thiodiglycolic acid ในปัสสาวะในกลุ่มคนงานที่ได้รับสารไวนิลคลอไรด์มากกว่า 5 ppm และระดับของ thiodiglycolic acid ในปัสสาวะมีความสัมพันธ์กับการเกิด DNA single strand break ด้วย โดยพบว่าระดับ DNA damage จะเกิดมากเมื่อระดับ thiodiglycolic acid ในปัสสาวะของคนงานที่ได้รับสารไวนิลคลอไรด์มากกว่า 5 ppm มีค่าเท่ากับ 4 mg/g creatine [12]

2.4 ดัชนีชีวภาพการเปลี่ยนแปลงในระยะเริ่มต้น (Biomarkers of biological early effects)

ดัชนีชีวภาพการเปลี่ยนแปลงในระยะเริ่มต้น (biomarkers of biological early effects) เป็นการตรวจวัดผลกระทบที่เกิดขึ้นในระยะเริ่มต้นและไม่ได้เกิดขึ้นอย่างถาวร การตรวจวัดนี้ เป็นการประเมินระดับการทำงานที่เปลี่ยนแปลงไปจากการได้รับสารในระยะเริ่มแรก ได้แก่ การตรวจวัดจำนวนเซลล์เม็ดเลือด เพื่อดูผลกระทบเป็นพิษทางโลหิตวิทยา หรือการตรวจวัดในระดับโมเลกุล เช่น การเกิดความเสียหายต่อสารพันธุกรรม (DNA damage) จากภาวะ oxidative stress, การแตกหักทำลายของสารพันธุกรรม (DNA Strand break), การกลایพันธุ์ และการเปลี่ยนแปลงลักษณะของโครโมโซม (chromosome aberrations) เป็นต้น

สารเมตาโบไลท์ของสารเบนซีน (phenol, hydroquinone) และบิวทาไดอีน (EB, DEB, EBdiol) สามารถก่อให้เกิด reactive oxygen species (ROS) ได้ ซึ่ง ROS เหล่านี้ก่อให้เกิดกระบวนการ oxidation ที่ guanine base ของ DNA โดยการเติมหมู่ hydroxyl เข้าที่ตำแหน่งที่ 8 ของ guanine กลายเป็น 8-hydroxy-2'-deoxyguanisine (8-oxodGuo หรือ 8-OHdG) ซึ่งเป็นหนึ่งในรูปแบบที่สำคัญของการเกิด oxidative lesion บน DNA คือก่อให้เกิดการเปลี่ยนรูปของ guanine เป็น thymine (G to T transversion) และการเพิ่มขึ้นของระดับ 8-OHdG อาจเพิ่มความเสี่ยงต่อการเป็นมะเร็งได้ ด้วยเหตุนี้ระดับ 8-OHdG ในเซลล์เม็ดเลือดขาวจึงเป็นเครื่องมือที่สำคัญในการตรวจวัดการได้รับสารก่อการกลายพันธุ์ หรือสารก่อมะเร็งได้ นอกจากนี้สามารถตรวจวัดระดับ 8-OHdG ในปัสสาวะได้ เนื่องจาก oxidative DNA repair ที่เกิดจากการซ่อมแซมของเอนไซม์หลายชนิดในร่างกายของมนุษย์ถูกขับออกทางปัสสาวะ ดังนั้นระดับของ 8-OHdG ในปัสสาวะจึงเป็นผลผลิตของการซ่อมแซมที่สะท้อนให้เห็นถึงความสมดุลกันระหว่างความเสียหายที่เกิดขึ้นกับอัตราการซ่อมแซม ดังนั้นระดับ 8-OHdG ในเซลล์เม็ดเลือดขาวและในปัสสาวะสามารถทำนายความเสี่ยงในการพัฒนาการเกิดมะเร็งได้จากการได้รับสารก่อการกลายพันธุ์ หรือสารก่อมะเร็งได้ [120-123]

สาร chloroethylene oxide (CEO) และ chloroacetaldehyde (CAA) ซึ่งเป็นสารเมตาโบไลท์ของสาร ไวนิลคลอโรต์ CEO และ CAA สามารถทำปฏิกิริยากับ adenine, cytosine และ guanine base บน DNA ทำให้เกิด etheno DNA adduct ได้ [109-111] อย่างไรก็ตาม สามารถตรวจพบระดับของ etheno adduct ได้ในคนที่มีสุขภาพร่างกายแข็งแรง โดยเชื่อว่ากระบวนการ lipid peroxidation ก่อให้เกิด endogenous etheno adduct ได้แก่ 1,N⁶-ethenoadenine adduct (EA), 3,N⁴-ethenocytosine adduct (EC), N²,3-ethenoguanine adduct (N²,3-EG) and 1,N²-ethenoguanine adduct (1,N²-EG) ซึ่งระดับของ endogenous etheno adduct ก่อให้เกิดการแปลผลที่ผิดพลาดได้ในกรณีที่ได้รับสารไวนิลคลอโรต์ในระดับต่ำได้ [111]

การแตกหักทำลายของสารพันธุกรรม (DNA Strand break) เกิดจากการสะสมของความผิดปกติบนสาย DNA (mutation) และไม่ได้รับการซ่อมแซม ส่งผลให้ DNA เกิดความผิดปกติและไม่ความเสถียร ทำให้แตกหักได้ง่าย โดยทั่วไปพบว่า chromosome aberration และ micronuclei ถูกนำมาใช้เป็นดัชนีชี้วิภาพการเปลี่ยนแปลงของร่างกายในระยะเริ่มต้นจากการได้รับสารก่อการกลายพันธุ์และสารก่อมะเร็ง อย่างไรก็ตาม DNA strand breaks ถูกนำมาใช้เป็นดัชนีชี้วิภาพการเปลี่ยนแปลงของร่างกายในระยะเริ่มต้นจากการได้รับสารก่อการกลายพันธุ์และสารก่อมะเร็งเพิ่มมากขึ้น [111] และ Møller (2006) แนะนำให้ตรวจวัดระดับการเกิด DNA strand break โดยใช้วิธีการ single-cell gel electrophoresis assay (Comet assay) ซึ่งเป็นวิธีที่ง่ายและมีความไวต่อการตรวจระดับการเกิดการแตกทำลายสารพันธุกรรม (DNA Strand break) และการซ่อมแซม [123] เมื่อมีข้อโต้แย้งในการแปลผลว่าระดับ DNA strand break ที่ได้อาจไม่สะท้อนการเกิดความเสียหายในเนื้อเยื่อเป้าหมายได้ และยังมีปัจจัยอื่นๆ

มากมายที่มีผลต่อการเกิด background level ของ DNA strand break ได้ เช่นวิถีการดำเนินชีวิต อาหาร ยารักษาโรค ภูมิอากาศ เป็นต้น

ในเซลล์ของสัตว์เลี้ยงลูกด้วยนมมีเอนไซม์มากมายที่ทำหน้าที่ในการซ่อมแซม DNA ที่เกิดความเสียหายจากการได้รับสารเคมีต่างๆ รังสี และความร้อน ให้กลับมาสู่สภาพปกติ เช่น base excision repair, nucleotide excision repair เป็นต้น หากระบบซ่อมแซมดังกล่าวสูญเสียไป อาจก่อให้เกิด mutation และก่อให้เกิดมะเร็งได้ [124] ดังนั้นความสามารถในการซ่อมแซมสารพันธุกรรม (DNA repair capacity) ของเอนไซม์ต่างๆ จึงมีความสำคัญต่อการป้องกันความเสียหายที่เกิดขึ้น อย่างไรก็ตาม DNA repair capacity มีความแตกต่างกันในแต่ละบุคคล และความสำคัญในการซ่อมแซมขึ้นอยู่กับชนิดและความเสียหาย ความรุนแรง และสถานะสุขภาพปัจจุบันวิธี challenge assay เป็นวิธีที่ใช้ในการวิเคราะห์ DNA repair capacity ในคนที่ได้รับสารในระดับต่ำ โดยพนว่าการได้รับ ionizing radiation และสารเคมีต่างๆ ก่อให้เกิด pairacentric fragment (chromosome deletion) ได้ Au (1995) นำตัวอย่างเลือดของคนงานที่ได้รับสารบิวท่าไดอีนในระดับต่ำมาทำการฉายรังสีแกรมม่า พบร่องรอยที่ได้รับสารบิวท่าไดอีน มีอัตราการเกิด chromosome break, deletion และ dicentric สูงกว่าคนที่ไม่ได้รับสารซึ่งแสดงให้เห็นว่า DNA repair capacity ทำงานลดลง ส่งผลต่อความเสี่ยงในการเกิดมะเร็งได้ [6]

2.5 ดัชนีชีวภาพการตอบสนองต่อการอักเสบ (Biomarkers of inflammatory responses)

การอักเสบเป็นกลไกของร่างกายในการตอบสนองต่อสิ่งแปรปัจฉานทั้งภายในและภายนอกร่างกาย ที่ก่อให้เกิดการทำลายเนื้อเยื่อต่างๆ ซึ่งการอักเสบที่เกิดขึ้นต่อเนื่องเป็นระยะเวลาต่อให้เกิดโรคต่างๆ ได้ โดยเฉพาะอย่างยิ่งการอักเสบของระบบทางเดินหายใจเป็นสาเหตุสำคัญของโรคหอบหืดและโรคทางเดินหายใจอื่นๆ เมื่อเซลล์เกิดการอักเสบจะหลั่งสารจำพวก tumor necrosis factor-alpha (TNF- α) และ histamine กระตุ้นให้เซลล์ที่ทำหน้าที่ยกภูมิคุ้มกัน เช่น macrophage, mast cell และ neutrophile เป็นต้น may บีโวโนที่เกิดการอักเสบในปอด alveolar macrophage ทำหน้าที่ในการกำจัดเชื้อโรค สารเคมี หรือฝุ่นละอองขนาดเล็กต่างๆ ออกจากระบบทางเดินหายใจ และตอบสนองต่อการทำลายหรือการอักเสบด้วยการสร้างและหลั่งสารจำพวก proinflammatory mediators ได้แก่ cytokines, reactive oxygen species และ nitric oxide นอกจาก alveolar macrophage ภัยในทางเดินหายใจประกอบด้วยเซลล์เยื่อบุทางเดินหายใจหลายชนิด เช่น ciliated cell, basal cell, goblet cell และ Clara cell เป็นต้น ทำหน้าที่ในการหลั่งสาร surfactant ออกมารีบบันทางเดินหายใจ เพื่อช่วยในการแลกเปลี่ยนกําชและป้องกันการทำลายเซลล์จากสิ่งสิ่งแปรปัจฉานต่างๆ

เมื่อเซลล์เยื่อบุทางเดินหายใจถูกทำลายหรือเกิดการอักเสบ เซลล์เยื่อบุทางเดินหายใจหลังโปรตีน(lung epithelium-specific proteins) เข้าสู่ทางเดินหายใจออกมาเป็นจำนวนมาก ดังนั้นจึงนำเอาโปรตีนดังกล่าวจากการทำ bronchoalveolar lavage มาใช้เป็นดัชนีชีวภาพความผิดปกติของระบบทางเดินหายใจ ซึ่งวิธีการดังกล่าวเป็นวิธีการเก็บตัวอย่างที่ไม่เหมาะสม

ในการประเมินผลกระทบทางระบบทางเดินหายใจของประชาชนที่ได้รับมลพิษต่างๆ อย่างไรก็ตาม พบร่วมกันที่สามารถตรวจพบโปรตีนที่หลังออกจากเซลล์เยื่อบุทางเดินหายใจที่เกิดการอักเสบหรือถูกทำลายได้ในชั้นรึมและในปัสสาวะ ซึ่งเกิดจากการทำมีร์วของโปรตีนออกจากปอดเข้าสู่ระบบไหลเวียนโลหิต และพบว่าระดับโปรตีนที่ตรวจพบในชั้นรึมมีความสัมพันธ์กับโรคทางระบบทางเดินหายใจ รวมทั้งระดับมลพิษที่ได้รับจากการหายใจ ดังนั้น lung epithelium-specific proteins ในชั้นรึมจึงเป็นดัชนีชี้วิภาความผิดปกติของระบบทางเดินหายใจที่เหมาะสมได้ รวมทั้งระดับของ proinflammatory mediators ต่างๆ ที่หลังออกมายังปอดและชั้นรึม สามารถบ่งชี้ความผิดปกติที่เกิดขึ้นได้

2.5.1 ไซโตคายน์ (Cytokines)

ไซโตคายน์ (cytokines) เป็น polypeptide ซึ่งเป็นสารที่สร้างและหลังโดยเซลล์ของร่างกาย มีบทบาทในภูมิคุ้มกันทั้ง non-specific immunity และ specific immunity cytokine ที่ช่วยใน specific immunity ส่วนใหญ่หลังมาจาก T lymphocyte และ cytokine ที่ช่วยใน non-specific immunity ส่วนใหญ่หลังมาจาก mononuclear phagocyte ที่พบสิ่งแผลปลอม แต่ก็ได้รับการกระตุ้นจาก T lymphocyte ด้วยเช่นกัน ไซโตคายน์ (cytokines) ประกอบด้วย 2 กลุ่ม คือ proinflammatory cytokines และ anti-inflammatory cytokines ซึ่ง proinflammatory cytokines หลังออกมายัง immune cell ที่ถูกกระตุ้น เพื่อให้เกิดการตอบสนองต่อการอักเสบโดยเห็นได้ชัดเจน เช่น neutrophils บริเวณที่เกิดการอักเสบ เปลี่ยนแปลงภาวะ permeability ของ endothelium cell และกระตุ้นให้เกิดการสร้าง eicosanoid เช่น tumor necrosis factor-alpha (TNF- α) และ interleukin-8 (IL-8) เป็นต้น ในทางกลับกัน anti-inflammatory cytokines ทำหน้าที่ในการลดการตอบสนองต่อการอักเสบ เช่น interleukin-4 (IL-4), interleukin-10 (IL-10) และ interleukin-13 (IL-13) เป็นต้น

Interleukin-8 (IL-8) เป็น prototypic human chemokine ที่สร้างโดยเซลล์ macrophage และเซลล์จำพวก epithelial cells ทำหน้าที่ในการเห็นได้ชัดเจนและกระตุ้น inflammatory promoting cell โดยเมื่อเซลล์ macrophage กำจัดเชื้อโรคหรือสิ่งแผลปลอม จะหลัง chemokines ออกมายัง neutrophil ให้ immune cells ชนิดอื่นๆ มาจับบริเวณอักเสบ โดยพบว่า IL-8 เป็น chemotactic factor ที่สำคัญที่ช่วยให้ neutrophil เกาะติดกับ endothelial cell ของเส้นเลือด และส่งเสริม degranulation และกระตุ้นให้ basophil และ T lymphocyte มาจับบริเวณอักเสบ ในภาวะปกติที่ไม่เกิดการอักเสบ ระดับของ IL-8 ไม่สามารถตรวจพบได้ แต่สามารถตรวจพบระดับ IL-8 ได้สูงถึง 10 -100 เท่าเมื่อเกิดการอักเสบจากการได้รับเชื้อแบคทีเรีย ไวรัส หรือเกิดจากการกระตุ้นของ proinflammatory cytokines เช่น tumor necrosis factors และ interleukin-1 (IL-1) เป็นต้น

นอกจากสารอินทรีย์ระเหยง่ายเช่น สารเบนซีน บิวทาไดอีน และไวนิลคลอไรด์ ก่อให้เกิดความผิดปกติต่อสารพันธุกรรมและก่อให้เกิดมะเร็งได้ในหลายระบบแล้ว พบร่วมกันที่หลังออกจากเซลล์เยื่อบุทางเดินหายใจที่เกิดการอักเสบหรือถูกทำลายได้ในชั้นรึมและในปัสสาวะ ซึ่งเกิดจากการทำมีร์วของโปรตีนออกจากปอดเข้าสู่ระบบไหลเวียนโลหิต และพบว่าระดับโปรตีนที่ตรวจพบในชั้นรึมมีความสัมพันธ์กับโรคทางระบบทางเดินหายใจ รวมทั้งระดับของ proinflammatory mediators ต่างๆ ที่หลังออกมายังปอดและชั้นรึม สามารถบ่งชี้ความผิดปกติที่เกิดขึ้นได้

สารอินทรีย์ระเหยง่ายในปริมาณสูงก่อให้เกิดความผิดปกติของระบบทางเดินหายใจ โดยการศึกษาทางระบาดวิทยาพบว่าเด็กอายุตั้งแต่ 6 เดือนถึง 3 ปี ที่ได้รับสารอินทรีย์ระเหยง่ายมากกว่า $60 \mu\text{g}/\text{m}^3$ มีโอกาสเสี่ยงต่อการเกิดโรคหอบหืดเป็น 4 เท่า และการได้รับสาร เช่นมากกว่า $20 \mu\text{g}/\text{m}^3$ มีโอกาสเสี่ยงต่อการเกิดโรคหอบหืดสูงถึง 8 เท่า [125-126] นอกจากนี้ Gosepath (2003) รายงานว่าสารเบนซีนที่ความเข้มข้นสูงสามารถกระตุ้นการตอบสนองต่อการอักเสบในเซลล์เยื่อบุทางเดินหายใจ [127] และสาร chlorobenzenes, styrene และ *m*-xylene มีผลต่อการหลัง IL-8 แต่ยับยั้งการหลัง IL-6 และ MPC-1 [128] จากการศึกษาของ Pariselli (2009) พบว่าสาร troponin และเบนซีนกระตุ้นการหลังของ IL-8 ในเซลล์เยื่อบุปอด (A549) ขณะที่สาร hydroquinone ยับยั้งการผลิต proinflammatory cytokines เช่น TNF- α , IL-1 β , IL-3, IL-6, IL-10, IL-12p40, IL-23 เป็นต้น [129]

นอกจากนี้พบว่า การอักเสบของเซลล์เยื่อบุทางเดินหายใจจากการได้รับสิ่งแปรกปลอมต่างๆ เช่นมลพิษอากาศ สารก่อภูมิแพ้ และเชื้อโรคต่างๆ เป็นต้น รวมทั้ง reactive oxygen species (ROS) และ nitric oxide (NO $^\cdot$) กระตุ้นให้เซลล์เยื่อบุทางเดินหายใจตอบสนองด้วยการหลัง mucus ออกมานิปริมาณมาก เปลี่ยนแปลง ciliary activity และเปลี่ยนแปลงการทำงานของ ion transport/barrier นอกจากนี้กระตุ้นให้เกิดการสร้าง primary inflammatory mediators เช่น interferon-gramma (IFN- γ) และ tumor necrosis factor-alpha (TNF- α) เป็นต้น เพื่อกำกับการหลังของ secondary cytokines ได้แก่ Interleukin-6 (IL-6) และ interleukin-8 (IL-8) จากการศึกษาของ Martin และคณะ (1997) พบว่า ROS โดยเฉพาะอย่างยิ่ง hydroxyl radical กระตุ้นให้เกิดการแสดงออกของ intercellular adhesion molecule-1 (ICAM-1) ซึ่งสามารถทำให้เกิดการอักเสบของเซลล์เยื่อบุหลอดลมได้ และ nitric oxide กระตุ้นให้เกิดการหลังของ primary inflammatory mediators ได้แก่ TNF- α และ PAF ซึ่งสารทั้งสองสามารถกระตุ้นการแสดงออกของ IL-8 ได้ [130] และจากการศึกษาใน *in vitro* ของ Lappégaard (2009) พบว่า ตัวอย่างเลือดที่ถูกเลี้ยงในหลอดทดลองที่เคลือบด้วย polyvinyl chloride มีระดับของ IL-8 และ MPC-1 เพิ่มมากขึ้น [131]

2.5.2 โปรตีน Clara cell (Clara cell protein; CC16)

โปรตีน Clara cell CC16 เป็นโปรตีนที่มีลักษณะเป็น homodimer ที่มีขนาด 16-kD ประกอบด้วยกรดอะมิโน 70 ตัว หลังออกมานิทางเดินหายใจโดย non-ciliated Clara cell ทำหน้าที่ยับยั้งการอักเสบ (anti-inflammatory) ที่เกิดขึ้นในระบบทางเดินหายใจ ตามปกติโปรตีน CC16 ถูกพบในของเหลวภายในปอด ถ้า Clara cell ถูกทำลาย โปรตีน CC16 สามารถซึมผ่านของเยื่อบุปอด และแพร่เข้าสู่กระแสเลือดได้ ดังนั้นจึงสามารถพบโปรตีน CC16 พ布ในชีร์รัมและปัสสาวะได้ [132-133] ระดับ CC16 ในคนปกติมีค่าประมาณ 21.7 ถึง $27.9 \mu\text{g}/\text{L}$ แต่ระดับ CC16 สามารถจะเปลี่ยนแปลงหรือถูกกระแทกจากปัจจัยที่แตกต่างกันออกไป เช่นการได้รับสัมผัสโควิด-19 การสูดควันไฟ และสารในโตรเจนไตรคลอไรด์ทำให้ระดับของ CC16 ในชีร์รัม

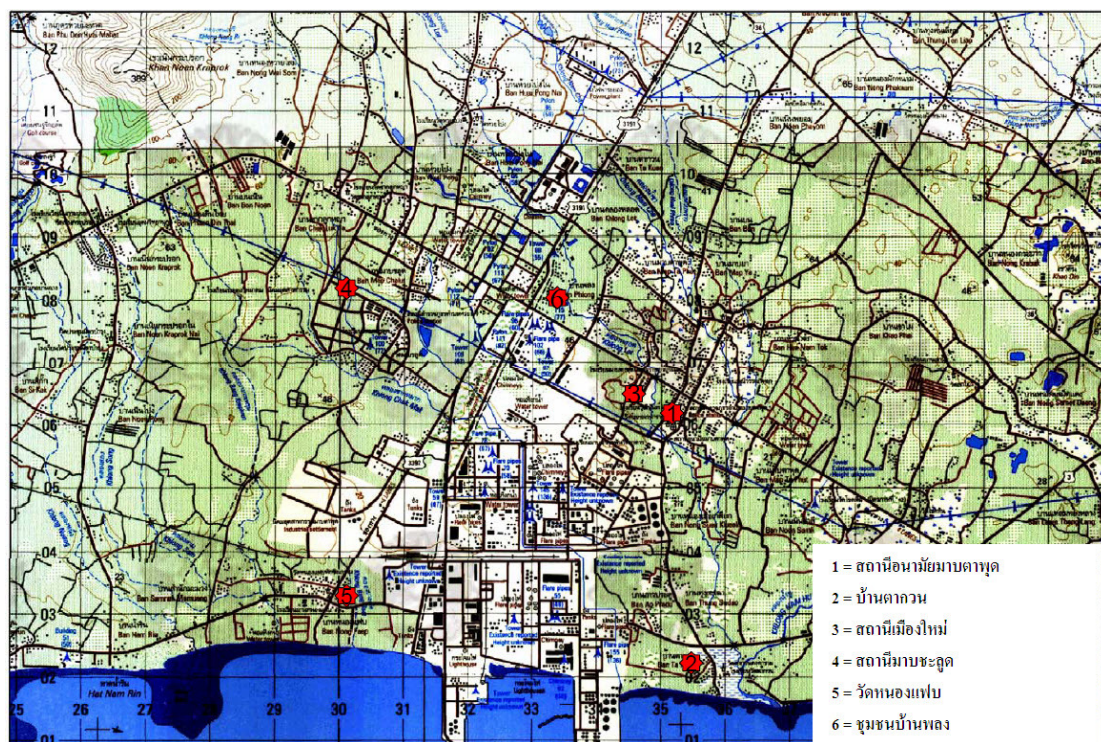
เพิ่มขึ้น ขณะที่การได้รับค่านบุหรี่ และชัลเพอร์โดยอกไชด์ทำให้ระดับของ CC16 ในชีร์มลดลง [134-135] แต่พบว่าตัวราชที่ไม่สูบบุหรี่แต่ได้รับมลพิษอากาศสูงสามารถทำให้ระดับของ CC16 ในชีร์มลดลงได้ นอกจากนี้การได้รับมลพิษทางอากาศในระยะเวลาสั้นๆ สามารถนำไปสู่การเพิ่มขึ้นของ CC16 ในชีร์มได้โดยเฉพาะในผู้สูงวัย

การดำเนินการวิจัย

3. วิธีการดำเนินงานวิจัย

3.1 การกำหนดพื้นที่ศึกษาและพื้นที่ควบคุม

จากการประชุมร่วมกันระหว่างสำนักงานกองทุนสนับสนุนการวิจัย กรมควบคุมมลพิษ สถาบันวิจัยจุฬาภรณ์และมหาวิทยาลัยธรรมศาสตร์ในการกำหนดพื้นที่ศึกษาเมื่อวันที่ 26 ตุลาคม 2550 ซึ่งกรมควบคุมมลพิษ ได้กำหนดพื้นที่ศึกษาในโครงการวิจัย โดยพิจารณาจาก ปริมาณสารเบนซีน บีว่าไಡอีน และไวนิลคลอไรด์ในอากาศที่ตรวจวัดที่สถานีเก็บอากาศต่างๆ ของกรมควบคุมมลพิษ (รูปที่ 4) ซึ่งตั้งอยู่รอบเขตนิคมอุตสาหกรรมมาบตาพุดและกรมควบคุม มลพิษกำหนดให้พื้นที่หมู่บ้านช่องแสมสาร อำเภอสัตหีบ จังหวัดชลบุรี เป็นพื้นที่ควบคุม (รูปที่ 6) เนื่องจากเป็นพื้นที่ไม่มีโรงงานอุตสาหกรรมที่เกี่ยวข้องกับสารอินทรีย์ระเหย ตลอดจนมี ลักษณะทางภูมิศาสตร์และวิถีชีวิตของประชากรใกล้เคียงกับพื้นที่ศึกษา



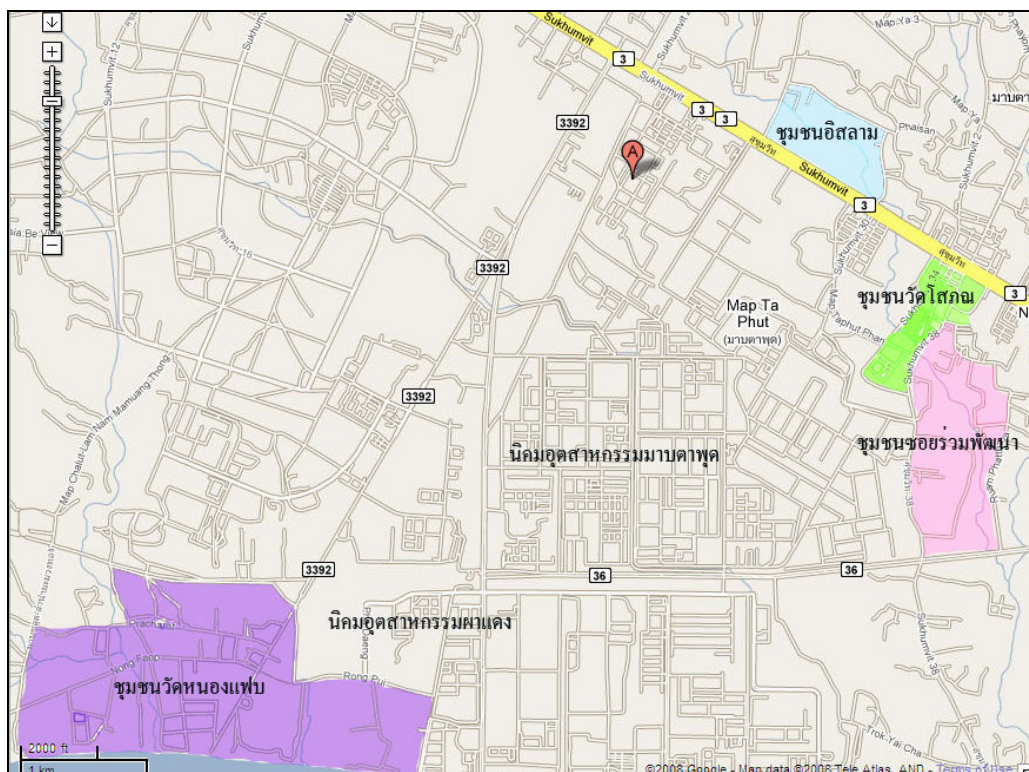
รูปที่ 4. ภาพแสดงจุดเก็บตัวอย่างสารอินทรีย์ระเหยของกรมควบคุมมลพิษ ในเขตเทศบาล เมืองมาบตาพุด จ.ระยอง

3.1.1 พื้นที่ศึกษามาบตาพุด

พื้นที่มาบตาพุดตั้งอยู่ในเขตเทศบาลเมืองมาบตาพุด อำเภอเมือง จังหวัดระยอง มีระยะห่างจากกรุงเทพฯ ทางทิศตะวันออกเฉียงใต้ ประมาณ 204 กิโลเมตร มีพื้นที่รวมทั้งสิ้น 165.57 ตารางกิโลเมตร เทศบาลเมืองมาบตาพุดประกอบด้วยชุมชนทั้งหมด 31 ชุมชน ในปี 2551 เทศบาลเมืองมาบตาพุดมีประชากรรวมทั้งสิ้น 46,159 คน เป็นเพศชาย 23,079 คน และ เพศหญิง 22,609 คน ในเขตเทศบาลฯ มีนิคมอุตสาหกรรมตั้งอยู่ทั้งหมด 7 แห่ง ได้แก่ 1) นิคม อุตสาหกรรมมาบตาพุด 2) นิคมอุตสาหกรรมมาบตาพุดคอมเพล็กซ์ 3) นิคมอุตสาหกรรมเหม ราชตะวันออก 4) นิคมอุตสาหกรรมพาแดง 5) นิคมอุตสาหกรรมเอเชีย 6) ทำเรืออุตสาหกรรม มาบตาพุด และ 7) นิคมอุตสาหกรรมอาร์ ไอ แหล่ง มีโรงงานอุตสาหกรรมรวมทั้งสิ้น 275 โรงงาน การศึกษานี้ กำหนดพื้นที่ศึกษาออกเป็น 2 พื้นที่ ได้แก่

พื้นที่ศึกษาที่ 1 ตั้งอยู่ในเขตชุมชนหนองแพะ ใกล้กับนิคมอุตสาหกรรมพาแดงและ นิคมอุตสาหกรรมมาบตาพุด (รูปที่ 5)

พื้นที่ศึกษาที่ 2 ตั้งอยู่ในชุมชนอิสลาม ชุมชนวัดโสกณ และชุมชนช้อยร่วมพัฒนา ใกล้ กับนิคมอุตสาหกรรมอาร์ ไอ และ อยู่ใกล้กับนิคมอุตสาหกรรม มาบตาพุด (รูปที่ 5)



รูปที่ 5 ภาพแสดงพื้นที่ศึกษามาบตาพุดที่ 1 และ 2 ในเทศบาลมาบตาพุด จังหวัดระยอง

3.1.2 พื้นที่ควบคุมหมู่บ้านช่องแสมสาร

พื้นที่ควบคุมดังอยู่ในตำบลแสมสาร อำเภอสัตหีบ จังหวัดชลบุรี ห่างจากอำเภอสัตหีบไปทางทิศตะวันออกเฉียงใต้ มีลักษณะเป็นที่ราบ มีภูเขาล้อมรอบ มีชายฝั่งทะเลเป็นแนวยาวทางด้านทิศใต้และทิศตะวันตก มีพื้นที่โดยประมาณ 32 ตารางกิโลเมตร แบ่งเป็น 4 หมู่บ้าน ได้แก่ หมู่ที่ 1 ช่องแสมสาร หมู่ที่ 2 หนองน้ำเย็น หมู่ที่ 3 หัวแหลม และหมู่ที่ 4 หนองกระจง ในปี 2551 ตำบลแสมสารมีประชากร รวม 6,032 คน เป็นชาย 3,019 คน หญิง 3,013 คน และมีประชากรแห่ง 3,908 คน ประชากรส่วนใหญ่ประกอบการทำการประมง แบ่งเป็น ชาวประมงขนาดเล็ก 92 ครัวเรือน ชาวประมงขนาดกลาง-ใหญ่ 61 ครัวเรือน และรับจ้างทั่วไป 138 ครัวเรือน ไม่มีโรงงานอุตสาหกรรมขนาดเล็ก-ใหญ่ดังอยู่ในตำบลแสมสาร



รูปที่ 6 ภาพแสดงจุดเก็บตัวอย่างสารอินทรีย์ระเหยในตำบลแสมสาร อำเภอสัตหีบ จังหวัดชลบุรี

3.2 การคัดเลือกอาสาสมัครและขนาดของกลุ่มตัวอย่าง

กลุ่มอาสาสมัครในการศึกษาวิจัยครั้งนี้ประกอบด้วย ประชากรที่อาศัยอยู่ในตำบลมากادพุด จังหวัดระยอง และประชากรที่อาศัยอยู่ในหมู่บ้านช่องแสมสาร อำเภอสัตหีบ จังหวัดชลบุรี(พื้นที่ควบคุม) โดยกำหนดขนาดของกลุ่มตัวอย่างประมาณ 50 คน

เกณฑ์การคัดเลือกอาสาสมัคร ดังนี้

1. อาสาสมัครมีอายุระหว่าง 20-55 ปี
2. ต้องไม่สูบบุหรี่หรือสมาชิกในครอบครัวต้องไม่สูบบุหรี่ ถ้าเคยสูบ ต้องเลิกสูบบุหรี่อย่างน้อย 2 ปี
3. มีสุขภาพแข็งแรง ไม่เป็นโรคมะเร็ง โรคหัวใจ โรคเลือด และโรคติดต่อ
4. ต้องอาศัยอยู่ในพื้นที่ศึกษาเป็นเวลาอย่างน้อย 2-3 ปี

5. ต้องไม่ทำงานอยู่ในโรงงานที่ตั้งอยู่ในเขตอุตสาหกรรม
6. ต้องไม่ทำงานที่เกี่ยวข้อง หรือใช้สารอินทรีย์ระเหยในการทำงาน

อาสาสมัครที่ผ่านการคัดเลือกตามเกณฑ์แสดงความประسังค์เข้าร่วมโครงการโดยการตอบรับ ใบยินยอมเข้าร่วมในโครงการวิจัย และรวบรวมข้อมูลเบื้องต้นต่างๆจากอาสาสมัครโดยการให้อาสาสมัครตอบแบบสอบถามที่มีข้อมูลทั่วไปเกี่ยวกับระยะเวลาที่อาศัยอยู่ในพื้นที่ศึกษา สภาพแวดล้อมของที่อาศัย ข้อมูลการทำงาน ข้อมูลด้านสุขภาพ และข้อมูลเกี่ยวกับพฤติกรรม การบริโภคตลอดจนวิถีการทำธุรกิจ เช่น การดื่มสุราและการสูบบุหรี่ เป็นต้น

3.3 การดำเนินการเก็บตัวอย่างอากาศและตัวอย่างชีวภาพจากอาสาสมัคร

สถาบันวิจัยฯพักรณ์ดำเนินการเก็บตัวอย่างอากาศและตัวอย่างชีวภาพจากอาสาสมัคร ในพื้นที่มหาวิทยาลัยฯ ระหว่างเดือนมีนาคม ถึงเดือนเมษายน 2551 และเก็บตัวอย่างจากอาสาสมัครในหมู่บ้านช่องแม่น้ำเจ้าพระยา ชั้นที่ 3 แขวงบางพลี เขตสมุทรปราการ จังหวัดสมุทรปราการ 2551

อาสาสมัครที่ผ่านการคัดเลือกตามเกณฑ์ได้แสดงความประสังค์เข้าร่วมโครงการโดยการลงชื่อตอบรับใบยินยอมเข้าร่วมในโครงการวิจัยนี้ และคณะผู้วิจัยได้รวบรวมข้อมูลต่างๆจากอาสาสมัครโดยการให้อาสาสมัครตอบแบบสอบถามที่มีข้อมูลทั่วไปเกี่ยวกับระยะเวลาที่อาศัยอยู่ในพื้นที่ศึกษา สภาพแวดล้อมของที่อาศัย ข้อมูลการทำงาน ข้อมูลด้านสุขภาพ และข้อมูลเกี่ยวกับพฤติกรรมการบริโภคตลอดจนวิถีการทำธุรกิจ เช่น การดื่มสุราและการสูบบุหรี่ เป็นต้น

3.4 วิธีการเก็บตัวอย่างอากาศและตัวอย่างชีวภาพ

3.4.1 การเก็บตัวอย่างอากาศในบริเวณชุมชนและที่อยู่อาศัย

ทำการเก็บตัวอย่างอากาศแบบ Passive Air Sampling ในบริเวณพื้นที่ศึกษาที่เขตรามบตาพุดและหมู่บ้านช่องแม่น้ำเจ้าพระยาโดยติดตั้งแท่งเก็บอากาศ (Thermal Desorption Tube) จำนวน 3 แท่งที่มีความจำเพาะกับสารอินทรีย์ระเหย บนชีน บิว tha ไดอีน และไวนิลคลอไรด์ในบริเวณที่พักอาศัยของอาสาสมัคร เป็นเวลาประมาณ 8 ชั่วโมง (8.00 – 16.00 น.) เพื่อประเมินระดับการปนเปื้อนของสารบนชีน บิว tha ไดอีน และไวนิลคลอไรด์ในอากาศ

3.4.2 การเก็บตัวอย่างอากาศในแต่ละบุคคล

ทำการเก็บตัวอย่างอากาศแบบ Passive Air Sampling จากอาสาสมัครที่เข้าร่วมโครงการวิจัยตามหลักเกณฑ์การคัดเลือก ประกอบด้วยอาสาสมัครในเขตมหาวิทยาลัยฯ จำนวน 112 คน และหมู่บ้านช่องแม่น้ำเจ้าพระยาจำนวน 50 คน โดยอาสาสมัครแต่ละคนติดแท่งเก็บอากาศจำนวน 3 แท่งที่มีความจำเพาะกับสารอินทรีย์ระเหย บนชีน บิว tha ไดอีน และไวนิลคลอไรด์ที่บริเวณกระเพาะหรือปากเสื้อ ซึ่งเป็นที่ใกล้กับบริเวณการหายใจ (รูปที่ 7) เป็นเวลาประมาณ 8 ชั่วโมง (8.00-16.00 น.) เพื่อประเมินการได้รับสารบนชีน บิว tha ไดอีน และไวนิลคลอไรด์จากอากาศ



รูปที่ 7 ภาพแสดงการเก็บตัวอย่างอากาศในแต่ละบุคคล

3.4.3 การเก็บตัวอย่างชีวภาพ

ตัวอย่างเลือด : เก็บตัวอย่างเลือดในช่วงบ่าย (16.00 น) ประมาณ 20 มิลลิลิตรโดยพยาบาลวิชาชีพ (รูปที่ 8 A) เพื่อตรวจดัชนีชีวภาพต่างๆ

ตัวอย่างปัสสาวะ : เก็บปัสสาวะจากอาสาสมัครในช่วงเช้า (8.00 น) และในช่วงบ่าย (16.00 น) ครั้งละประมาณ 50-100 มิลลิลิตรเพื่อตรวจวัดปริมาณสารเมตาโบไลท์ของสารอินทรีย์ระเหยทั้ง 3 ชนิด โดยเก็บปัสสาวะในระบบอกรพาสติกและบรรจุในกล่องน้ำแข็งในระหว่างการเก็บตัวอย่างและการขนย้ายไปที่ห้องปฏิบัติการเพื่อป้องกันการเสื่อมสภาพของสารในปัสสาวะ (รูปที่ 8 B)



A) การเก็บตัวอย่างเลือด



B) การเก็บตัวอย่างปัสสาวะ

รูปที่ 8 ภาพแสดงการเก็บตัวอย่างชีวภาพจากอาสาสมัคร

3.5 การวิเคราะห์ตัวอย่างอากาศ

3.5.1 การวิเคราะห์สารเบนซีนในอากาศ

สารเบนซีนในอากาศเก็บโดยใช้แท่งเก็บอากาศ (Thermal Desorption Sorbent tube) บรรจุด้วยสารดูดซับชนิด Tenax TA (Markes International Ltd., ประเทศอังกฤษ) ตัวอย่างอากาศถูก desorbed ด้วยเครื่อง Thermal Desorption Unit (TDU) รุ่น UNITY (Markes International Ltd.,) ที่ต่อกับเครื่อง GC/MS (Agilent GC รุ่น 6890N และ Mass Selective Detector รุ่น 5973N, ประเทศสหรัฐอเมริกา) แยกสารโดยใช้คอลัมน์ GC ชนิด Vertibond 624 (Vertical Chromatography Co., Ltd. ความยาว 30 เมตร เส้นผ่าศูนย์กลาง 0.32 มิลลิเมตร เคลือบฟิล์มหนา 1.8 ไมครอน) วิเคราะห์ระดับสารเบนซีนด้วยเครื่อง GC/MS (ตั้งค่า MS เป็น Electron Ionization (EI) mode, เลือก Acquisition mode แบบ SIM ที่อัตราส่วนของมวลต่อประจุ เท่ากับ 78) [138] ซึ่งวิธีการวิเคราะห์นี้มีค่า limit of detection เท่ากับ $0.006 \mu\text{g}/\text{m}^3$

3.5.2 การวิเคราะห์สารบิวท่าไดอีนในอากาศ

สารบิวท่าไดอีน ในอากาศเก็บโดยใช้แท่งเก็บอากาศ (Thermal Desorption Sorbent tube) บรรจุด้วย สารดูดซับชนิด Carboback X (Markes International Ltd., ประเทศอังกฤษ) ตัวอย่างอากาศถูก desorbed ด้วยเครื่อง Thermal Desorption Unit (TDU) รุ่น UNITY (Markes International Ltd.,) ที่ต่อกับเครื่อง GC/MS (Agilent GC รุ่น 6890N และ Mass Selective Detector รุ่น 5973N, ประเทศสหรัฐอเมริกา) แยกสารโดยใช้คอลัมน์ GC 2 ชนิด คือ คอลัมน์ Innowax (J&W Scientific ประเทศสหรัฐอเมริกา ความยาว 60 เมตร เส้นผ่าศูนย์กลาง 0.32 มิลลิเมตร เคลือบฟิล์มหนา 0.25 ไมครอน) ต่อกับคอลัมน์ RTx-5 (Restex ประเทศสหรัฐอเมริกา ความยาว 60 เมตร เส้นผ่าศูนย์กลาง 0.32 มิลลิเมตร เคลือบฟิล์มหนา 0.3 ไมครอน) วิเคราะห์ระดับสารบิวท่าไดอีนด้วยเครื่อง GC - MS (ตั้งค่าเป็น EI mode, เลือก Acquisition mode แบบ SIM ที่อัตราส่วนของมวลต่อประจุ เท่ากับ 54) [138] ซึ่งวิธีการวิเคราะห์นี้มีค่า limit of detection เท่ากับ $0.015 \mu\text{g}/\text{m}^3$

3.5.3 การวิเคราะห์สารไวนิลคลอไรด์ในอากาศ

สารไวนิลคลอไรด์ในอากาศเก็บโดยใช้แท่งเก็บอากาศ (Thermal Desorption Sorbent tube) บรรจุด้วยสารดูดซับชนิด Unicarb (Markes International Ltd., ประเทศอังกฤษ) ตัวอย่างอากาศถูก desorbed ด้วย เครื่อง Thermal Desorption Unit (TDU) รุ่น UNITY (Markes International Ltd.,) ที่ต่อกับเครื่อง GC/MS (Agilent GC รุ่น 6890N และ Mass Selective Detector รุ่น 5973N, ประเทศสหรัฐอเมริกา) แยกสารโดยใช้คอลัมน์ GC ชนิด Vertibond 624 (Vertical Chromatography Co., Ltd. ความยาว 30 เมตร เส้นผ่าศูนย์กลาง 0.32 มิลลิเมตร เคลือบฟิล์มหนา 1.8 ไมครอน) วิเคราะห์ระดับสารเบนซีนด้วยเครื่อง GC -

MS (EI mode, Acquisition mode แบบ SIM ที่อัตราส่วนของมวลต่อประจุ เท่ากับ 78) [139] การวิเคราะห์สารไวนิลคลอรีต์ในอากาศมีค่า limit of detection $0.50 \mu\text{g}/\text{m}^3$

3.6 การวิเคราะห์ตัวอย่างชีวภาพ

3.6.1 การวิเคราะห์ระดับสารเบนซีนในเลือด

ตรวจวัดระดับสารเบนซีนในตัวอย่างเลือด 1 มิลลิลิตรโดยใช้เทคนิค solid phase micro-extraction (SPME) ซึ่งสารเบนซีนจะถูกดูดซับใน CarboxenTM/ Polydimethylsiloxane fiber ของ SPME และวิเคราะห์ปริมาณสารเบนซีนด้วยเครื่อง GC-MS (Agilent 6890 ประเทศสหรัฐอเมริกา) โดยใช้คอลัมน์ GC ชนิด Vertibond 624 (Vertical Chromatography Co., Ltd. ความยาว 30 เมตร เส้นผ่าศูนย์กลาง 0.32 มิลลิเมตร เคลือบฟิล์มหนา 1.8 ไมครอน) เพื่อแยกสารเบนซีน และวิเคราะห์ระดับสารเบนซีนด้วยเครื่อง MS (EI mode, เลือก Acquisition mode แบบ SIM ที่อัตราส่วนของมวลต่อประจุเท่ากับ 78) ดังแสดงรายละเอียดใน Chanvaivit et al. (2007) [32] ค่า limit of detection ของการวิเคราะห์ระดับสารเบนซีนในเลือดมีค่าเท่ากับ 29.0 ppt

3.6.2 การวิเคราะห์ระดับสารเมตาโนบีโอลท์ของสารเบนซีนในปัสสาวะ

ตรวจวัดระดับกรดมิวโคนิด ซึ่งเป็นสารเมตาโนบีโอลท์ที่มีความจำเพาะเจาะจงของสารเบนซีนที่ถูกขับออกทางปัสสาวะ โดยทำการเจือจางตัวอย่างปัสสาวะด้วยน้ำในอัตรา 1:10 เท่า และจำแนกสาร *t,t*-MA จากปัสสาวะด้วยเครื่อง HPLC (Agilent 1100 series, ประเทศสหรัฐอเมริกา) โดยแยกกรดมิวโคนิด ด้วยคอลัมน์ชนิด reverse phase (Luna C18(2) ความยาว 150 มิลลิเมตร เส้นผ่าศูนย์กลาง 2 มิลลิเมตร, Phenomenex ประเทศสหรัฐอเมริกา) และวิเคราะห์ระดับสาร *t,t*-MA ด้วยเครื่อง Tandem Massspectrometry (MS/MS; Micromass Quattro microTM API) โดยตั้งค่าเป็นแบบ Negative Electrospray Ionization และวิเคราะห์ใน MRM mode (multiple reaction monitoring) ที่ค่ามวลต่อประจุ (*m/z*) เท่ากับ $140.98 \rightarrow 97.00$ [140-141] โดยมีค่า limit of detection เท่ากับ 2.40 ppb และแสดงผลระดับกรดมิวโคนิด เป็นมิลลิกรัมต่อกรัม creatinine

3.6.3 การวิเคราะห์ระดับสารเมตาโนบีโอลท์ของสารบิว tha ไดอีนในปัสสาวะ

ตรวจวัดระดับสาร Monohydroxy-butetyl mercapturic acid (MHBMA) ซึ่งเป็นสารเมตาโนบีโอลท์ของสารบิว tha ไดอีนที่ถูกขับออกทางปัสสาวะ โดยทำการสกัดสาร MHBMA ด้วยวิธี solid phase extraction โดยใช้คอลัมน์ชนิด strataX [141] และจำแนกสาร MHBMA ด้วยเครื่อง HPLC (Agilent 1100 series, ประเทศสหรัฐอเมริกา) โดยแยก MHBMA ด้วยคอลัมน์ชนิด reverse phase (Luna C18(2) ความยาว 150 มิลลิเมตร เส้นผ่าศูนย์กลาง 2 มิลลิเมตร; Phenomenex ประเทศสหรัฐอเมริกา) และวิเคราะห์ระดับสาร MHBMA ด้วยเครื่อง Tandem

Massspectrometry (Micromass Quattro microTM API) แบบ Negative Atmospheric pressure chemical ionization และวิเคราะห์ MHBMA ใน MRM mode (multiple reaction monitoring) ที่ค่ามวลต่อประจุ (m/z) เท่ากับ $232.1 \rightarrow 102.86$ [138,142] โดยมีค่า limit of detection ของการวิเคราะห์เท่ากับ 1.65 ng/ml และแสดงผลระดับสาร MHBMA เป็นมิลลิกรัมต่อกิโลกรัม creatinine

3.6.4 การวิเคราะห์ระดับสารเมตาโบไลท์ของสารไนโตรคลอไรด์ในปัสสาวะ

ตรวจวัดระดับสาร S-carboxymethyl-L-cysteine (SCMC) ซึ่งเป็นสารเมตาโบไลท์ของสารไนโตรคลอไรด์ที่ถูกขับออกทางปัสสาวะ โดยทำการสกัดสาร SCMC ด้วยวิธี liquid phase extraction โดยใช้ ethyl acetate [138] และวิเคราะห์ปริมาณ SCMC ด้วยเครื่อง HPLC-MS/MS โดยแยก SCMC ด้วยคอลัมน์ชนิด Resolve C18 ความยาว 300 มิลลิเมตร เส้นผ่าศูนย์กลาง 3.9 มิลลิเมตร (Waters ประเทศสหรัฐอเมริกา) เพื่อ และวิเคราะห์ปริมาณ SCMC ด้วยเครื่อง Tandem Massspectrometry (Micromass Quattro microTM API) โดยตั้งค่าเป็นแบบ Positive Electrospray Ionization และวิเคราะห์ใน MRM mode (multiple reaction monitoring) ที่ค่ามวลต่อประจุ (m/z) เท่ากับ $180.22 \rightarrow 163.25$ [138,143] โดยมีค่า limit of detection ของการวิเคราะห์เท่ากับ 1.5 ppm และแสดงผลระดับสาร SCMC เป็นมิลลิกรัมต่อกิโลกรัม creatinine

3.6.5 การวิเคราะห์ระดับดัชนีชี้วิภาพการเปลี่ยนแปลงของร่างกายในระยะเริ่มต้น (Biomarkers of early biological effects)

3.6.5.1 การวิเคราะห์ระดับสาร 8-Hydroxy-2'-deoxyguanosine (8-OHdG) ในเซลล์เม็ดเลือดขาว

สกัด DNA ในเซลล์เม็ดเลือดขาวจากตัวอย่างเลือด และใช้อ.enzyme Nuclease P1 และ ene. Alkaline phosphatase ย่อย DNA ให้เป็น nucleotide ที่อุณหภูมิ 37°C และวิเคราะห์ปริมาณ 8-OHdG ด้วยเครื่อง HPLC/ESI-MS/MS เพื่อแยก 8-OHdG และวิเคราะห์ปริมาณ 8-OHdG ด้วยเครื่องตรวจวัด Tandem Massspectrometry (Micromass Quattro microTM API) โดยตั้งค่าเป็นแบบ Positive Electrospray Ionization และวิเคราะห์ใน MRM mode (multiple reaction monitoring) ที่ค่ามวลต่อประจุ (m/z) เท่ากับ $268.0 \rightarrow 152.0$ สำหรับการวิเคราะห์ปริมาณ dG และ $284.0 \rightarrow 168.0$ สำหรับการวิเคราะห์หาปริมาณ 8-OHdG [138] โดยมีค่า limit of detection ของการวิเคราะห์เท่ากับ 20 fmol/ml และแสดงผลเป็นระดับ 8-OHdG ต่อ 10^5 dG

3.6.5.2 การวิเคราะห์ระดับสาร 8-Hydroxy-2'-deoxyguanosine (8-OHdG) ในปัสสาวะ

เตรียมตัวอย่างปัสสาวะ โดยเติมสารละลายผสมของโซเดียมอะซิตेठ อะซิโตไดลด์ และกรดซัลฟูริก นำไปบีบันให้ตกละกอน กรองและวิเคราะห์ปริมาณ 8-OHdG ด้วยเครื่อง

HPLC/ESI-MS/MS เพื่อแยก 8-OHdG และวิเคราะห์ปริมาณ 8-OHdG ด้วยเครื่องตรวจวัด Tandem Massspectrometry (6400 series Triple Quadrupole MS, Agilent) โดยตั้งค่าเป็นแบบ Positive Electrospray Ionization และใช้ MRM mode (multiple reaction monitoring) ที่ค่ามวลต่อประจุ (m/z) เท่ากับ $284.0 \rightarrow 168.0$ [144] โดยมีค่า limit of detection ของการวิเคราะห์ 8-OHdG เท่ากับ 89.68 fmol/ml และคำนวณระดับ 8-OHdG ในปัสสาวะเป็น $\mu\text{mol/mol creatinine}$

3.6.5.3 การวิเคราะห์ระดับสาร Etheno-DNA adduct ในปัสสาวะ

ในการศึกษานี้ทำการวิเคราะห์ etheno DNA adducts 2 ชนิดคือ $1,N^2\text{-ethenodeoxyguanosine (EdG)}$ และ $1,N^6\text{-ethenodeoxyadenosine (EdA)}$ ในปัสสาวะ โดยเติมสารละลายผสมของโซเดียมอะซิตেท อะซิโตไนโตรล และกรดซัลฟูริกลงในตัวอย่างปัสสาวะ นำไปปั่นให้ตกลอกก่อน กรองและวิเคราะห์ระดับ etheno-DNA adducts ด้วยเครื่อง HPLC/ESI-MS/MS เพื่อแยก EdG และ EdA และวิเคราะห์ปริมาณ EdG และ EdA ด้วยเครื่องตรวจวัด Tandem Massspectrometry (6400 series Triple Quadrupole MS, Agilent) โดยตั้งค่าเป็นแบบ Positive Electrospray Ionization และวิเคราะห์ใน MRM mode (multiple reaction monitoring) ที่ค่ามวลต่อประจุ (m/z) เท่ากับ $292.0 \rightarrow 176.0$ และ $276.0 \rightarrow 160.0$ สำหรับวิเคราะห์หาปริมาณ EdG และ EdA ตามลำดับ [144] โดยมีค่า limit of detection ของการวิเคราะห์ EdG และ EdA เท่ากับ 17.82 และ 12.15 fmol/ml ตามลำดับ และคำนวณระดับ EdG และ EdA ในปัสสาวะเป็น $\mu\text{mol/mol creatinine}$

3.6.5.4 การวิเคราะห์ระดับการแตกทำลายของสารพันธุกรรม (DNA strand breaks)

วิเคราะห์ DNA strand breaks ในตัวอย่างเลือดประมาณ 20 ไมโครลิตรด้วยเทคนิค Comet assay หรือ Single Cell Gel Electrophoresis (SCGE) ซึ่งประกอบด้วยขั้นตอนต่างๆ ได้แก่ Cell embedding in agarose, Cell lysis, DNA unwinding, Alkaline electrophoresis, Neutralization and Comet staining ดังที่มีรายละเอียดตามเอกสารอ้างอิง [145-146] ระดับการแตกหักของ DNA ในการศึกษาครั้นนี้ตรวจวัดโดยใช้เครื่อง Automated Epi Fluorescence Microscope (AxioPlan2, Zeiss, ประเทศเยอรมัน)ซึ่งแสดงผลเป็น Tail length และ Olive tail moment

3.6.5.5 การวิเคราะห์ความสามารถในการซ่อมแซมสารพันธุกรรม (DNA repair capacity)

วิเคราะห์ DNA-repair capacity ในตัวอย่างเลือดประมาณ 0.5 มิลลิลิตรด้วยเทคนิค cytogenetic challenge assay โดยใช้ 1 Gy-irradiation เพื่อกระตุ้นการเกิดความผิดปกติของโครโมโซมในเซลล์เม็ดเลือดขาว ภายหลังการ irradiation 48 ชั่วโมง ทำ metaphase

chromosome spreading ดังมีรายละเอียดตามเอกสารอ้างอิง [6, 147-148] วิเคราะห์ความผิดปกติของโครโมโซม ด้วยการตรวจวัดการเกิด Deletions และ Dicentrics ต่อ metaphase ชั้งระดับความผิดปกติของโครโมโซมที่สูง บ่งชี้ถึงความสามารถในการซ่อมแซมความผิดปกติของสารพันธุกรรมที่ลดลง

3.6.6 การวิเคราะห์ดัชนีชีวภาพการตอบสนองต่อการอักเสบ

3.6.6.1 การวิเคราะห์ระดับโปรตีน Clara cell (CC16) ในชีร์ม

วิเคราะห์ระดับโปรตีน Clara cell 16 (CC16) ในตัวอย่างชีร์มประมาณ 125 ไมโครลิตร ด้วยเทคนิค Enzyme linked Immunosorbent Assay (ELISA) โดยใช้ DIAMED CC16-ELISA kit (DiaMed Eurogen ประเทศเบลเยียม) โดยมีรายละเอียดดังนี้ เติมตัวอย่างชีร์มและสารละลายน้ำตรฐาน (standard solution) ลงใน microtiterstrip และแซะ microtiterstrip ในอ่างน้ำร้อนที่ตั้งอุณหภูมิที่ 37 องศาเซลเซียสนาน 120 นาที และล้างด้วย washing solution 2-3 ครั้ง จากนั้นเติม biotin-anti-CC16 conjugate และแซะในในอ่างน้ำร้อนที่ตั้งอุณหภูมิที่ 37 องศาเซลเซียสนาน 60 นาที ล้างด้วย washing solution และเติม streptavidin-HRP conjugate ล้างด้วย washing solution และเติม chromogen solution โดยตั้งไว้ที่อุณหภูมิห้องนาน 20 นาที และเติม stopping solution ใน microtiterstrip วัดระดับโปรตีน CC16 ด้วยเครื่อง Microplate Reader (SPECTRAmax Plus, Molecular Device ประเทศสหรัฐอเมริกา) ชี้งตั้งค่า absorbance ที่ 450 นาโนเมตร การวิเคราะห์ที่มีค่า limit of detection น้อยกว่า 50 pg/ml

3.6.6.2 การตรวจวัดระดับการแสดงออกของ interleukin-8 (IL-8) mRNA

ทำการแยก RNA จาก lymphocyte โดยใช้ RNeasy Mini Kit (Qiagen Inc. ประเทศสหรัฐอเมริกา) และตรวจวัดการแสดงออกของ IL-8 mRNA ด้วยเทคนิค Real time RT-PCR และ QuantiTect[®] SYBR[®] Green RT-PCR Kit (Qiagen Inc. ประเทศสหรัฐอเมริกา) โดยนำตัวอย่าง RNA ประมาณ 20 นาโนกรัมผสมกับ QuantiTect SYBR Green RT-PCR Master Mix, เอนไซม์ QuantiTect RT-Mix, IL-8 primer และ β-actin primer (internal control) ดังมีรายละเอียดตามเอกสารอ้างอิง[149-150] และเติมลงในหลอด capillaries และเพิ่มจำนวนด้วยเครื่อง LightCycler (Roche Diagnostics ประเทศเยอรมัน) เป็นจำนวน 40 cycle และคำนวนระดับการแสดงออกของ Interleukin-8 (IL-8) mRNA ด้วย LightCycler software version 4.05 และปรับค่าที่ได้ด้วยค่าการแสดงออกของ β-actin ชี้งแสดงผลออกเป็น IL-8 mRNA: β-actin ratio($\times 10^3$)

3.7 การวิเคราะห์ทางสถิติ

ทำการวิเคราะห์ข้อมูลทางสถิติด้วย SPSS software v.12 (SPSS Inc., ประเทศสหรัฐอเมริกา) เพื่อเปรียบเทียบระดับสารabenซีน บิวทาไಡอีน และไวนิลคลอไรด์ รวมทั้งระดับ

ของดัชนีชีวภาพการได้รับสัมผัส และดัชนีชีวภาพการเปลี่ยนแปลงในระยะเริ่มต้นของร่างกายของอาสาสมัครในพื้นที่ศึกษาที่เขตมหาตากับอาสาสมัครในพื้นที่ควบคุมหมู่บ้านซึ่งของแสมสารโดยใช้ Non-parametric Mann-Whitney U Test ซึ่งข้อมูลมีความแตกต่างอย่างมีนัยสำคัญทางสถิติ เมื่อ $P<0.05$

รายงานภาระดำเนินการวิจัย

ก้าวเดินที่สำคัญที่สุดคือการรู้
ว่าต้องเดินทางไป哪儿 1: หัวใจของ
ผู้คนที่ศรัทธาในความต้อง 2: วิถีชีวิตที่
มีความสุขในความสงบ 3: ความรักที่อ่อนโยน
และเมตตาที่ส่องประกายเจิดจรัส

គិតគោរកនាមពេជ្រាវតាមការណា

พนักงานทั้งหมด 112 คน
มีผู้ติดเชื้อ 50 คน

ՄԱՅԻՍՅԱՎՈՐԱԿԱՐԱԿԱՐԱ

การประเมินภาระไดร์บสาร (Exposure Assessment)

- ตัวชี้วัดระดับการถูก曝露**

(Biomarkers of Exposure)

 - ตัวชี้วัดระดับการถูก曝露โดยตรง (Direct Measurement)
 - ตัวชี้วัดระดับสารร้ายๆที่อยู่ภายใน
 - สารเคมีในร่างกาย
 - สารเคมีทางชีวภาพ
 - สารเคมีในน้ำเสื้อ
 - สารเคมีในน้ำเสียง
 - สารเคมีในอากาศ
 - ตัวชี้วัดระดับการถูก曝露โดยอ้อม (Indirect Measurement)
 - ตัวชี้วัดระดับสารร้ายๆที่อยู่ภายนอก
 - สารเคมีในอากาศ
 - สารเคมีในน้ำเสียง
 - สารเคมีในน้ำเสื้อ
 - สารเคมีในน้ำเสื้อ

ກາງວຽກພົນເປົ້າກະທົບສູງກາມ (Potential Health Effect Assessment)

- | ตารางจัดความสามารถในการซ่อมแซม DNA ที่เสียหาย | โครงสร้างของพิษภัยที่ทำลาย DNA (DNA Repair Capacity) | โครงสร้างของสารเคมีที่ทำลาย DNA (DNA Damage) | โครงสร้างของสารเคมีที่กระตุ้นการอักเสบ (Inflammatory Responses) |
|--|--|--|--|
| <ul style="list-style-type: none"> ตัวอย่างเช่นสารพิษในบะหมี่กุ้ง | <ul style="list-style-type: none"> ตัวอย่างเช่นสารพิษในบะหมี่กุ้ง | <ul style="list-style-type: none"> ตัวอย่างเช่น 8-Hydroxy-deoxyguanosine (8-OHdG) ตัวอย่างเช่น Exocyclic DNA-adduct ตัวอย่างเช่น DNA strand break | <ul style="list-style-type: none"> ตัวอย่างเช่น CCL6 ในเรือนแพ ตัวอย่างเช่น Interleukin-8 (IL-8) |

ผลการวิจัยและบทวิจารณ์

4. ผลการวิจัย

4.1 ข้อมูลเบื้องต้นของอาสาสมัครกลุ่มศึกษาและกลุ่มควบคุม

อาสาสมัครที่เข้าร่วมโครงการคัดเลือกตามหลักเกณฑ์ที่กำหนดมีจำนวน 162 คน ประกอบด้วย
กลุ่มศึกษา : อาสาสมัครในพื้นที่ศึกษาที่เขตมาบตาพุดจำนวน 112 คน ซึ่งแบ่งตามพื้นที่
ดังนี้

พื้นที่ศึกษาที่ 1 : อาสาสมัครในชุมชนหนองแฟบจำนวน 45 คน

พื้นที่ศึกษาที่ 2 : อาสาสมัครในชุมชนอิสลาม ชุมชนวัดโสภณและชุมชนซอยร่วมพัฒนา
จำนวน 67 คน

กลุ่มควบคุม : อาสาสมัครในพื้นที่ศึกษาหมู่บ้านแสมสารจำนวน 50 คน

ข้อมูลต่างๆของอาสาสมัครที่ได้รับจากแบบสอบถาม ดังรายละเอียดแสดงในตารางที่ 2 พบว่า

- **เพศ :** สัดส่วนของอาสาสมัครเพศชายและเพศหญิงในพื้นที่ศึกษาที่หมู่บ้านแสมสาร ใกล้เคียงกัน แต่อาสาสมัครในพื้นที่ศึกษาเขตมาบตาพุดมีเพศหญิงมากกว่าเพศชาย ประมาณ 4 เท่า
- **อายุ :** อาสาสมัครในพื้นที่ศึกษามาบตาพุดมีอายุเฉลี่ย 38.62 ± 1.03 ปี (17-51 ปี) และ ระยะเวลาที่อาศัยอยู่ในพื้นที่มีค่าเฉลี่ย 21.19 ± 1.29 ปี ขณะที่อายุเฉลี่ยของอาสาสมัคร ในพื้นที่ศึกษาหมู่บ้านแสมสารเท่ากับ 36.21 ± 0.85 ปี อาสาสมัครส่วนใหญ่อาศัยอยู่ใน พื้นที่เป็นเวลา 24.83 ± 1.47 ปี
- **อาชีพ :** อาสาสมัครส่วนใหญ่ประกอบอาชีพรับจ้างทั่วไปและประมงในหมู่บ้านแสมสารและ เป็นแม่บ้านในเขตพื้นที่มาบตาพุดทั้งสองแห่ง อาสาสมัครส่วนใหญ่ในแต่ละพื้นที่ศึกษา ไม่เกี่ยวข้องกับการใช้สารอินทรีย์ระเหยในการประกอบอาชีพ
- **การบริโภคอาหาร และการดื่มสุรา :** “ไม่มีความแตกต่างในเรื่อง พฤติกรรมการบริโภค อาหาร และการดื่มสุราระหว่างอาสาสมัครในพื้นที่ศึกษามาบตาพุดและพื้นที่ศึกษา หมู่บ้านแสมสาร
- **การสูบบุหรี่ :** สำหรับการตรวจสอบการสูบบุหรี่ของอาสาสมัคร ในกรณีศึกษานี้ทำการตรวจ ระดับสาร cotinine ในปัสสาวะ เพื่อคัดกรองการได้รับควันบุหรี่ (passive smoking) ของ อาสาสมัคร ซึ่งในการศึกษานี้พบว่าอาสาสมัครในพื้นที่มาบตาพุดและหมู่บ้านช่อง แสมสารตรวจระดับสาร cotinine ในปัสสาวะทั้งช่วงเช้าและบ่ายจำนวน 4 และ 3 คน ตามลำดับ ซึ่งตัวอย่างเลือดและปัสสาวะจากอาสาสมัครที่ตรวจพบระดับสาร cotinine จะ ไม่นำมาใช้ในการตรวจนิวเคลียร์ดัชนีชีวภาพทางชีวภาพต่างๆ
- **โรงงานอุตสาหกรรม :** พื้นที่ศึกษามาบตาพุดพบว่าโรงงานกลั่นน้ำมันตั้งอยู่ห่างจากบริเวณที่ อาสาสมัครอาศัยเป็นระยะทางเฉลี่ย 1.92 ± 0.11 กิโลเมตร

ตารางที่ 2 ข้อมูลเบื้องต้นของอาสาสมัครจำแนกตามเพศ อายุ อาชีพ ตามที่อยู่อาศัย การทำงาน สุขภาพ และพฤติกรรมการบริโภคของอาสาสมัครแต่ละพื้นที่ศึกษา

1. ข้อมูลเบื้องต้น

ข้อมูลเบื้องต้น	พื้นที่ศึกษา			
	หมู่บ้าน ชุมชนแสเมสาร	พื้นที่ศึกษา มหาดูร์บาน	พื้นที่ศึกษา มหาดูร์บัน 1	พื้นที่ศึกษา มหาดูร์บัน 2
<u>อาสาสมัคร (คน)</u>				
รวม	50 (100%)	112 (100%)	45 (40%)	67 (60%)
เพศชาย	22 (44%)	22 (20%)	7 (6%)	15 (13%)
เพศหญิง	28 (56%)	90 (80%)	38 (34%)	52 (47%)
<u>อายุ (ปี)</u>				
<20	0 (0%)	10 (9%)	7 (6%)	3 (3%)
21-30	15 (30%)	18 (16%)	7 (6%)	11 (10%)
31-40	16 (32%)	27 (24%)	13 (12%)	14 (12%)
41-50	18 (36%)	43 (39%)	13 (12%)	30 (27%)
>50	1 (2%)	14 (12%)	5 (4%)	9 (8%)
<u>อาชีพ (คน)</u>				
แม่บ้าน	7 (14%)	51 (46%)	23 (21%)	28 (25%)
รับจ้าง	18 (36%)	19 (16%)	9 (8%)	10 (8%)
ธุรกิจส่วนตัว	4 (8%)	32 (29%)	12 (10%)	20 (18%)
รัฐราชการ	4 (8%)	6 (5%)	0 (0%)	6 (6%)
เกษตรกรรม	0 (0%)	1 (1%)	0 (0%)	1 (1%)
ประมง	16 (32%)	0 (0%)	0 (0%)	0 (0%)
นักศึกษา	1 (2%)	3 (3%)	1 (1%)	2 (2%)

2. ข้อมูลที่อยู่อาศัย

ข้อมูลที่อยู่อาศัย	พื้นที่ศึกษา			
	หมู่บ้าน ชุมชน แสมสาร	พื้นที่ศึกษา นาบตาพุด รวม	พื้นที่ศึกษา นาบตาพุด 1	พื้นที่ศึกษา นาบตาพุด 2
<u>ระยะเวลาอยู่อาศัยในพื้นที่ศึกษา</u>				
น้อยกว่า 5 ปี	10 (20%)	28 (25.1%)	15(33.3%)	13(19.5%)
6-10 ปี	7 (14%)	8 (7.2%)	5 (11.3%)	3 (4.5%)
11-15 ปี	2 (4%)	16 (14.4%)	8 (17.7%)	8 (12%)
16-20 ปี	3 (6%)	24 (21.5%)	12(26.7%)	12 (18%)
21-25 ปี	5 (10%)	8 (7.2%)	2 (4.4%)	6 (9.0%)
26- 30 ปี	6 (12%)	6 (5.4%)	-	6 (9.0%)
มากกว่า 30 ปี	17 (34%)	22 (19.2%)	3 (6.6%)	19(28.0%)
<u>โรงงานในละแวกที่อยู่อาศัย</u>				
มี	3 (6%)	99 (88.4%)	37(82.2%)	62(92.5%)
ไม่มี	47 (94%)	13 (11.6%)	8 (17.8%)	5 (7.5%)
<u>ประเภทของโรงงาน</u>				
โรงกลั่นน้ำมัน	-	72 (64.3%)	17(37.8%)	55(82.1%)
โรงหล่อ/หลอม/กลึงโลหะ	-	7 (6.3%)	7 (15.6%)	-
อุปกรณ์/พนักงาน	-	5 (4.5%)	2 (4.4%)	3 (4.5%)
โรงเลื่อยไม้ ทำเฟอร์นิเจอร์	2 (4%)	8 (7.1%)	6 (15.3%)	2 (3.0%)
ไม่ระบุ	48 (96%)	20 (17.9%)	13(26.9%)	7 (10.4%)
<u>ระยะห่างจากโรงงานถึงที่พักอาศัย</u>				
น้อยกว่า 1 กิโลเมตร		-	-	-
1-5 กิโลเมตร		83 (74.1%)	28(62.2%)	55(82.1%)
6-10 กิโลเมตร		2 (1.8%)	1 (2.2%)	1 (1.5%)
ไม่ระบุ	50(100%)	27 (24.1%)	16(35.6%)	11(16.4%)

ข้อมูลที่อยู่อาศัย (ต่อ)	พื้นที่ศึกษา			
	หมู่บ้าน ชุมชน และสาร	พื้นที่ศึกษา นาบตาพุด รวม	พื้นที่ศึกษา นาบตาพุด 1	พื้นที่ศึกษา นาบตาพุด 2
	<u>ปัญหาสภาพแวดล้อมที่อยู่อาศัย</u>			
กลืน	14 (28%)	42 (37.5%)	13(28.9%)	29(43.3%)
ผุ่นละออง	8 (16%)	12 (10.7%)	4 (8.9%)	8 (11.9%)
เขม่าควันจากยานพาหนะ	7 (14%)	3 (2.7%)	1 (2.2%)	2 (3.0%)
กลืน และผุ่นละออง	1 (2%)	33 (29.5%)	16(35.6%)	17(25.4%)
กลืน และเขม่าควัน	3 (6%)	3 (2.7%)	1 (2.2%)	2 (3.0%)
กลืน ผุ่นละออง และ เขม่าควัน	6 (12%)	15 (13.4%)	7 (15.6%)	8 (11.9%)
ไม่ระบุ	11 (22%)	4 (3.6%)	3 (6.7%)	1 (1.5%)

3. ข้อมูลการทำงาน

ข้อมูลการทำงาน	พื้นที่ศึกษา			
	หมู่บ้าน ชุมชน แสเมสาร	พื้นที่ศึกษา มาบตาพุด รวม	พื้นที่ศึกษา มาบตาพุด 1	พื้นที่ศึกษา มาบตาพุด 2
<u>สถานที่ทำงาน</u>				
บ้าน	15 (30.0%)	42 (37.5%)	20 (44.4%)	22(32.9%)
บริษัทเอกชน	3 (6.0%)	10 (8.9%)	3 (6.7%)	7 (10.4%)
สถานที่ราชการ/โรงเรียน	9 (18.0%)	9 (8.0%)	1 (2.2%)	8 (11.9%)
ท่าเรือ/ตลาด	8 (16.0%)	5 (4.5%)	-	5 (7.5%)
วัด/สุหารา	3 (6.0%)	1 (0.9%)	-	1 (1.5%)
เรือประมง	8 (16.0%)	-	-	-
ไม่ระบุ	4 (8.0%)	45 (40.2%)	21 (46.7%)	24 (35.8%)
<u>ระยะทางระหว่างบ้านและที่ทำงาน</u>				
น้อยกว่า 2 กิโลเมตร	23 (46.0%)	28 (25.0%)	17 (37.8%)	11 16.4%)
3-5 กิโลเมตร	2 (4.0%)	8 (7.1%)	3 (6.7%)	5 (7.5%)
6-8 กิโลเมตร	1 (2.0%)	-	-	-
มากกว่า 8 กิโลเมตร	7 (14.0%)	8 (7.1%)	2 (4.4%)	6 (9.0%)
ไม่ระบุ	17 (34.0%)	68 (60.8%)	23 (51.1%)	45 (67.2%)
<u>การเดินทาง</u>				
ใช้รถประจำทาง	1 (2.0%)	6 (5.4%)	2 (4.4%)	4 (6.0%)
ใช้รถมอเตอร์ไซด์	16 (32.0%)	25 (22.3%)	7 (15.6%)	18 (26.9%)
ใช้รถยนต์ส่วนบุคคล	3 (6.0%)	5 (4.5%)	4 (8.9%)	1 (1.5%)
เดิน	13 (26.0%)	5 (4.5%)	2 (4.4%)	3 (4.5%)
เรือ	1 (2.0%)	-	-	-
ไม่ระบุ	16 (32.0%)	71 (63.4%)	30 (66.7%)	41 (61.2%)

ข้อมูลการทำงาน (ต่อ)	พื้นที่ศึกษา				
	หมู่บ้าน ชุมชน แสเมสาร	พื้นที่ศึกษา มาบตาพุด รวม	พื้นที่ศึกษา มาบตาพุด 1	พื้นที่ศึกษา มาบตาพุด 2	
<u>ระยะเวลาที่ใช้ในการเดินทาง</u>					
5-15 นาที	23 (46.0%)	20 (17.9%)	6 (13.3%)	14 (20.9%)	
15-30 นาที	3 (6.0%)	10 (8.9%)	3 (6.7%)	7 (10.4%)	
30-45 นาที	3 (6.0%)	4 (3.6%)	1 (2.2%)	3 (4.5%)	
45-60 นาที	5 (10.0%)	2 (1.8%)	-	2 (3.0%)	
ไม่ต้องเดินทาง	12 (24.0%)	66 (58.9%)	31 (68.9%)	35 (52.2%)	
ไม่ระบุ	4 (8.0%)	10 (8.9%)	4 (8.9%)	6 (9.0%)	
<u>ปัญหาสภาพแวดล้อมบริเวณที่ทำงาน</u>					
กลิ่น	11 (22.0%)	21 (18.7%)	7 (15.6%)	14 (20.8%)	
ฝุ่นละออง	7 (14.0%)	9 (8.0%)	4 (8.9%)	5 (7.4%)	
เขม่าควันจากยานพาหนะ	6 (12.0%)	4 (3.6%)	1 (2.2%)	5 (7.4%)	
กลิ่น และฝุ่นละออง	4 (8.0%)	11 (9.8%)	8 (17.8%)	3 (4.4%)	
กลิ่น และเขม่าควัน	2 (4.0 %)	1 (0.9 %)	-	1 (1.4%)	
ฝุ่นละอองและเขม่าควัน	1 (2.0 %)	2 (1.8 %)	-	2 (2.7%)	
กลิ่น ฝุ่นละออง และ เขม่าควัน	3 (6.0%)	7 (6.3%)	1 (2.2%)	6 (7.7%)	
ไม่ระบุ	16 (32.0%)	57 (50.9%)	24 (53.3%)	33 (48.2%)	
<u>ลักษณะการจราจรบริเวณที่ทำงาน</u>					
หนาแน่น	3 (6.0%)	14 (12.5%)	2 (4.4%)	12 (17.9%)	
ปานกลาง	17 (34.0%)	26 (23.2%)	10 (22.2%)	16 (23.9%)	
น้อย	19 (38.0%)	20 (17.9%)	10 (22.2%)	10 (14.9%)	
ไม่ระบุ	11 (22.0%)	52 (46.4%)	23 (51.1%)	29 (43.3%)	
<u>การใช้หัวปากป้องกัน</u>					
ใช้ทุกครั้งหรือเกือบทุกครั้ง	4 (8.0%)	5 (4.5%)	3 (6.6%)	2 (3.0%)	
ใช้นานๆครั้ง	2 (4.0%)	11 (9.8%)	5 (11.1%)	6 (9.0%)	
ไม่เคยใช้เลย	36 (72.0%)	49 (43.8%)	13 (28.9%)	36 (53.7%)	
ไม่ระบุ	8 (16.0%)	47 (42.0%)	24 (53.3%)	23 (34.3%)	

4. ข้อมูลสุขภาพ

ข้อมูลสุขภาพ	พื้นที่ศึกษา			
	หมู่บ้าน ชุมชน และสาร	พื้นที่ศึกษา นาบตาพุด รวม	พื้นที่ศึกษา นาบตาพุด 1	พื้นที่ศึกษา นาบตาพุด 2
<u>มีโรคประจำตัวหรือไม่</u>				
มี	18 (36%)	48 (42.9%)	19 (42.2%)	29 (43.3%)
ไม่มี	32 (64%)	64 (57.1%)	26 (57.8%)	38 (56.7%)
<u>ประเภทของโรคประจำตัว</u>				
โรคหัวใจ/ความดันโลหิต	3 (6%)	12 (10.7%)	3 (6.7%)	9 (13.4%)
โรคตับ	-	1 (0.9%)	-	1 (1.5%)
โรคทางเดินอาหาร	3 (6%)	8 (7.1%)	5 (11.1%)	3 (4.5%)
โรคระบบประสาท/ไมเกรน	1 (2%)	9 (8.0%)	4 (8.9%)	5 (7.5%)
โรคระบบทางเดินหายใจ	2 (4%)	1 (0.9%)	-	1 (1.5%)
โรคภูมิแพ้	5 (10%)	9 (8.0%)	4 (8.9%)	5 (7.5%)
โรคระบบต่อมไร้ท่อ	3 (6%)	5 (4.5%)	2 (4.4%)	3 (4.5%)
โรคโลหิต	33 (66%)	3 (2.7%)	1 (2.2%)	2 (3.0%)
ไม่ระบุ		64 (57.1%)	26 (57.8%)	38 (56.7%)
<u>มีการใช้ยา/กินยาเป็นประจำหรือไม่</u>				
มี	22 (44%)	42 (37.5%)	12 (26.7%)	30 (44.8%)
ไม่มี	28 (56%)	70 (62.5%)	33 (73.3%)	37 (55.2%)
<u>ยาที่ใช้เป็นประจำ</u>				
ยาแก้ปวด	8 (16%)	11 (9.8%)	4 (8.9%)	7 (10.4%)
ยาแก้หวัด / ยาแก้แพ้	7 (14%)	5 (4.5%)	2 (4.6%)	3 (4.5%)
ยาดม / ยาหม่อง	1 (2%)	4 (3.6%)	-	4 (6.0%)
อื่น ๆ	6 (12%)	22 (19.6%)	7 (15.8%)	15 (22.4%)
ไม่ระบุ	28 (56%)	70 (62.5%)	32 (70.7%)	38 (56.7%)

ข้อมูลสุขภาพ(ต่อ)	พื้นที่ศึกษา			
	หมู่บ้าน ชุมชน แสมสาร	พื้นที่ศึกษา นาบตาพุด รวม	พื้นที่ศึกษา นาบตาพุด 1	พื้นที่ศึกษา นาบตาพุด 2
	ความป่วยของการรับประทานยา/ใช้ยา			
ทุกวัน	5 (10%)	18 (16.1%)	6 (13.3%)	12 (17.9%)
วันเว้นวัน	1 (2%)	1 (0.9%)	-	1 (1.5%)
ทุก ๆ 2 วัน	2 (4%)	2 (1.8%)	-	2 (3.0%)
อื่น ๆ	14 (28%)	22 (19.6%)	7 (15.6%)	15 (22.4%)
ไม่ระบุ	28 (56%)	69 (61.6%)	32 (71.1%)	37 (55.2%)

5. ข้อมูลพฤติกรรมการบริโภคและการดื่มสุรา

ข้อมูลพฤติกรรมการบริโภค	พื้นที่ศึกษา			
	หมู่บ้าน ชุมชน แสมสาร	พื้นที่ศึกษา นาบตาพุด รวม	พื้นที่ศึกษา นาบตาพุด 1	พื้นที่ศึกษา นาบตาพุด 2
<u>การรับประทานอาหารปิ้งย่าง</u>				
ทุกวัน	6 (12%)	9 (8.0%)	6 (13.3%)	3 (4.5%)
มากกว่า 2 ครั้งต่อสัปดาห์	7 (14%)	22 (19.6%)	12 (26.7%)	10 (14.9%)
นาน ๆ ครั้ง	26 (52%)	59 (52.7%)	21 (46.7%)	38 (56.7%)
ไม่ระบุ	11 (22%)	22 (19.6%)	6 (13.3%)	16 (23.9%)
<u>การรับประทานอาหารทอด</u>				
ทุกวัน	19 (38%)	27 (24.1%)	17 (37.8%)	10 (14.9%)
มากกว่า 2 ครั้งต่อสัปดาห์	20 (40%)	40 (35.7%)	13 (28.9%)	27 (40.3%)
นาน ๆ ครั้ง	7 (14%)	34 (30.4%)	10 (22.2%)	24 (35.8%)
ไม่ระบุ	4 (8%)	11 (9.8%)	5 (11.1%)	6 (9.0%)
<u>การรับประทานอาการหมักดอง</u>				
ทุกวัน	8 (16%)	13 (11.6%)	6 (13.3%)	7 (10.4%)
มากกว่า 2 ครั้งต่อสัปดาห์	5 (10%)	8 (7.1%)	2 (4.4%)	6 (9.0%)
นาน ๆ ครั้ง	17 (34%)	45 (40.2%)	21 (46.7%)	24 (35.8%)
ไม่ระบุ	20 (40%)	46 (41.1%)	16 (35.6%)	30 (44.8%)
<u>วิตามิน และอาหารเสริม</u>				
กิน	4 (8%)	21 (18.8%)	4 (8.9%)	17 (25.4%)
ไม่กิน	46 (92%)	91 (81.3%)	41 (91.1%)	50 (74.6%)

ข้อมูลพฤติกรรมการบริโภค(ต่อ)	พื้นที่ศึกษา				
	หมู่บ้าน ชุมชน แสเมสาร	พื้นที่ศึกษา นาบตาพุด รวม	พื้นที่ศึกษา นาบตาพุด 1	พื้นที่ศึกษา นาบตาพุด 2	
<u>การดื่มสุรา</u>					
ดื่ม	29 (58%)	17 (15.2%)	11 (24.4%)	6 (9.0%)	
ไม่ดื่ม	21 (42%)	95 (84.8%)	34 (75.6%)	61 (91.0%)	
<u>เริ่มดื่มอายุ</u>					
15-25 ปี	13 (26%)	12 (10.8%)	7 (15.5%)	5 (7.5%)	
26-35 ปี	9 (18%)	5 (4.5%)	3 (6.6%)	2 (3.0%)	
มากกว่า 35 ปี	1 (2%)	3 (2.7%)	2 (4.4%)	1 (1.5%)	
ไม่ระบุ	27 (54%)	92 (82.1%)	33 (73.5%)	59 (88.1%)	
<u>ลักษณะการดื่ม</u>					
ประจำ	10 (20%)	5 (4.5%)	3 (6.7%)	2 (3.0%)	
มากกว่า 1 ครั้งต่อเดือน	8 (16%)	6 (5.4%)	4 (8.9%)	2 (3.0%)	
น้อยกว่า 1 ครั้งต่อเดือน	11 (22%)	8 (7.1%)	5 (11.1%)	3 (4.5%)	
ไม่ระบุ	21 (42%)	93 (83.0%)	33 (73.3%)	60 (89.6%)	
<u>ชนิดของสุราที่ดื่มเป็นประจำ</u>					
เหล้า/ยาดองเหล้า	6 (12%)	5 (4.5%)	4 (8.9%)	1 (1.5%)	
เบียร์	14 (28%)	14 (12.5%)	8 (17.8%)	6 (9.0%)	
อื่น ๆ	9 (18%)	1 (0.9%)	-	1 (1.5%)	
ไม่ระบุ	21 (42%)	92 (82.1%)	33 (73.3%)	59 (88.1%)	
<u>ปริมาณที่ดื่มประจำ</u>					
1 ถ้วยชา	1 (2%)	-	-	-	
1 แก้วน้ำ	10 (20%)	9 (8.0%)	6 (13.3%)	3 (4.5%)	
1 ขวด	11 (22%)	5 (4.5%)	3 (6.7%)	2 (3.0%)	

ข้อมูลพฤติกรรมการบริโภค(ต่อ)	พื้นที่ศึกษา			
	หมู่บ้าน ชุมชน แสมสาร	พื้นที่ศึกษา นาบตาพุด รวม	พื้นที่ศึกษา นาบตาพุด 1	พื้นที่ศึกษา นาบตาพุด 2
	<u>ปริมาณที่ดื่มประจำ</u> มากกว่า 1 ขวด ไม่ระบุ เลิกดื่มแล้วหรือไม่ ยังคงดื่มอยู่ เลิกดื่มแล้ว ไม่ระบุ	6 (12%) 22 (44%) 2 (4%) 27 (54%) 21 (42%)	6 (5.4%) 92 (82.1%) 2 (1.8%) 18 (16.1%) 92 (82.1%)	3 (6.7%) 33 (73.3%) 2 (4.4%) 10 (22.2%) 33 (73.3%)

4.2 การประเมินการได้รับสัมผัสสาร (Exposure Assessment)

4.2.1 การประเมินระดับการได้รับสัมผัสสารโดยตรง (Direct Measurement)

4.2.1.1 ระดับสารเบนซีน มีวิทยาไดอีน และไวนิลคลอไรด์ในอากาศในบริเวณที่อยู่อาศัยในชุมชน

ระดับการปนเปื้อนของสารอินทรีย์ระเหยง่ายทั้ง 3 ชนิดในอากาศทำการตรวจวัดโดยการเก็บตัวอย่างอากาศในบริเวณชุมชนและที่พักอาศัยซึ่งอยู่ห่างจากถนนประมาณ 200 เมตรในพื้นที่ศึกษามาบตาพุดจำนวน 16 แห่งและหมู่บ้านแสมสารจำนวน 8 แห่ง เป็นเวลา 8 ชั่วโมง

สารเบนซีน

ระดับสารเบนซีนในอากาศในพื้นที่มาบตาพุด ($7.03 \pm 0.31 \text{ } \mu\text{g}/\text{m}^3$) ต่ำกว่าระดับที่พบในหมู่บ้านช่องแสมสาร ($8.01 \pm 0.93 \text{ } \mu\text{g}/\text{m}^3$) ซึ่งไม่มีอุตสาหกรรม ระดับสารเบนซีนในอากาศในพื้นที่มาบตาพุดมีค่าใกล้เคียงกับระดับที่ตรวจพบในบริเวณรอบเขตอุตสาหกรรมต่างๆ ในประเทศไทยได้ทั้ง ($5.86-25.84 \text{ } \mu\text{g}/\text{m}^3$) [151] แต่มากกว่าที่พบในเขตอุตสาหกรรมของประเทศไทยอื่นๆ เช่น เท่ากับ $2.26 \text{ } \mu\text{g}/\text{m}^3$ (ค่าเฉลี่ยรายปีระหว่างปี 2001-2003) [152] อย่างไรก็ตาม ระดับสารเบนซีนที่พบในพื้นที่มาบตาพุดและหมู่บ้านช่องแสมสารเป็นระดับที่ต่ำกว่าที่ตรวจพบในบริเวณทั่วๆ ไป (back ground level) ซึ่งอาจเกิดจากการเผาไหม้ของน้ำมันเชื้อเพลิงที่มีสารเบนซีโนยู่ โดยระดับที่ต่ำกว่าที่ตรวจพบมีค่าน้อยกว่าระดับสารเบนซีนในอากาศในเมืองใหญ่ที่มีปัญหาการจราจร เช่น ในกรุงเทพมหานครตรวจพบระดับสารเบนซีนในอากาศบริเวณที่มีการจราจรหนาแน่นสูงถึง $33.71 \text{ } \mu\text{g}/\text{m}^3$ [27]

สารบีวิทยาไดอีน

สำหรับระดับสารบีวิทยาไดอีนในอากาศ พื้นที่มาบตาพุดและหมู่บ้านช่องแสมสารตรวจพบระดับสารบีวิทยาไดอีนใกล้เคียงกัน (0.05 และ $0.04 \text{ } \mu\text{g}/\text{m}^3$ ตามลำดับ) ซึ่งมีค่าใกล้เคียงกับระดับที่ตรวจพบในอาคารสำนักงาน ($0.04 \text{ } \mu\text{g}/\text{m}^3$) [138] แต่ต่ำกว่าระดับเฉลี่ยรายปีที่พบในบริเวณรอบอุตสาหกรรมในประเทศไทยปัจจุบันและในอากาศทั่วๆ ไป รวมทั้งบริเวณที่มีการจราจรหนาแน่นคือ 0.31 , 0.42 และ $0.22 \text{ } \mu\text{g}/\text{m}^3$ [64]

สารไวนิลคลอไรด์

สารไวนิลคลอไรด์ในอากาศ ตรวจพบ ในพื้นที่ศึกษามาบตาพุดที่ 2 เพียงแห่งเดียว โดยระดับที่ตรวจพบในการศึกษานี้มีค่าอยู่ในระดับ $3.89 \pm 0.03 \text{ } \mu\text{g}/\text{m}^3$ ขณะที่ไม่พบสารไวนิลคลอไรด์ในหมู่บ้านช่องแสมสาร การปนเปื้อนของสารไวนิลคลอไรด์ในอากาศ ส่วนใหญ่มีสาเหตุจากอุตสาหกรรม เนื่องจากสารไวนิลคลอไรด์ไม่ได้เกิดขึ้นเองตามธรรมชาติ จากการศึกษาพบว่าระดับสารไวนิลคลอไรด์ที่ระเหยจากหลุมกลบฝังกากของเสีย หรือแหล่งกำจัดของเสียแพร่เข้าสู่อากาศมีค่าสูงถึง $230 \text{ } \mu\text{g}/\text{m}^3$ [99]

อย่างไรก็ตาม ระดับสารเบนซีนที่ตรวจพบในการศึกษานี้มีค่าสูงกว่าค่ามาตรฐานรายปี ($1.7 \mu\text{g}/\text{m}^3$) และค่าฝ้าระวังใน 24 ชั่วโมง ($7.6 \mu\text{g}/\text{m}^3$) ตามประกาศคณะกรรมการสิ่งแวดล้อมแห่งชาติฉบับที่ 30 (พ.ศ. 2550) ขณะที่ระดับสารบิวท่าไดอีนและไวนิลคลอไรด์ที่ตรวจพบไม่เกินค่ามาตรฐานรายปี ($0.33 \mu\text{g}/\text{m}^3$ และ $10 \mu\text{g}/\text{m}^3$ ตามลำดับ) และค่าฝ้าระวังใน 24 ชั่วโมง ($5.3 \mu\text{g}/\text{m}^3$ และ $20 \mu\text{g}/\text{m}^3$ ตามลำดับ)

ตารางที่ 3 ระดับสารบนชีน บิวทาไดอีน และไวนิลคลอไรด์ในอากาศในบริเวณชุมชนที่อยู่อาศัยจำแนกตามพื้นที่ศึกษามาบตาพุด และหมู่บ้านช่องแสมสาร

พื้นที่ศึกษา	ระดับสารอินทรีย์ระเหยในอากาศ ($\mu\text{g}/\text{m}^3$)			อุณหภูมิ (เซลเซียส)	ความชื้นสัมพัทธ์ (%)
	สาร บนชีน	สาร บิวทาไดอีน	สาร ไวนิลคลอไรด์		
หมู่บ้านช่อง	8.01±0.93	0.04±0.03	ND	31.84±0.68	69.29 ± 3.00
แสมสาร (8 แห่ง)	7.56 (5.02-13.19)	ND (ND-0.05)			
พื้นที่ มาบตาพุด (16 แห่ง)	7.03±0.31 (5.75-9.83)	0.05±0.01 (ND-0.10)	3.89±0.03 (ND-3.95)	32.70 ± 0.41	59.50 ± 0.49
พื้นที่ มาบตาพุดที่ 1 (6 แห่ง)	6.60 (5.76-7.27)	0.04 (ND-0.01)	ND	33.57 ± 1.28	55.35 ± 3.35
พื้นที่ มาบตาพุดที่ 2 (10 แห่ง)	7.38±0.45 (5.75-9.83)	0.05±0.01 (ND-0.10)	3.89±0.03 (ND-3.95)	32.84 ± 0.54	58.55 ± 2.06

ข้อมูลแสดงผลเป็นค่าเฉลี่ย±ค่าความคลาดเคลื่อนมาตรฐาน และค่ามัธยฐาน (ค่าต่ำสุด-ค่าสูงสุด)

ND = Non-detectable

การเก็บตัวอย่างอากาศ ทำการติดตั้งแท่งเก็บอากาศในบริเวณชุมชนห่างจากถนนหลักประมาณ 100-200 เมตร โดยเก็บตัวอย่างอากาศเป็นเวลา 8 ชั่วโมง (8.00 -16.00 น.)

4.2.1.2 ระดับสารเบนซีน บิวทาไดอีนและไวนิลคลอไรด์ในแต่ละบุคคล

การประเมินระดับการได้รับสัมผัสสารเบนซีน บิวทาไดอีนและไวนิลคลอไรด์ในแต่ละบุคคลของอาสาสมัคร ทำโดยตรวจวิเคราะห์ตัวอย่างอากาศที่เก็บโดยใช้แท่งเก็บอากาศติดบริเวณหายใจของอาสาสมัครในพื้นที่ศึกษาที่มหาบตาพุดจำนวน 112 คนและพื้นที่ควบคุมหมู่บ้านช่องแสมสารจำนวน 50 คน เป็นเวลา 8 ชั่วโมง

4.2.1.2.1 ระดับการได้รับสัมผัสสารเบนซีนในแต่ละบุคคล

ผลการวิเคราะห์ระดับสารเบนซีนในแต่ละบุคคลจากตัวอย่างอากาศที่เก็บจากอาสาสมัครพบว่า ระดับสารเบนซีนที่อาสาสมัครในพื้นที่ศึกษามหาบตาพุดมีโอกาสได้รับจากการหายใจมีค่าเฉลี่ยเท่ากับ $8.16 \pm 0.26 \text{ } \mu\text{g}/\text{m}^3$ โดยอาสาสมัครในพื้นที่ศึกษามหาบตาพุดที่ 1 และ 2 ได้รับสัมผัสสารเบนซีนในอากาศเท่ากับ $7.45 \pm 0.29 \text{ } \mu\text{g}/\text{m}^3$ และ $8.64 \pm 0.38 \text{ } \mu\text{g}/\text{m}^3$ ตามลำดับ ซึ่งมีค่าใกล้เคียงกับระดับที่ตรวจพบในอาสาสมัครในพื้นที่มหาบตาพุดใกล้เคียงกับระดับที่พบในพนักงานที่ทำงานในสำนักงานที่ไม่เกี่ยวข้องกับการใช้สารอินทรีย์ระเหยในประเทศไทย (6 และ $9 \text{ } \mu\text{g}/\text{m}^3$) [29] แต่สูงกว่าเด็กนักเรียนในโรงเรียนต่างจังหวัดที่ไม่มีปัญหาการจราจร $2.54 \text{ } \mu\text{g}/\text{m}^3$ [33] อย่างไรก็ตาม ระดับที่ตรวจพบในอาสาสมัครพื้นที่มหาบตาพุดน้อยกว่าระดับสารเบนซีนที่ผู้ค้าขายริมถนนในกรุงเทพมหานครซึ่งได้รับจากไอเสียรถยนต์ รวมทั้งพระและแม่น้ำที่อาศัยอยู่ในวัดห่างจากถนน 500 เมตรถึง 1.5-3 เท่า [27]

สำหรับพื้นที่ศึกษามหาบตาพุดพบว่าอาสาสมัครที่มีพักอาศัยอยู่ห่างจากเขตอุตสาหกรรมมากกว่า 5 กิโลเมตรขึ้นไปได้รับสารเบนซีนจากอากาศ ($11.76 \pm 4.85 \text{ } \mu\text{g}/\text{m}^3$) สูงกว่าอาสาสมัครที่พักอาศัยในชุมชนที่ห่างจากเขตอุตสาหกรรมอยู่ระหว่าง 3-5 กิโลเมตร ($9.13 \pm 1.16 \text{ } \mu\text{g}/\text{m}^3$) และน้อยกว่า 3 กิโลเมตร ($8.01 \pm 0.30 \text{ } \mu\text{g}/\text{m}^3$) ตามลำดับ (รูปที่ 9B) โดยที่พักอาศัยของอาสาสมัครส่วนใหญ่ตั้งอยู่ห่างจากถนนหลักประมาณ 100-200 เมตร

4.2.1.2.2 ระดับการได้รับสัมผัสสารบิวทาไดอีนในแต่ละบุคคล

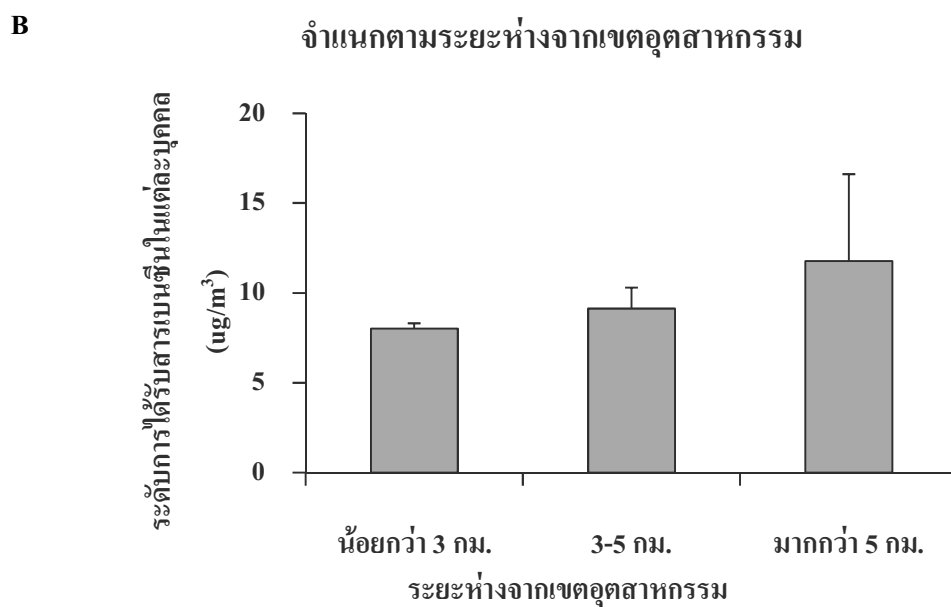
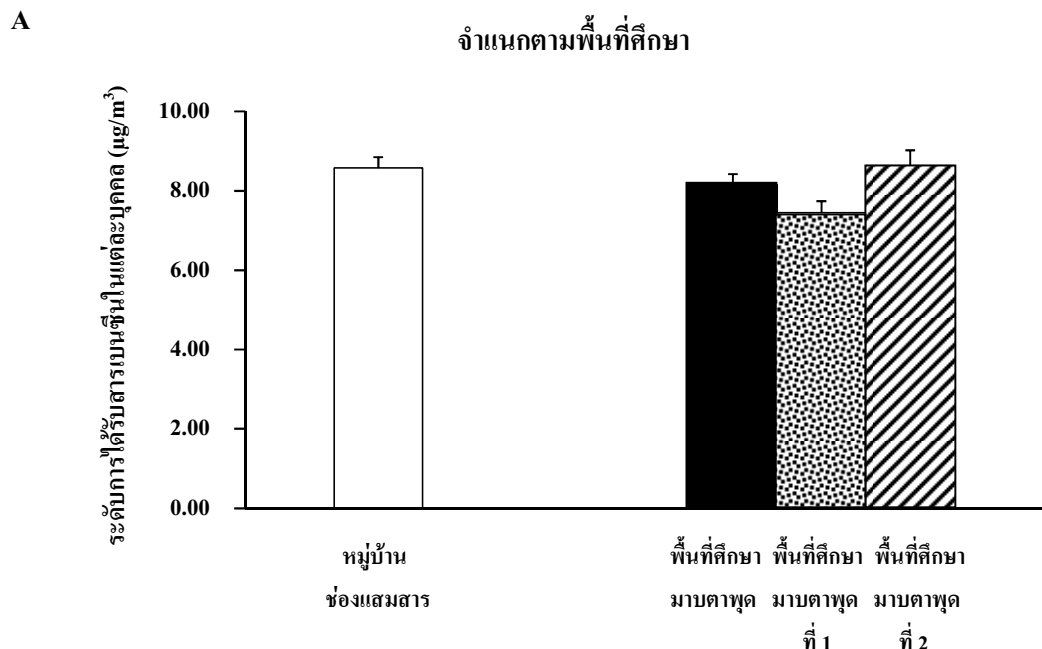
การวิเคราะห์ตัวอย่างอากาศเพื่อตรวจจับการได้รับสารบิวทาไดอีนของอาสาสมัคร พบว่าอาสาสมัครในพื้นที่ศึกษามหาบตาพุด มีค่าเฉลี่ยการได้รับสารบิวทาไดอีนเท่ากับ $0.06 \pm 0.006 \text{ } \mu\text{g}/\text{m}^3$ โดยอาสาสมัครในพื้นที่ศึกษามหาบตาพุดที่ 2 ได้รับสัมผัสสารบิวทาไดอีนในอากาศ ($0.07 \pm 0.008 \text{ } \mu\text{g}/\text{m}^3$) สูงกว่าอาสาสมัครในพื้นที่ศึกษามหาบตาพุดที่ 1 ($0.04 \pm 0.005 \text{ } \mu\text{g}/\text{m}^3$) อย่างไรก็ตาม ระดับสารบิวทาไดอีนที่อาสาสมัครพื้นที่มหาบตาพุดได้รับใกล้เคียงกับระดับการได้รับสารบิวทาไดอีนของอาสาสมัครหมู่บ้านช่องแสมสาร ($0.06 \pm 0.01 \text{ } \mu\text{g}/\text{m}^3$) และพบว่าระดับที่วัดได้ต่ำกว่าระดับที่ตรวจพบในคนที่ได้รับสารบิวทาไดอีนเนื่องจากการเผาไหม้ในอาคาร ($0.18 \text{ } \mu\text{g}/\text{m}^3$) และในคนที่ไม่ได้สูบบุหรี่ในประเทศไทย ($0.4 \text{ } \mu\text{g}/\text{m}^3$) [154-155] รวมทั้งต่ำกว่าระดับที่ตรวจวัดได้ในบรรยากาศบริเวณกรุงเทพมหานคร ($0.15 \text{--} 9.62 \text{ } \mu\text{g}/\text{m}^3$)

เมื่อจำแนกตามระยะห่างจากเขตอุตสาหกรรมในพื้นที่ศึกษามาบตาพุดพบว่าอาสาสมัครที่มีที่พักอาศัยอยู่ห่างจากเขตอุตสาหกรรมมากกว่า 5 กิโลเมตรขึ้นไปได้รับสารบิวทาได้อีกจากอากาศ ($0.35\pm0.005 \mu\text{g}/\text{m}^3$) น้อยกว่าอาสาสมัครที่พักอาศัยในชุมชนที่ห่างจากเขตอุตสาหกรรมอยู่ระหว่าง 3-5 กิโลเมตร ($0.53\pm0.012 \mu\text{g}/\text{m}^3$) และน้อยกว่า 3 กิโลเมตร ($0.58\pm0.006 \mu\text{g}/\text{m}^3$) ตามลำดับ (รูปที่ 10B)

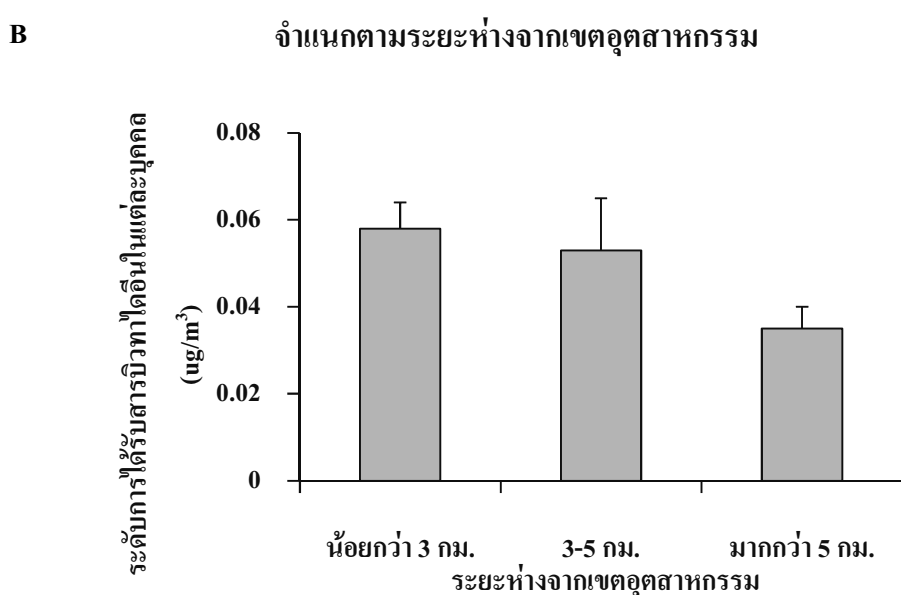
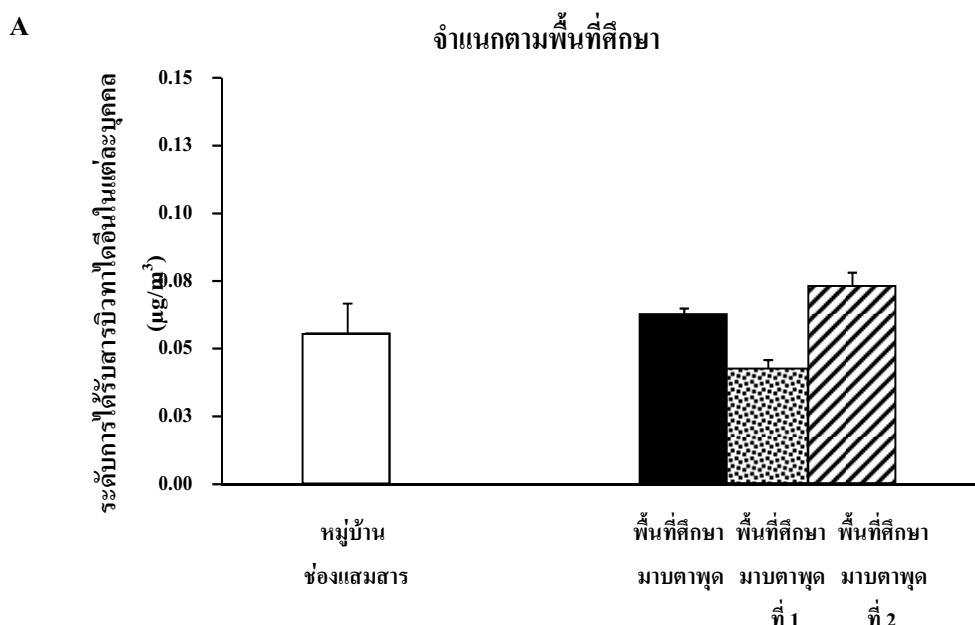
4.2.1.2.3 ระดับการได้รับสัมผัสสารไวนิลคลอไรด์ในแต่ละบุคคล

ผลการวิเคราะห์การได้รับสัมผัสสารไวนิลคลอไรด์ในแต่ละบุคคล พบว่า อาสาสมัครในพื้นที่หมู่บ้านช่องแสมสารและอาสาสมัครในพื้นที่ศึกษามาบตาพุดที่ 1 ไม่ได้รับสัมผัสสารไวนิลคลอไรด์จากอากาศ ขณะที่อาสาสมัครในพื้นที่มาบตาพุด 2 จำนวน 15 คนได้รับสารไวนิลคลอไรด์จากอากาศซึ่งมีค่าเฉลี่ยเท่ากัน $3.85 \mu\text{g}/\text{m}^3$ (รูปที่ 11A) เมื่อเปรียบเทียบประชากรทั้ง 2 กลุ่มแล้วพบว่า การได้รับสารไวนิลคลอไรด์ของอาสาสมัครในพื้นที่มาบตาพุดที่ 2 เป็นไปอย่างไม่ต่อเนื่อง และอยู่ในระดับซึ่งต่างกันกว่าค่ามาตรฐาน

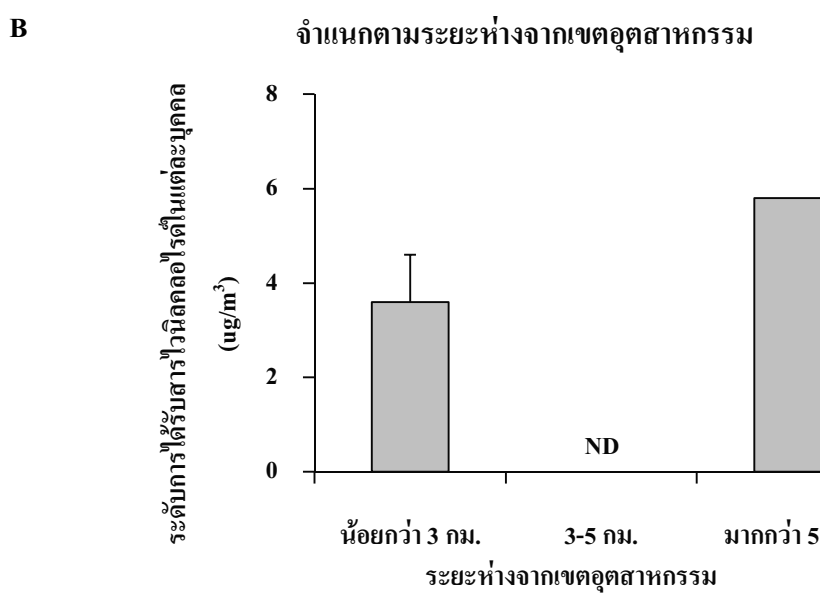
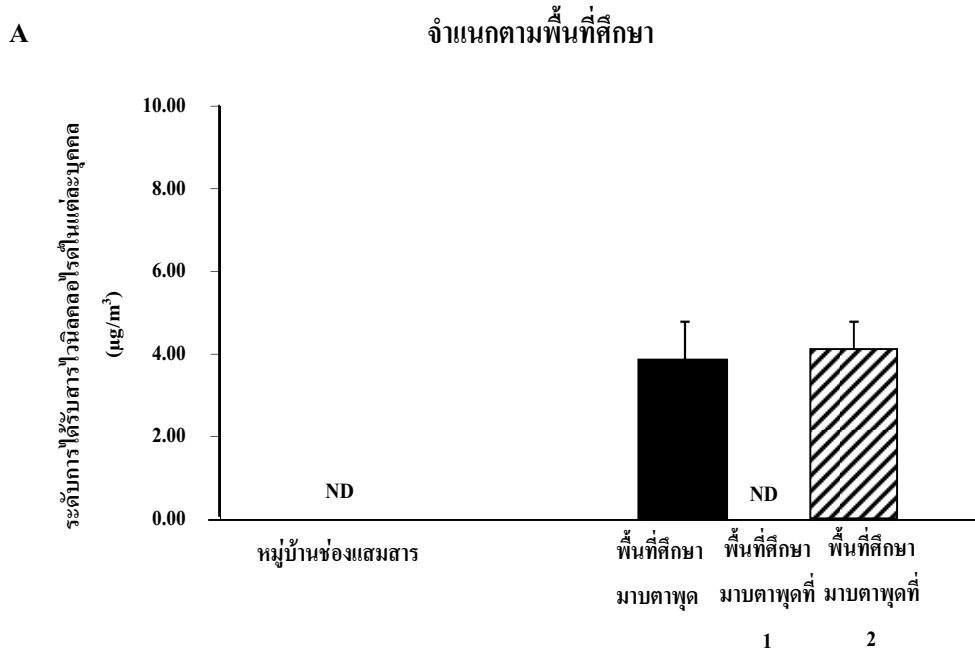
สำหรับพื้นที่ศึกษามาบตาพุดตรวจพบว่า อาสาสมัครที่มีที่พักอาศัยอยู่ห่างจากเขตอุตสาหกรรมมากกว่า 5 กิโลเมตรขึ้นไปได้รับสารไวนิลคลอไรด์จากอากาศ ($5.80 \mu\text{g}/\text{m}^3$) สูงกว่า อาสาสมัครที่พักอาศัยในชุมชนที่ห่างจากเขตอุตสาหกรรมน้อยกว่า 3 กิโลเมตร ($3.59\pm1.01 \mu\text{g}/\text{m}^3$) อย่างไรก็ตาม ไม่พบอาสาสมัครที่อาศัยในที่พักซึ่งห่างจากเขตอุตสาหกรรมระหว่าง 3-5 กิโลเมตร ได้รับสัมผัสสารไวนิลคลอไรด์จากอากาศ (รูปที่ 11B)



รูปที่ 9. ระดับการได้รับสัมผัสสารบนชีนในแต่ละบุคคลของอาสาสมัคร
จำแนกตามพื้นที่ศึกษา (A) และระยะห่างจากเขตอุตสาหกรรม (B)



รูปที่ 10. ระดับการได้รับสารบิวท่าไดอีนในแต่ละบุคคลของอาสาสมัคร
จำแนกตามพื้นที่ศึกษา (A) และระยะห่างจากเขตอุตสาหกรรม (B)



รูปที่ 11. ระดับการได้รับสัมผัสสารไวนิลคลอไรด์ในแต่ละบุคคลของอาสาสมัคร
จำแนกตามพื้นที่ที่ก่อฯ (A) และระยะห่างจากเขตอุตสาหกรรม (B)

การประเมินการได้รับ⁴
สารเบนซีน บิวทาไดอีน และไวนิลคลอไรด์เข้าสู่ร่างกาย
โดยใช้ดัชนีชีวภาพของการรับสัมผัส
(Biomarkers of Exposure)

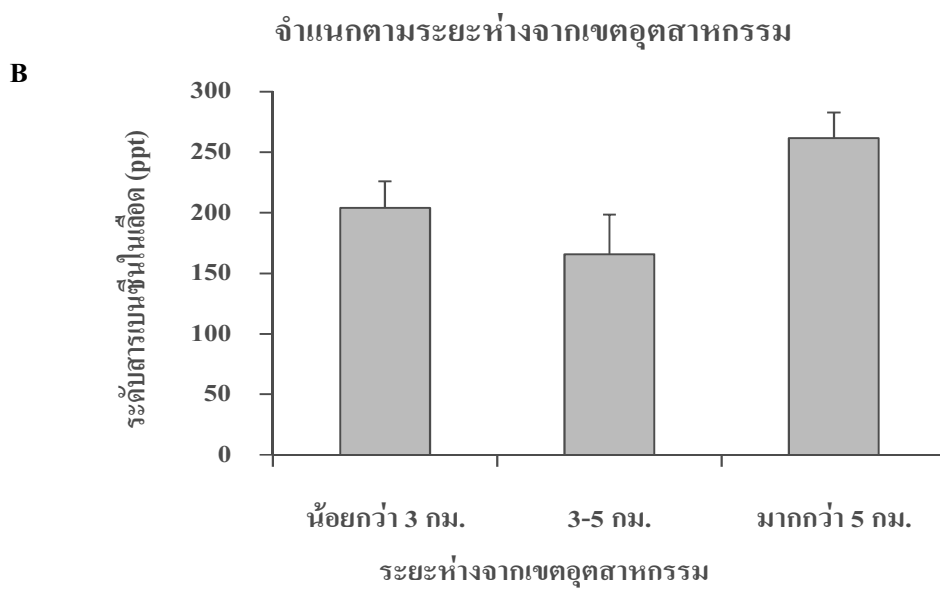
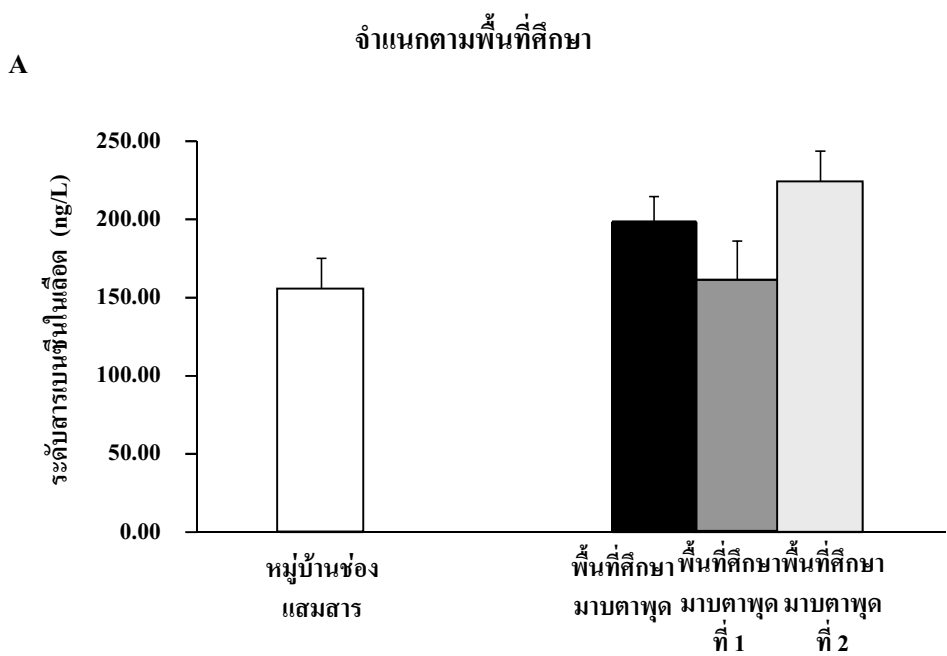
4.3 การประเมินการได้รับสารเ奔ชีน มิวทาไดอีนและไวนิลคลอไรด์เข้าสู่ร่างกาย โดยใช้ดัชนีชีวภาพของการรับสารเ奔ชีน (Biomarkers of Exposure)

4.3.1 ระดับสารเ奔ชีนในเลือด

ระดับสารเ奔ชีนในตัวอย่างเลือด เป็นดัชนีชีวภาพทางชีวภาพของการได้รับสารเ奔ชีนเข้าสู่ร่างกาย การศึกษาครั้งนี้ทำการวิเคราะห์ระดับสารเ奔ชีนในเลือดของอาสาสมัครในพื้นที่ศึกษามาบตาพุดจำนวน 109 ตัวอย่าง และในพื้นที่หมู่บ้านซ่องแสมสารจำนวน 48 ตัวอย่าง

ผลการตรวจพบว่าค่าเฉลี่ยระดับสารเ奔ชีนในเลือดของอาสาสมัครในพื้นที่ศึกษามาบตาพุด ($198.65 \pm 15.96 \text{ ng/L}$) สูงกว่าระดับสารเ奔ชีนในเลือดของอาสาสมัครพื้นที่หมู่บ้านซ่องแสมสาร ($154.26 \pm 20.73 \text{ ng/L}$) เมื่อจำแนกตามพื้นที่ศึกษาในพื้นที่หมู่บ้านซ่องแสมสารจำนวน 109 ตัวอย่าง พบว่าระดับสารเ奔ชีนในเลือดที่ตรวจพบในทุกพื้นที่มีค่าใกล้เคียงกับระดับที่ตรวจพบในประชาชนทั่วไปที่ไม่ได้ทำงานเกี่ยวกับสารเ奔ชีนทั้งในเมืองและชนบท (200 และ 296 ng/L)

อย่างไรก็ตาม พบร่วมกับระดับสารเ奔ชีนในเลือดของอาสาสมัครที่พักอาศัยอยู่ห่างจากเขตอุตสาหกรรมมากกว่า 5 กิโลเมตรขึ้นไป ($261.55 \pm 21.18 \text{ ng/L}$) สูงกว่าระดับที่ตรวจพบในเลือดของอาสาสมัครที่พักอาศัยในชุมชนที่ห่างจากเขตอุตสาหกรรมน้อยกว่า 3 กิโลเมตร ($204.07 \pm 22.07 \text{ ng/L}$) และอยู่ระหว่าง $3-5$ กิโลเมตร ($165.59 \pm 32.81 \text{ ng/L}$) ตามลำดับ แสดงว่าการได้รับสารเ奔ชีนของอาสาสมัครในพื้นที่ศึกษานี้ไม่สัมพันธ์กับการอาศัยในเขตอุตสาหกรรม ระดับสารเ奔ชีนในเลือดที่สูงมากขึ้นในอาสาสมัครอาจเนื่องจากอาสาสมัครได้รับสารเ奔ชีนจากการแหล่งอื่นๆ นอกจากการปนปอนสารเ奔ชีนในอากาศ เช่นการได้รับสารเ奔ชีนจากการสัมผัสผ่านผิวหนังจากการใช้ผลิตภัณฑ์ที่มีสารเ奔ชีนเป็นองค์ประกอบ จากการรับประทานอาหารและนำที่มีการปนเปื้อนของสารเ奔ชีน เป็นต้น [28]



รูปที่ 12. ระดับสาร arsenic ในเลือดของอาสาสมัครจำแนกตามพื้นที่ศึกษา (A)
และระยะห่างระหว่างที่พักอาศัยและเขตอุตสาหกรรม (B)

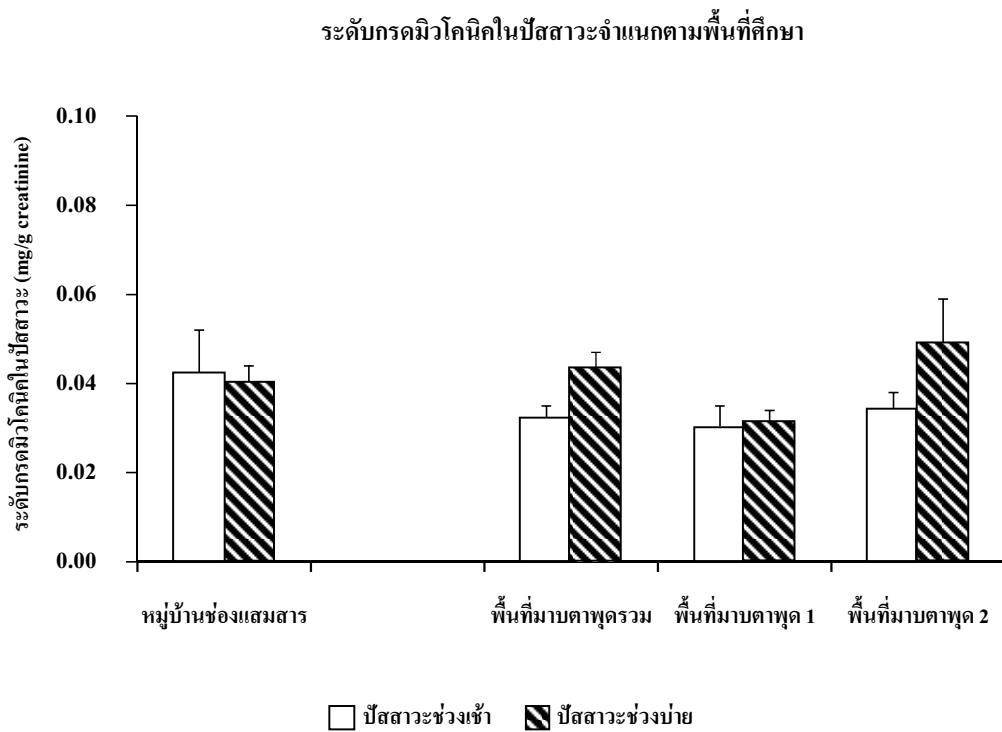
4.3.2 ระดับกรดมิวโคนิก ในปัสสาวะ

การศึกษานี้ทำการวิเคราะห์ระดับกรดมิวโคนิกในปัสสาวะของอาสาสมัครในพื้นที่ศึกษา nabata พุ่ดจำนวน 218 ตัวอย่างและในหมู่บ้านช่องแสเมสารจำนวน 96 ตัวอย่าง

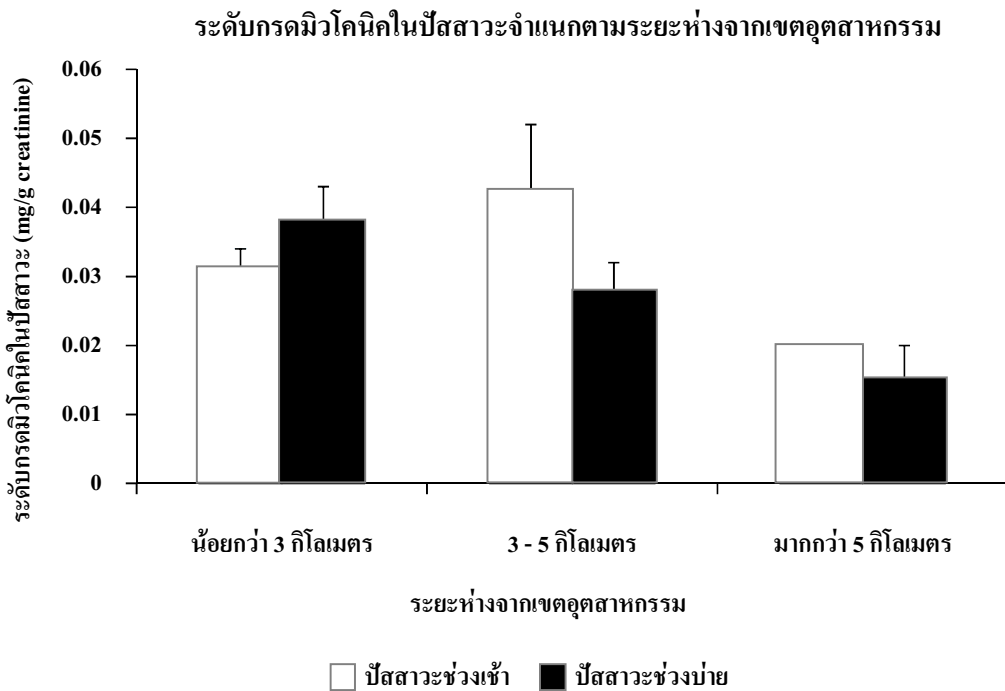
กรดมิวโคนิกเป็นสารเมตาโบไลท์ของสารเบนซีนถูกขับออกทางปัสสาวะ และสามารถนำมาใช้ในการประเมินการได้รับสารเบนซีนจากอากาศในระดับต่ำเนื่องจากมีความจำเพาะเจาะจงสูง โดยทั่วไปค่าครึ่งชีวิตของกรดมิวโคนิกเท่ากับ 12.8 ชั่วโมง [160] ผลการวิเคราะห์ตัวอย่างปัสสาวะพบว่าระดับกรดมิวโคนิกในปัสสาวะทั้งในช่วงบ่ายและช่วงเช้าของอาสาสมัครพื้นที่ nabata พุ่ด (0.03 และ 0.04 mg/g creatinine ตามลำดับ) และหมู่บ้านช่องแสเมสาร (0.04 และ 0.04 mg/g creatinine ตามลำดับ) มีค่าใกล้เคียงกัน (รูปที่ 13 A) ซึ่งระดับที่พบมีค่าใกล้เคียงกับระดับที่ตรวจพบในกลุ่มประชากรทั่วไปได้แก่ พระและแม่ชี เด็กนักเรียนในโรงเรียนต่างจังหวัดและคุณงานในสำนักงานที่ไม่ได้รับสัมผัสสารเบนซีนซึ่งมีระดับกรดมิวโคนิกในปัสสาวะระหว่าง 0.04 และ 0.08 mg/g creatinine [27] แต่ระดับกรดมิวโคนิกในปัสสาวะของอาสาสมัครในพื้นที่ศึกษา nabata พุ่ดต่ำกว่าระดับที่ตรวจพบในคนไม่สูบบุหรี่ที่ทำงานในกรุงเทพมหานคร (0.24 mg/g creatinine) และชาวประมงในจังหวัดชลบุรี (0.18 mg/g creatinine) [161, 162]

อย่างไรก็ตามเมื่อจำแนกตามระยะห่างจากเขตอุตสาหกรรม พบว่า ระดับกรดมิวโคนิกในปัสสาวะช่วงเช้าของอาสาสมัครที่พักอาศัยอยู่ห่างจากเขตอุตสาหกรรมระหว่าง 3-5 กิโลเมตร (0.042 ± 0.010 mg/g creatinine) สูงกว่าระดับที่ตรวจพบในปัสสาวะช่วงเดียวกันของอาสาสมัครที่พักอาศัยในชุมชนที่ห่างจากเขตอุตสาหกรรมน้อยกว่า 3 กิโลเมตร (0.031 ± 0.003 mg/g creatinine) และมากกว่า 5 กิโลเมตร (0.020 ± 0.000 mg/g creatinine) ตามลำดับ นอกจากนี้พบว่าระดับกรดมิวโคนิกในปัสสาวะช่วงบ่ายของอาสาสมัครลดลงตามระยะห่างจากเขตอุตสาหกรรม ดังแสดงในรูปที่ 13B

A



B



รูปที่ 13.

ระดับกรดมิวโคนิกในปัสสาวะของอาสาสมัคร

จำแนกตามพื้นที่ศึกษา (A) และระยะห่างจากเขตอุตสาหกรรม (B)

4.3.3 ระดับสารเมตาโน่ไลท์ Monohydroxy-butenyl mercapturic acid (MHBMA) ในปัสสาวะ

ระดับสาร 1,2-monohydroxybutyl mercapturic acid (MHBMA; MII) เป็นสารเมตาโน่ไลท์ของสารบิวทาไดอีนที่เกิดจากการรวมตัวกันของ Butadiene monoepoxide และ Glutathione ซึ่ง MHBMA มีความจำเพาะเจาะจงสูง จึงสามารถนำมาใช้ในการประเมินการได้รับสารบิวทาไดอีนจากการประกอบอาชีพ [7,27,68-69,163] และจากประชาชนทั่วไปที่มีโอกาสได้รับสารบิวทาไดอีนจากการลavageแวดล้อม เช่นควันสูบบุหรี่ [142,164] ดังนั้นสาร MHBMA มีความแม่นยำในการประเมินการได้รับสารบิวทาไดอีนได้ดี [165]

การศึกษาที่ทำการวิเคราะห์สาร MHBMA ในปัสสาวะของอาสาสมัครในพื้นที่ศึกษามาบตาพุดจำนวน 218 ตัวอย่างและอาสาสมัครหมู่บ้านช่องแสมสารจำนวน 96 ตัวอย่าง ผลการตรวจวัดพบว่าระดับของสาร MHBMA ในปัสสาวะช่วงเข้าของอาสาสมัครทั้งหมดในพื้นที่ศึกษามาบตาพุด (0.056 ± 0.004 mg/g creatinine) ต่ำกว่าระดับที่ตรวจพบได้ในช่วงเวลาเดียวกันของอาสาสมัครในหมู่บ้านช่องแสมสาร (0.109 ± 0.036 mg/g creatinine) แต่ระดับสาร MHBMA ในปัสสาวะช่วงบ่ายของอาสาสมัครพื้นที่ศึกษามาบตาพุดและหมู่บ้านช่องแสมสารมีค่าใกล้เคียงกัน

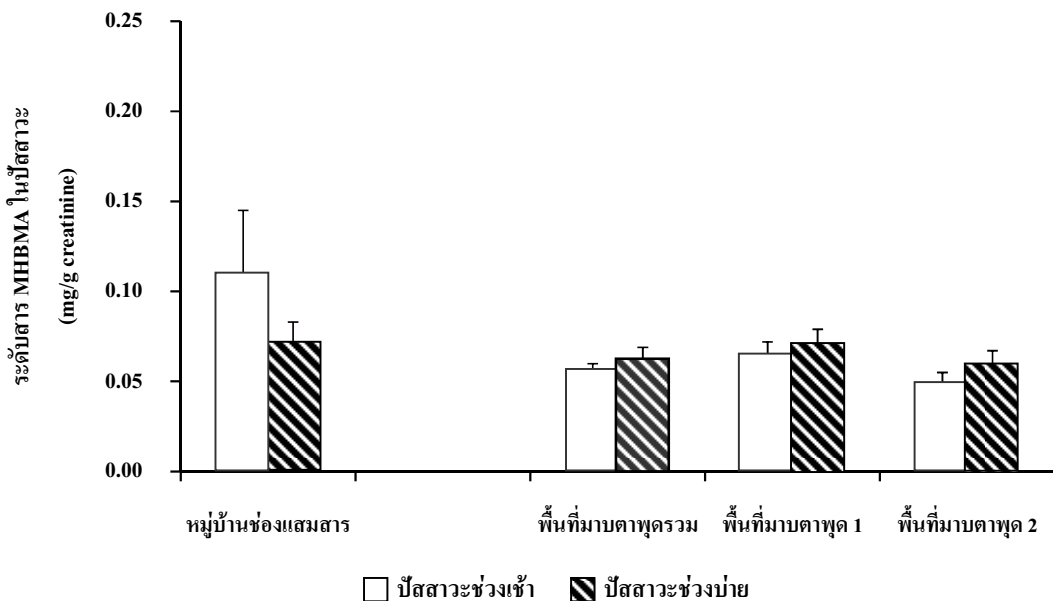
เมื่อจำแนกตามพื้นที่ศึกษามาบตาพุดพบว่าระดับสาร MHBMA ในปัสสาวะช่วงเข้าของอาสาสมัครในหมู่บ้านช่องแสมสารมีค่าสูงกว่าระดับที่ตรวจพบในพื้นที่ศึกษามาบตาพุดที่ 1 (0.065 ± 0.007 mg/g creatinine) และพื้นที่ศึกษามาบตาพุด 2 (0.049 ± 0.006 mg/g creatinine) ขณะที่ระดับ MHBMA ในปัสสาวะช่วงบ่ายของอาสาสมัครในพื้นที่ศึกษามาบตาพุดที่ 2 (0.057 ± 0.010 mg/g creatinine) ต่ำกว่าระดับที่ตรวจพบในปัสสาวะของอาสาสมัครในพื้นที่ศึกษามาบตาพุดที่ 1 (0.070 ± 0.009 mg/g creatinine) ดังแสดงในรูปที่ 14A

เมื่อจำแนกตามระยะห่างจากเขตอุตสาหกรรมในพื้นที่ศึกษามาบตาพุด ตรวจบรรดับ MHBMA ในปัสสาวะช่วงเข้าและบ่ายของอาสาสมัครที่พักอาศัยอยู่ห่างจากเขตอุตสาหกรรมน้อยกว่า 3 กิโลเมตร สูงกว่าระดับที่ตรวจพบในปัสสาวะของอาสาสมัครที่อาศัยอยู่ห่างจากเขตอุตสาหกรรมระหว่าง 3-5 กิโลเมตร และมากกว่า 5 กิโลเมตร ตามลำดับ ดังแสดงในรูปที่ 14B

การที่ระดับ MHBMA ในปัสสาวะช่วงเข้าของอาสาสมัครในหมู่บ้านช่องแสมสารสูง อาจเกิดจากการเปลี่ยนแปลงสารบิวทาไดอีนให้เป็น MHBMA ยังไม่เสร็จสมบูรณ์ภายหลังการได้รับสาร 48 ชั่วโมง ทำให้ค่าเฉลี่ยของค่าครึ่งชีวิตในการกำจัดออกของ MHBMA ยาวกว่า 9 ชั่วโมงขึ้นไป จากเหตุนี้อาจทำให้เกิดการสะสมของ MHBMA ในปัสสาวะช่วงเข้าได้ [165] และจากการศึกษาในประเทศไทยพบว่าคนงานที่ไม่เกี่ยวข้องกับการได้รับสารบิวทาไดอีนนั้นระดับ MHBMA ในปัสสาวะช่วงเข้า (0.06 mg/g creatinine) มีค่าต่ำกว่าระดับที่ตรวจพบในอาสาสมัครในหมู่บ้านช่องแสมสาร แต่ในปัสสาวะช่วงบ่าย (0.08 mg/g creatinine) สูงกว่าระดับที่ตรวจพบในอาสาสมัครทั้ง 2 พื้นที่ [27]

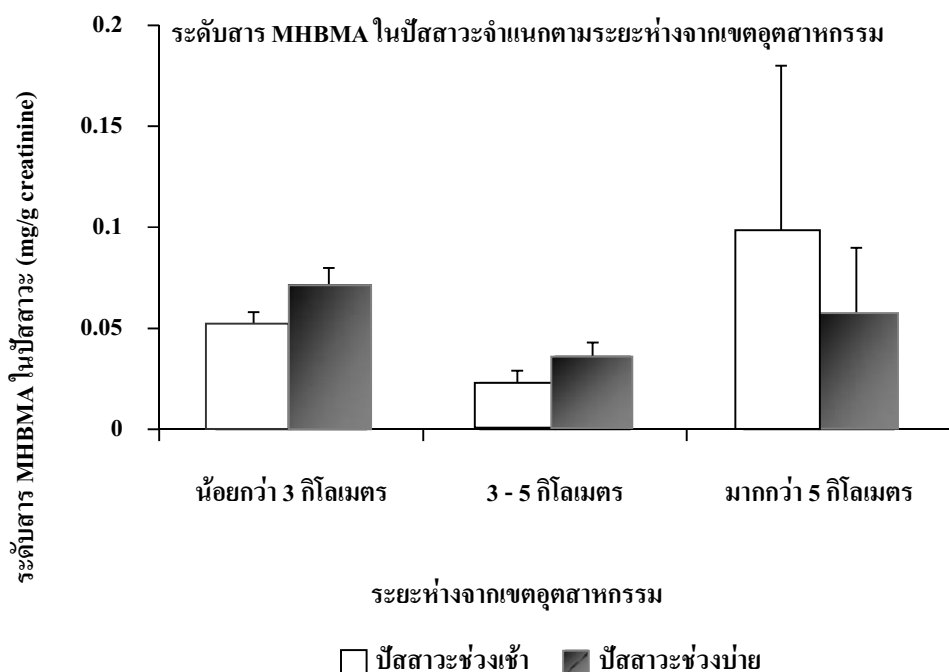
A

ระดับสาร MHBMA ในปัสสาวะจำแนกตามพื้นที่ศึกษา



B

ระดับสาร MHBMA ในปัสสาวะจำแนกตามระยะห่างจากเขตอุตสาหกรรม



รูปที่ 14.

ระดับสาร MHBMA ในปัสสาวะของอาสาสมัคร

จำแนกตามพื้นที่ศึกษา (A) และระยะห่างจากเขตอุตสาหกรรม (B)

4.3.4 ระดับสารเมตาโบไลท์ S-carboxymethyl-L-cysteine (SCMC) ในปัสสาวะ

ระดับสาร S-carboxymethyl-L-cysteine (SCMC) เป็นสารเมตาโบไลท์ของสารไวนิลคลอไรด์ที่ถูกขับออกมายังปัสสาวะ ซึ่ง SCMC ถูกเปลี่ยนแปลงโดยกระบวนการ transamination และ oxidative decarboxylation ให้เป็น thiodiglycolic acid (TdGA) ซึ่งถูกขับออกทางปัสสาวะเช่นกัน [166] สาร SCMC สามารถใช้ในการประเมินการได้รับสารไวนิลคลอไรด์จากการประกอบอาชีพ [12,107]

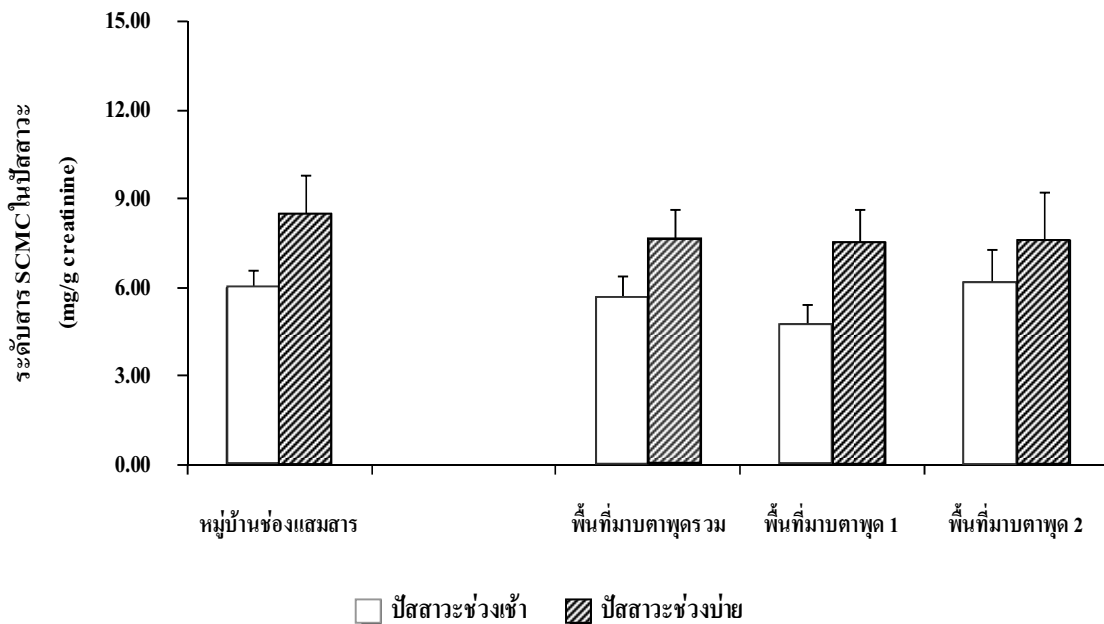
การศึกษานี้ทำการวิเคราะห์ของสาร SCMC ในปัสสาวะของอาสาสมัครในพื้นที่ศึกษา nabata พุดจำนวน 218 ตัวอย่างและในหมู่บ้านช่องแสเมสารจำนวน 96 ตัวอย่างพบว่าระดับสาร SCMC ในปัสสาวะช่วงเข้าของอาสาสมัครในหมู่บ้านช่องแสเมสารมีค่าเฉลี่ยกับ $5.95 \pm 0.63 \text{ mg/g creatinine}$ ซึ่งใกล้เคียงกับระดับที่ตรวจพบในพื้นที่ศึกษา nabata พุด ($5.63 \pm 0.73 \text{ mg/g creatinine}$) ขณะที่ระดับ SCMC ในปัสสาวะช่วงบ่ายในอาสาสมัครในพื้นที่ศึกษา nabata พุดที่ 1 ($7.56 \pm 1.07 \text{ mg/g creatinine}$) และพื้นที่ศึกษา nabata พุดที่ 2 ($7.56 \pm 1.67 \text{ mg/g creatinine}$) ดังแสดงในรูปที่ 15A

เมื่อจำแนกตามระยะห่างจากเขตอุตสาหกรรม พบร่วมระดับ SCMC ในปัสสาวะช่วงเข้าของอาสาสมัครที่พักอาศัยอยู่ห่างจากเขตอุตสาหกรรมน้อยกว่า 3 กิโลเมตร ($5.79 \pm 1.07 \text{ mg/g creatinine}$) สูงกว่าระดับที่ตรวจพบในปัสสาวะของอาสาสมัครที่อาศัยอยู่ห่างจากเขตอุตสาหกรรมระหว่าง 3-5 กิโลเมตร ($4.44 \pm 0.62 \text{ mg/g creatinine}$) และมากกว่า 5 กิโลเมตร ($1.35 \pm 0.17 \text{ mg/g creatinine}$) ตามลำดับ และระดับ SCMC ในปัสสาวะช่วงบ่ายของอาสาสมัครที่อาศัยอยู่ห่างจากเขตอุตสาหกรรมน้อยกว่า 3 กิโลเมตร สูงกว่าระดับที่ตรวจพบในปัสสาวะช่วงบ่ายของอาสาสมัครที่อาศัยห่างจากเขตอุตสาหกรรมระหว่าง 3-5 กิโลเมตร และมากกว่า 5 กิโลเมตร เช่นเดียวกัน (รูปที่ 15B)

อย่างไรก็ตามขาดข้อมูลเกี่ยวกับระดับ SCMC ในกลุ่มคนงานที่ได้รับสารไวนิลคลอไรด์จากการประกอบอาชีพ การศึกษาในกลุ่มคนงานในโรงงานผลิต PVC ที่ได้รับสารไวนิลคลอไรด์มากกว่า 5 ppm พบร่วมมีความสัมพันธ์ระหว่างการได้รับสารไวนิลคลอไรด์และระดับ TdGA ในปัสสาวะอย่างมีนัยสำคัญทางสถิติ [12,107] นอกจากนี้ มีรายงานว่าทั้งสาร SCMC และ TdGA สามารถตรวจพบในปัสสาวะของคนที่ได้รับยา cyclophosphamide, N-acetylcysteine (NAC) หรือได้รับสัมผัสสาร 2-chloroethanol, 2-bromoacetic acid, chloroacetic acid, 1,2-dichloroethane, 1,2-dibromomethane, 1,1,2-trichloroethane รวมทั้งได้รับจากวิตามินต่างๆ เช่น วิตามินบี 12 และโฟเลท เป็นต้น [166-169] ดังนั้นระดับสาร SCMC ที่สามารถตรวจพบในปัสสาวะของอาสาสมัครซึ่งไม่สัมพันธ์กับระดับการได้รับสารไวนิลคลอไรด์อาจมีสาเหตุจากการรับสัมผัสสารชนิดอื่นๆ

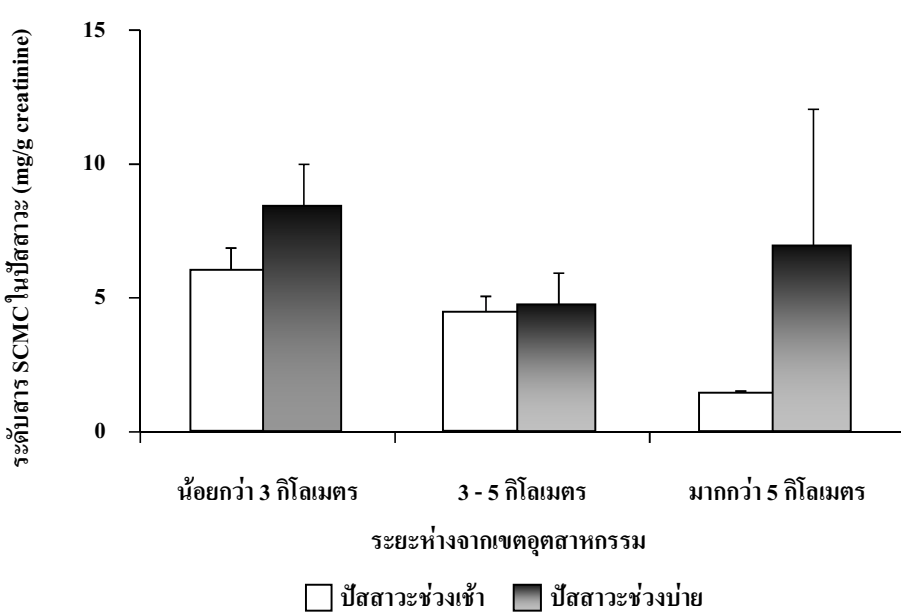
A

ระดับสาร SCMC ในปัสสาวะจำแนกตามพื้นที่ศึกษา



B

ระดับสาร SCMC ในปัสสาวะจำแนกตามระยะห่างจากเขตอุตสาหกรรม



รูปที่ 14.

ระดับสาร SCMC ในปัสสาวะของอาสาสมัคร

จำแนกตามพื้นที่ศึกษา (A) และระยะห่างจากเขตอุตสาหกรรม (B)

การประเมินผลกระทบต่อสุขภาพเบื้องต้น
โดยใช้ดัชนีชีวภาพของการเปลี่ยนแปลงในระยะเริ่มต้น
(Biomarker of Early Biological Effects)

4.4 การประเมินการเปลี่ยนแปลงในระยะเริ่มต้นโดยใช้ดัชนีชีวภาพ (Biomarker of early biological effects)

ดัชนีชีวภาพการเปลี่ยนแปลงในระยะเริ่มต้น เป็นการวัดการเปลี่ยนแปลงที่เป็นผลมาจากการเคมีหรือสารเมตาโบไลท์ที่ทำปฏิกิริยากับโมเลกุลขนาดใหญ่ภายในเซลล์ เช่น DNA หรือโปรตีน ทำให้โครงสร้างของ DNA หรือโปรตีนเปลี่ยนแปลงไป และการเปลี่ยนแปลงนี้ทำให้เกิดความผิดปกติในระบบต่างๆ ของร่างกายซึ่งอาจนำไปสู่กระบวนการเกิดมะเร็ง การเปลี่ยนแปลงที่เกิดขึ้นได้แก่การเห็นียวน่าให้เกิดความผิดปกติของสารพันธุกรรม เช่น การเกิด 8-Hydroxy-2'-deoxyguanosine (8-OHdG) และการเกิด Etheno adducts จากภาวะ lipid peroxidation รวมทั้งการเกิดการแตกทำลายของสารพันธุกรรม (DNA strand breaks)

4.4.1. ระดับ 8-Hydroxy-2'-deoxyguanosine (8-OHdG)

8-OHdG สามารถชี้วัดการเกิด Oxidative DNA damage ซึ่งระดับ 8-OHdG ในเซลล์สามารถบ่งชี้ถึง ระดับความเสียหายที่เกิดขึ้นที่สารพันธุกรรม DNA อย่างไรก็ตามร่างกาย มีเอนไซม์หลายชนิดในการซ่อมแซมความผิดปกติบน DNA ซึ่งเอนไซม์ดังกล่าวทำการกำจัด 8-OHdG บน DNA และขับออกทางปัสสาวะ ดังนั้นระดับ 8-OHdG ในปัสสาวะจึงเป็นผลผลิตของการซ่อมแซมที่สะท้อนให้เห็นถึงความสมดุลระหว่างความเสียหายที่เกิดขึ้นกับอัตราการซ่อมแซม ผลการศึกษาวิจัยระบุว่า 8-OHdG ที่เกิดขึ้นถ้าไม่ได้รับการซ่อมแซมสามารถทำให้เกิดการเปลี่ยนแปลงของรหัสพันธุกรรมที่ทำให้เกิดการกลายพันธุ์ เหตุนี้ 8-OHdG จึงสามารถใช้เป็นดัชนีชีวภาพที่สำคัญในการประเมินความเสี่ยงของการเกิดมะเร็งได้จากการได้รับสารก่อการกลายพันธุ์หรือสารก่อมะเร็งได้

4.4.1.1 ระดับ 8-Hydroxy-2'-deoxyguanosine (8-OHdG) ในเซลล์เม็ดเลือดขาว

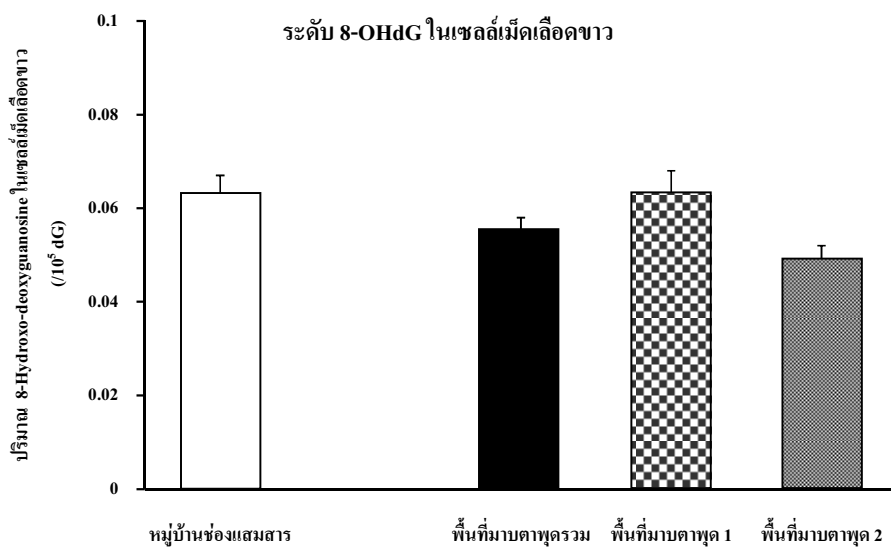
จากการวิเคราะห์ตัวอย่างเลือดจากอาสาสมัครในพื้นที่นาบตาพุดจำนวน 107 ตัวอย่าง และหมู่บ้านช่องแสมสารจำนวน 47 ตัวอย่าง พบร่วมระดับ 8-OHdG ในเซลล์เม็ดเลือดขาวของอาสาสมัครในหมู่บ้านช่องแสมสาร ($0.063 \pm 0.0004 / 10^5$ dG) สูงกว่าระดับ 8-OHdG ในเซลล์เม็ดเลือดขาวของอาสาสมัครในพื้นที่นาบตาพุด ($0.055 \pm 0.003 / 10^5$ dG)

เมื่อจำแนกตามพื้นที่ศึกษา พบร่วมระดับ 8-OHdG ในเซลล์เม็ดเลือดขาวของอาสาสมัครในพื้นที่ศึกษามาบตาพุด 2 ($0.049 \pm 0.003 / 10^5$ dG) ต่ำกว่าระดับ 8-OHdG ที่ตรวจพบในอาสาสมัครของพื้นที่ศึกษา มาบตาพุด 1 ($0.063 \pm 0.005 / 10^5$ dG) และหมู่บ้านช่องแสมสาร ($0.063 \pm 0.0004 / 10^5$ dG) ดังแสดงในรูปที่ 16

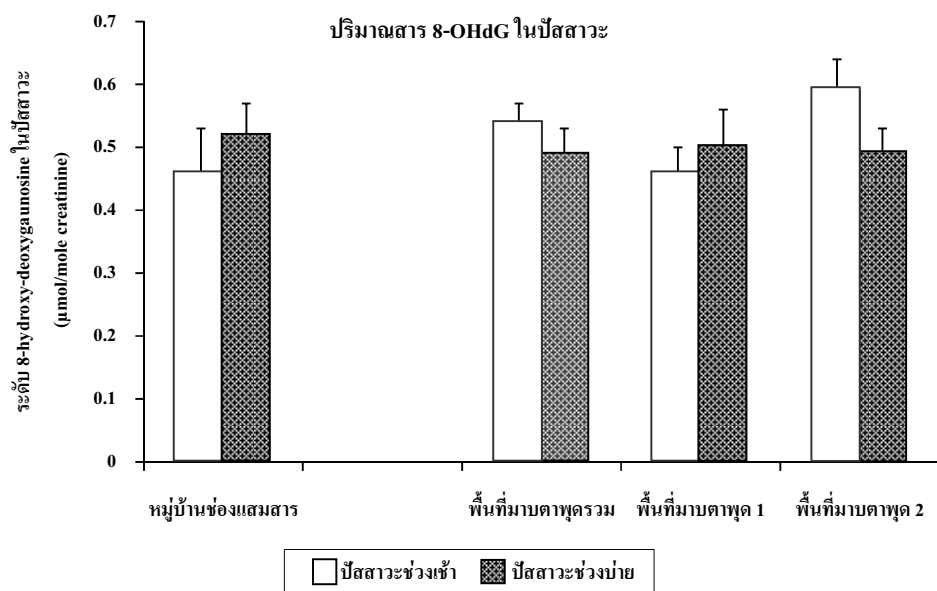
4.4.1.2 ระดับ 8-Hydroxy-2'-deoxyguanosine (8-OHdG) ในปัสสาวะ

ผลการวิเคราะห์ตัวอย่างปัสสาวะช่วงเช้าและช่วงบ่ายจากอาสาสมัครในพื้นที่มาบตาพุดจำนวน 215 ตัวอย่าง และหมู่บ้านช่องแสเมสารจำนวน 96 ตัวอย่าง (รูปที่ 17) พบว่าระดับ 8-OHdG ในปัสสาวะช่วงเช้าของอาสาสมัครในหมู่บ้านช่องแสเมสาร ($0.59 \pm 0.06 \text{ } \mu\text{mol/mol creatinine}$) ใกล้เคียงกับระดับ 8-OHdG ในปัสสาวะช่วงเวลาเดียวกันของอาสาสมัครในพื้นที่ศึกษามาบตาพุด ($0.54 \pm 0.03 \text{ } \mu\text{mol/mol creatinine}$) ขณะที่ระดับ 8-OHdG ในปัสสาวะช่วงบ่ายของอาสาสมัครในพื้นที่ศึกษามาบตาพุด ($0.49 \pm 0.04 \text{ } \mu\text{mol/mol creatinine}$) ต่ำกว่าหมู่บ้านช่องแสเมสาร ($0.67 \pm 0.07 \text{ } \mu\text{mol/mol creatinine}$)

เมื่อจำแนกตามพื้นที่ศึกษา พบว่าระดับ 8-OHdG ในปัสสาวะช่วงบ่ายของอาสาสมัครในพื้นที่ศึกษา มาบตาพุดที่ 1 ($0.50 \pm 0.07 \text{ } \mu\text{mol/mol creatinine}$) และพื้นที่ศึกษามาบตาพุดที่ 2 ($0.49 \pm 0.04 \text{ } \mu\text{mol/mol creatinine}$) ต่ำกว่าระดับ 8-OHdG ที่ตรวจพบในอาสาสมัครของหมู่บ้านช่องแสเมสาร



รูปที่ 16 ระดับสาร 8-Hydroxy-2'-deoxyguanosine (8-OHdG) ในเซลล์เม็ดเลือดขาวของอาสาสมัครจำแนกตามพื้นที่ศึกษา



รูปที่ 17. ระดับสาร 8-Hydroxy-2'-deoxyguanosine (8-OHdG) ในปัสสาวะของอาสาสมัครจำแนกตามพื้นที่ศึกษา

4.4.2 ระดับ Etheno DNA adducts ในปัสสาวะ

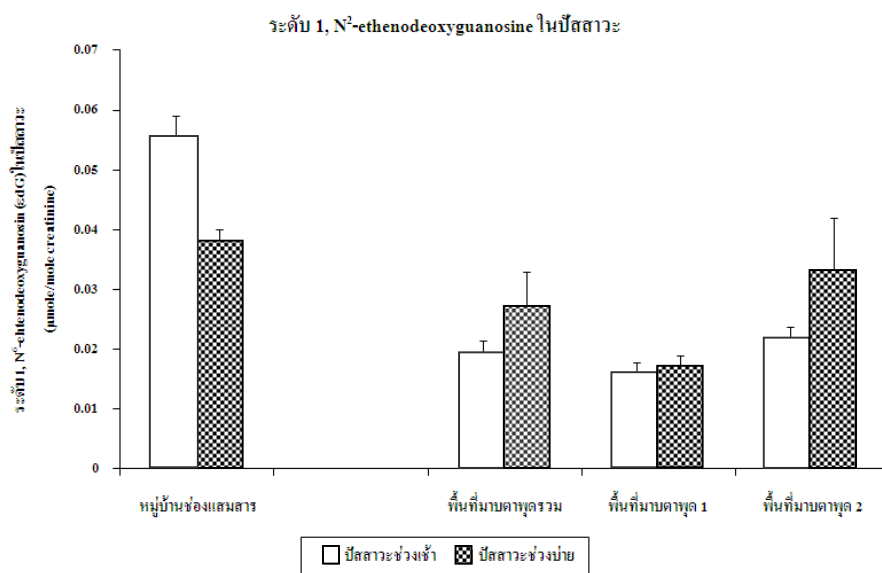
Etheno DNA adducts มีสาเหตุมาจากการอนุมูลอิสระ หรือการได้รับสารจากภายนอกร่างกาย โดยที่สารเหล่านี้ทำปฏิกิริยากับเบสของ DNA ได้แก่ adenine, thymine, guanine และ cytosine ก่อให้เกิด Etheno DNA adduct เช่น 1,N⁶-ethenodeoxyadenosine (edA) และ 1,N²-ethenodeoxyguanosine (edG) เป็นต้น ซึ่งมีรายงานว่า Etheno adducts ทำให้เกิดการกลายพันธุ์อย่างไรก็ตามร่างกายมีกลไกป้องกัน DNA โดยซ้อมแซมความผิดปกติที่เกิดขึ้น ซึ่งกระบวนการซ้อมแซมทำให้ etheno adducts ถูกขับออกทางปัสสาวะได้ ดังนั้น Etheno DNA adducts จึงเป็นตัวชี้วิภาพที่สำคัญอีกอันหนึ่งในการประเมินความเสี่ยง การเกิดมะเร็งจากการได้รับสารก่อการกลายพันธุ์ หรือสารก่อมะเร็งได้ ในการศึกษานี้ ทำการตรวจระดับ etheno DNA adduct 2 ชนิดได้แก่ 1,N²-ethenodeoxyguanosine (edG) และ 1,N⁶-ethenodeoxyadenosine (edA) ในตัวอย่างปัสสาวะช่วงเช้าและช่วงบ่ายจากอาสาสมัครในพื้นที่มาบตาพุดจำนวน 215 ตัวอย่าง และหมู่บ้านแสมสารจำนวน 96 ตัวอย่าง

4.4.2.1 ระดับ 1,N²-ethenodeoxyguanosine (edG) ในปัสสาวะ

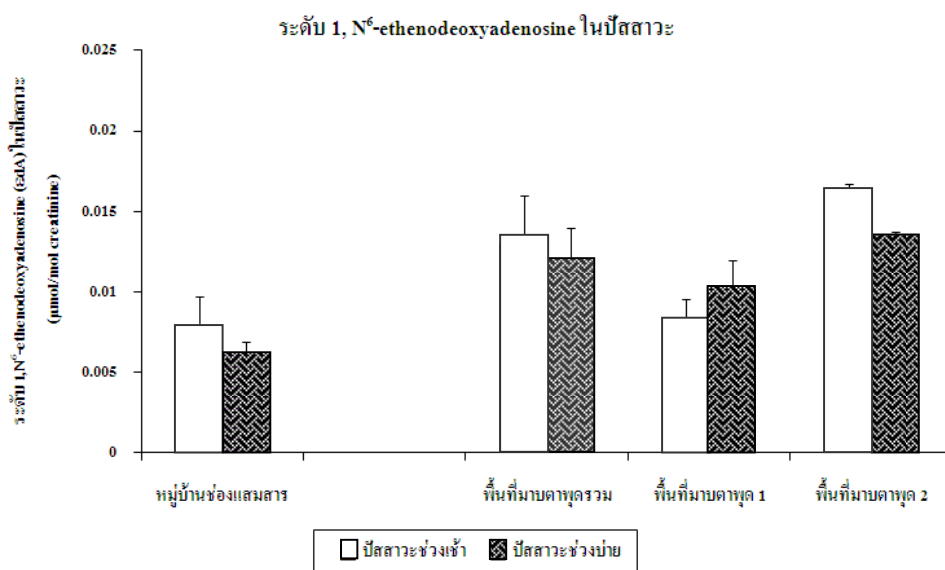
ผลการตรวจวิเคราะห์ พ布ว่าระดับ edG ในปัสสาวะช่วงเช้าและช่วงบ่ายของอาสาสมัครในพื้นที่ศึกษามาบตาพุด (0.020 ± 0.002 และ 0.027 ± 0.006 $\mu\text{mol/mol}$ creatinine ตามลำดับ) ต่ำกว่าระดับ edG ในปัสสาวะช่วงเวลาเดียวกันของอาสาสมัครในหมู่บ้านช่องแสมสาร (0.055 ± 0.004 และ 0.038 ± 0.002 $\mu\text{mol/mol}$ creatinine ตามลำดับ) (รูปที่ 18) นอกจากนี้ทำการตรวจระดับ edG ในปัสสาวะของอาสาสมัครในพื้นที่ศึกษามาบตาพุดที่ 1 และ 2 พ布ว่าระดับ edG ในปัสสาวะช่วงเช้าและช่วงบ่ายของอาสาสมัครในพื้นที่ศึกษามาบตาพุด 1 (0.016 ± 0.002 และ 0.017 ± 0.002 $\mu\text{mol/mol}$ creatinine ตามลำดับ) และพื้นที่ศึกษามาบตาพุด 2 (0.022 ± 0.002 และ 0.033 ± 0.009 $\mu\text{mol/mol}$ creatinine ตามลำดับ) ต่ำกว่าระดับ edG ที่ตรวจพบในอาสาสมัครของพื้นที่หมู่บ้านแสมสาร

4.4.2.2 ระดับ 1,N⁶-ethenodeoxyadenosine (edA) ในปัสสาวะ

ผลการตรวจวัด ระดับ 1,N⁶-ethenodeoxyadenosine (edA) ในปัสสาวะโดยจำแนกตามพื้นที่ศึกษา พ布ว่าระดับ edA ในปัสสาวะช่วงเช้าและช่วงบ่ายของอาสาสมัครในพื้นที่ศึกษามาบตาพุด (0.013 ± 0.003 และ 0.012 ± 0.002 $\mu\text{mol/mol}$ creatinine ตามลำดับ) สูงกว่าระดับ edA ในปัสสาวะช่วงเวลาเดียวกันของอาสาสมัครในหมู่บ้านช่องแสมสาร (0.008 ± 0.002 และ 0.006 ± 0.001 $\mu\text{mol/mol}$ creatinine ตามลำดับ) และพ布ว่าระดับ edA ในปัสสาวะช่วงเช้าและช่วงบ่ายของอาสาสมัครในพื้นที่ศึกษามาบตาพุดที่ 1 (0.008 ± 0.001 และ 0.010 ± 0.002 $\mu\text{mol/mol}$ creatinine ตามลำดับ) มีค่าใกล้เคียงกับระดับ edA ที่ตรวจพบในอาสาสมัครของหมู่บ้านช่องแสมสาร ขณะที่ระดับ edA ในปัสสาวะช่วงเช้าและช่วงบ่ายของอาสาสมัครในพื้นที่ศึกษามาบตาพุดที่ 2 (0.016 ± 0.005 และ 0.014 ± 0.003 $\mu\text{mol/mol}$ creatinine) สูงกว่าระดับที่ตรวจพบในอาสาสมัครของหมู่บ้านช่องแสมสาร



รูปที่ 18 ระดับสาร 1,N²-ethenodeoxyguanosine (EdG) ในปัสสาวะซั่งเช้าและซั่งบ่ายของอาสาสมัครจำแนกตามพื้นที่ศึกษา



รูปที่ 19. ระดับสาร 1,N⁶-ethenodeoxyadenosine (EdA) ในปัสสาวะซั่งเช้าและซั่งบ่ายของอาสาสมัครจำแนกตามพื้นที่ศึกษา

4.4.3 การแตกทำลายของสารพันธุกรรม (DNA strand breaks)

ระดับ DNA strand breaks ในเม็ดเลือดขาวตรวจวิเคราะห์ด้วยเทคนิค Comet assay โดยวัดระดับของ Tail length และ Olive moment ของเม็ดเลือดขาวในการบ่งชี้ถึงระดับการแตกทำลายของสารพันธุกรรม ผลการศึกษาพบว่าอาสาสมัครในพื้นที่มีนาบตาพุ่ดมีระดับของ Olive moment (0.16 μm) สูงกว่าระดับที่ตรวจพบในอาสาสมัครหมู่บ้านช่องแสมสาร (0.13 μm) ระดับ Tail length มีค่าใกล้เคียงกันในอาสาสมัครในพื้นที่มีนาบตาพุ่ด (1.79 μm) และหมู่บ้านช่องแสมสาร (1.87 μm)

เมื่อจำแนกตามพื้นที่ศึกษาย่อยในเขตมีนาบตาพุ่ดคือ พื้นที่ศึกษามีนาบตาพุ่ดที่ 1 และ 2 พบว่าระดับของ Olive moment ของอาสาสมัครทั้ง 2 พื้นที่มีค่าใกล้เคียงกัน (0.16 μm) แต่ระดับของ Tail length ของอาสาสมัครในพื้นที่มีนาบตาพุ่ด 2 (2.32 μm) สูงกว่าที่ตรวจพบในอาสาสมัครพื้นที่มีนาบตาพุ่ด 1 (1.38 μm) และหมู่บ้านช่องแสมสาร (รูปที่ 20)

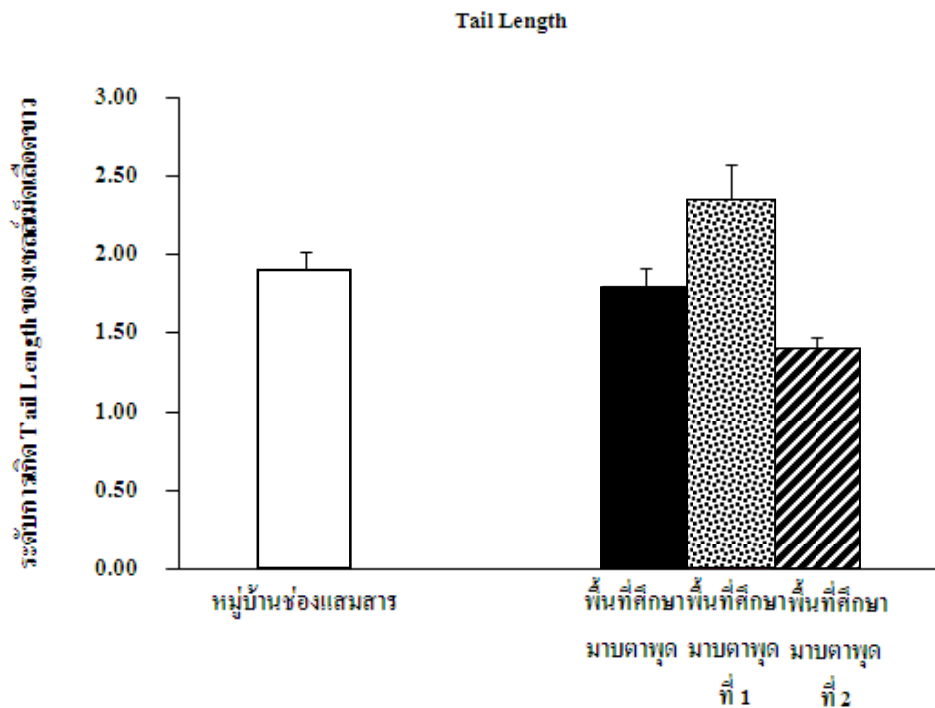
4.4.4 ความสามารถในการซ่อมแซมสารพันธุกรรม (DNA Repair Capacity)

การวิเคราะห์ความสามารถในการซ่อมแซมสารพันธุกรรมด้วยเทคนิค Cytogenetic challenge assay โดยใช้ irradiation ที่ระดับ 1 Gy เพื่อกระตุ้นการเกิดความผิดปกติในโครโมโซมในเซลล์เม็ดเลือดขาว และตรวจวัดความสามารถในการซ่อมแซมความผิดปกตินี้โดยวัดระดับ Dicentrics และ Deletions ของโครโมโซมในระยะ metaphase ซึ่งระดับ Dicentrics หรือ Deletions ที่สูงแสดงถึงความสามารถในการซ่อมแซม DNA ต่ำ โดยทำการตรวจวัด ระดับ deletion/metaphase และ dicentric/metaphase ในตัวอย่าง เลือดของอาสาสมัครในพื้นที่ศึกษามีนาบตาพุ่ดจำนวน 112 ตัวอย่างและหมู่บ้านช่องแสมสารจำนวน 50 ตัวอย่าง

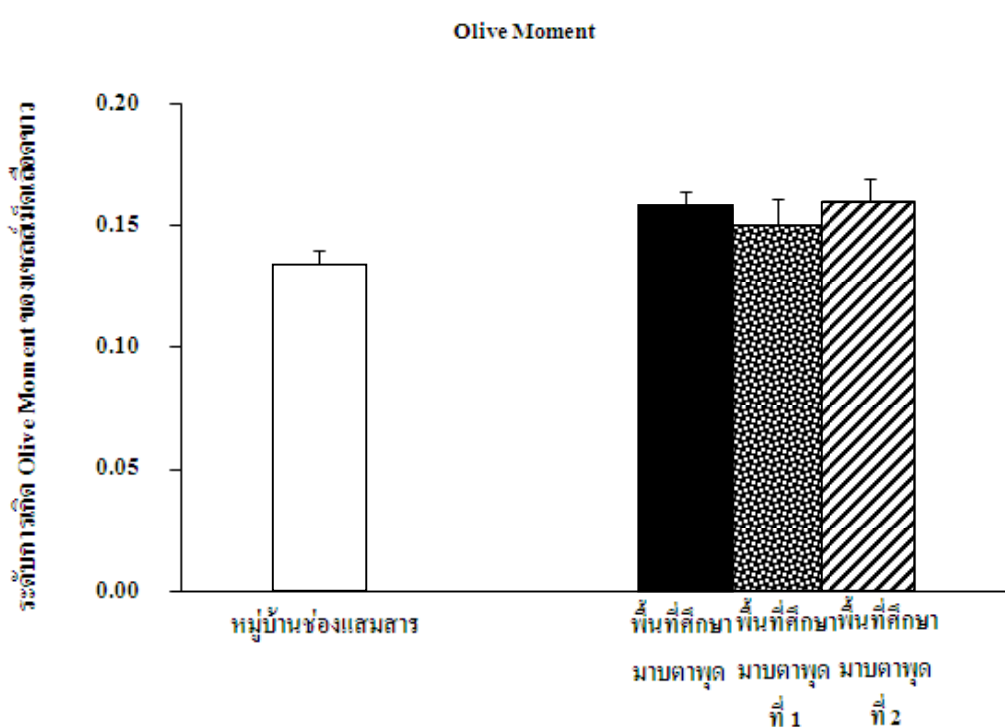
รูปที่ 21 A และ B แสดงให้เห็นถึงระดับ Deletion/metaphase และ Dicentric/metaphase ของอาสาสมัครในพื้นที่ศึกษามีนาบตาพุ่ดและหมู่บ้านช่องแสมสาร โดยพบว่าอาสาสมัครในพื้นที่ศึกษามีนาบตาพุ่ด มีระดับ Deletion/metaphase (0.20) สูงกว่าระดับที่ตรวจพบในอาสาสมัครหมู่บ้านช่องแสมสาร (0.18) ขณะที่ระดับ Dicentric/metaphase มีค่าใกล้เคียงกันในอาสาสมัครในพื้นที่ศึกษามีนาบตาพุ่ด (0.13) และหมู่บ้านช่องแสมสาร (0.12)

เมื่อจำแนกตามพื้นที่ศึกษามีนาบตาพุ่ดที่ 1 และ 2 พบว่าระดับ Deletion/metaphase ของอาสาสมัครในพื้นที่ศึกษามีนาบตาพุ่ด 1 (0.22) สูงกว่าระดับที่ตรวจพบในอาสาสมัครหมู่บ้านช่องแสมสาร (0.12) นอกจากนี้ระดับของ Dicentric/metaphase ของอาสาสมัครในพื้นที่ศึกษามีนาบตาพุ่ดที่ 1 (0.14) สูงกว่าระดับที่พบในพื้นที่ศึกษามีนาบตาพุ่ดที่ 2 (0.12) และหมู่บ้านช่องแสมสาร (0.12)

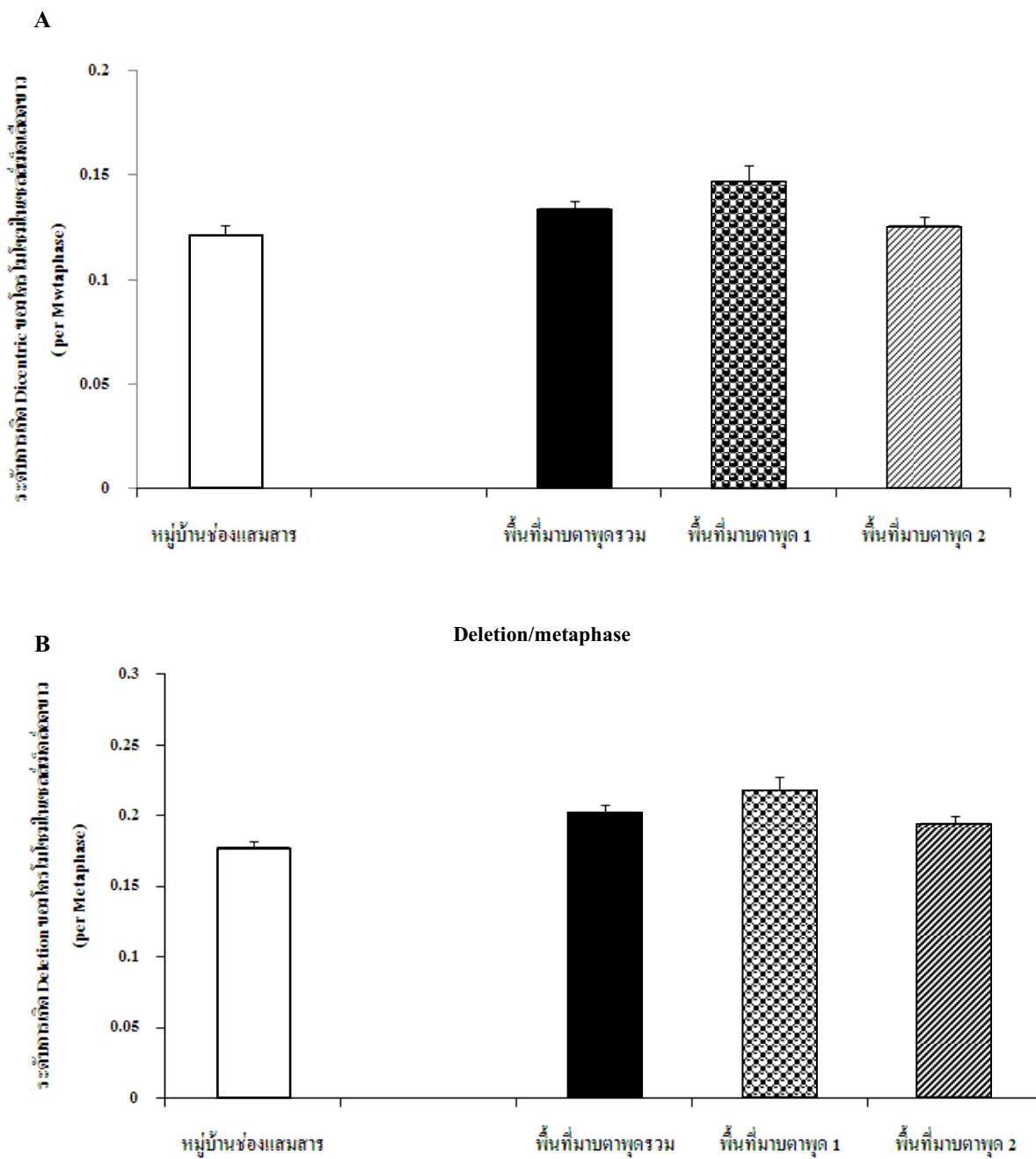
A



B



รูปที่ 20 ระดับ Tail length (A) และ Olive moment (B) ของ DNA เซลล์เม็ดเลือดขาว
ของอาสาสมัครจำแนกตามพื้นที่ศึกษา



รูปที่ 21. ระดับ Dicentric/Metaphase (A) และ Deletion/Metaphase (B) ในเซลล์เม็ดเลือดขาวของอาสาสมัครจำแนกตามพื้นที่ศึกษา

4.5 การประเมินดัชนีชีวภาพการตอบสนองต่อการอักเสบ

4.5.1 การประเมินระดับโปรตีน Clara Cell 16 (CC16) ในชีร์ม

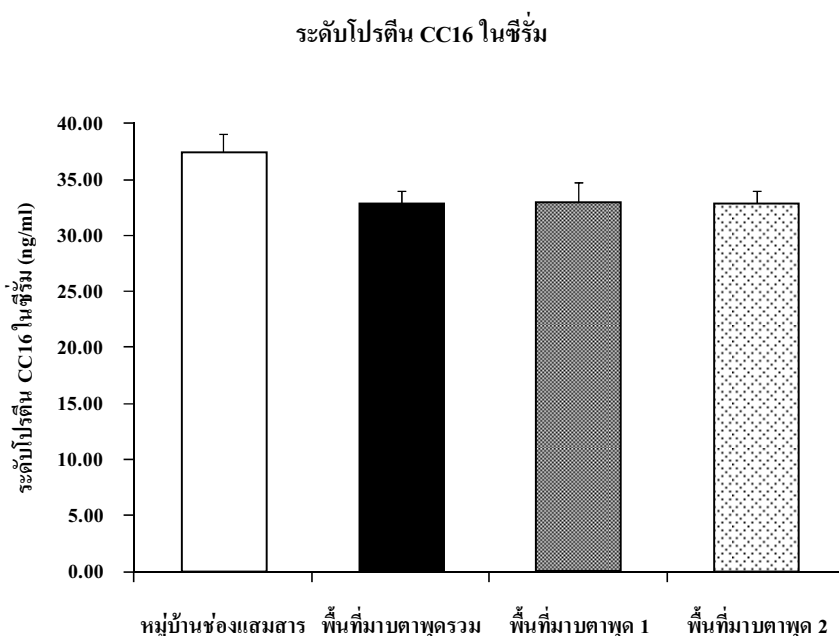
Clara cell เป็นเซลล์เยื่อบุทางเดินหายใจชนิดหนึ่งที่สามารถผลิตโปรตีน Clara Cell 16 (CC16) ออกมากเพื่อบรรบทางเดินหายใจ ซึ่งส่วนใหญ่สามารถตรวจวัดระดับ Clara Cell 16 (CC16) ในทางเดินหายใจและปอด เมื่อ Clara cell เกิดการอักเสบและถูกทำลายจากการได้รับมลพิษทางอากาศ ส่งผลให้โปรตีน Clara Cell 16 (CC16) เข้าสู่กระแสเลือด เหตุนี้ระดับโปรตีน Clara Cell 16 ในชีร์มจึงใช้เป็นดัชนีชีวภาพที่สำคัญถึงระยะเริ่มต้นของความผิดปกติในระบบทางเดินหายใจ

จากการวิเคราะห์ระดับโปรตีน Clara Cell 16 (CC16) ในชีร์มด้วยเทคนิค Enzyme-linked immunosorbent assay (ELISA) ในตัวอย่างชีร์มของอาสาสมัครในพื้นที่มาบตาพุดจำนวน 80 ตัวอย่างและในหมู่บ้านช่องแสเมสารจำนวน 40 ตัวอย่าง พบร้าอาสาสมัครในพื้นที่หมู่บ้านช่องแสเมสารมีระดับโปรตีน CC16 ในชีร์ม (37.38 ± 1.69 ng/ml) สูงกว่าระดับที่ตรวจพบในพื้นที่ศึกษามาบตาพุด (32.77 ± 1.20 ng/ml) นอกจากนี้ระดับโปรตีน CC16 ในชีร์มของอาสาสมัครในพื้นที่ศึกษามาบตาพุด 1 (32.81 ± 1.87 ng/ml) และพื้นที่ศึกษามาบตาพุด 2 (32.73 ± 1.55 ng/ml) ต่างกว่าระดับที่ตรวจพบในอาสาสมัครหมู่บ้านช่องแสเมสาร (รูปที่ 22)

จากการศึกษาระดับโปรตีน CC16 ในชีร์มในสัตว์ทดลองที่สูดดมควันบุหรี่ พบร้าระดับโปรตีน CC16 ในชีร์มสูงขึ้น 5 เท่า หลังจากสูดดมควันบุหรี่ 2-4 ชั่วโมง และลดลงสู่ระดับปกติภายใน 24 ชั่วโมง [188] ซึ่งการศึกษาในคนของ Broeckxart (1999) และ Micheal (2005) สนับสนุนผลการศึกษาในสัตว์ทดลอง โดยทำการศึกษาถึงระดับโปรตีน CC16 ในชีร์มหลังจากสูดดมโอดีโนจากการวิ่ง 2 ชั่วโมงและหลังจากสูดดม lipopolysaccharide (LPS) พบร้าระดับโปรตีน CC16 ในชีร์มเพิ่มสูงขึ้นและกลับสู่ระดับปกติในวันต่อมา [170-171] อย่างไรก็ตาม การได้รับควันบุหรี่ในคนชราที่มีการเพิ่มจำนวนบุหรี่ที่สูบขึ้นต่อวันในประเทศอเมริกา และในต่างประเทศที่ได้รับไอเสียรถยนต์ในระดับสูง พบร้าระดับโปรตีน CC16 ในชีร์มลดลง [172-173]

นอกจากนี้ ในผู้ป่วยโรค COPD หรือมะเร็งปอดมีระดับโปรตีน CC16 ในชีร์มลดลง เช่นกัน ซึ่งสาเหตุการที่ทำให้ระดับโปรตีน CC16 ในชีร์มลดลงยังไม่ทราบแน่ชัด แต่อาจเกิดจากการทำลาย Clara cell อย่างต่อเนื่องทำให้การซ้อมแซม cell ลดลง หรือการที่ปอดถูกทำลาย ส่งผลให้มีการหลั่ง C-reactive proteins (CRPs) มากขึ้น และทำให้มีการสร้าง secondary inflammatory mediators ได้แก่ IL-6 ในกระแสเลือดมากขึ้น อย่างไรก็ตาม ในการศึกษาของ Medson รายงานว่าไม่พบความเกี่ยวข้องกันระหว่างระดับ CRPs และโปรตีน CC16 ในชีร์ม [173]

จากเหตุนี้แสดงให้เห็นว่าระดับโปรตีน CC16 ในชีร์มเป็นตัวบ่งชี้ถึงการเกิดการอักเสบของทางเดินหายใจในระยะเริ่มต้น และระดับโปรตีน CC16 ในชีร์มที่ต่างจากเป็นตัวบ่งชี้จากการได้รับมลพิษที่มีผลต่อระบบทางเดินหายใจเป็นระยะเวลาต่อเนื่องยาวนาน



รูปที่ 22. แผนภูมิแท่งแสดงระดับโปรตีน Clara cell 16 (CC16) ในชีรัมของอาสาสมัครจำแนกตามพื้นที่ศึกษา

4.5.2 การประเมินระดับการแสดงออกของ Interleukin-8 (IL-8) mRNA

โปรตีน IL-8 เป็นสาร CXC chemokine ชนิดหนึ่งที่ทำหน้าที่ในการกระตุ้นการแพร่ผ่านของเม็ดเลือดขาวชนิด neutrophile ออกจากกระแสเลือดมาเย็บบริเวณที่มีการอักเสบ ผลพิษจากอาการสามารถกระตุ้นการแสดงออกของ IL-8 mRNA ให้มีการสร้างโปรตีน IL-8 ออกมาเพิ่มมากขึ้น เหตุนี้ระดับการแสดงออกของ IL-8 mRNA จึงเป็นตัวบ่งชี้ที่สำคัญถึงระยะเริ่มต้นของความผิดปกติในระบบทางเดินหายใจ

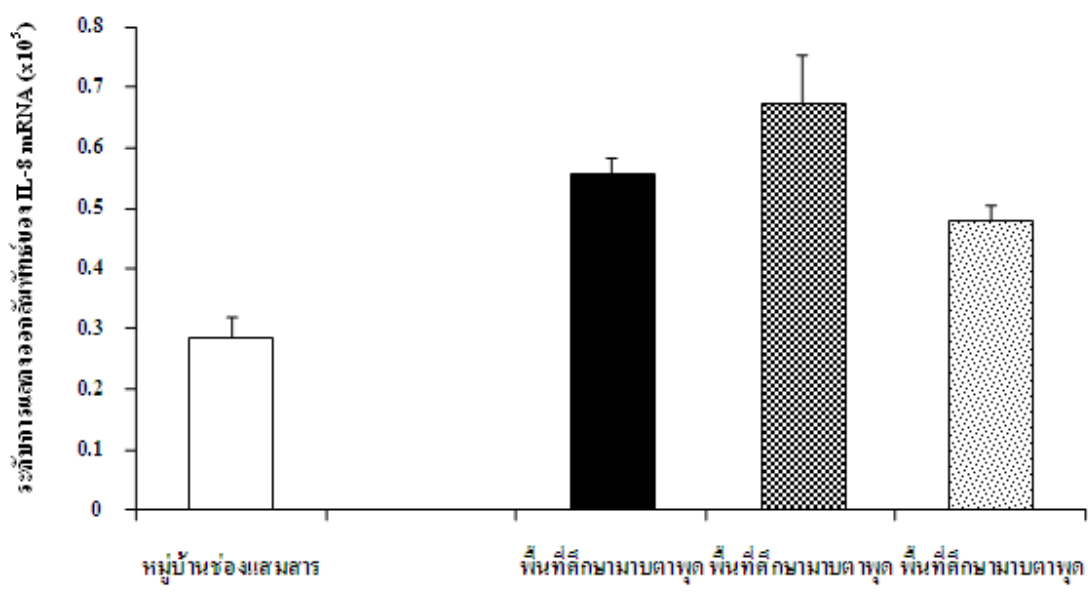
จากการวิเคราะห์ระดับการแสดงออกของ IL-8 mRNA ด้วยเทคนิค Real-Time Reversed Transcriptase Polymerase Chain Reaction (Real Time RT- PCR) ในตัวอย่างเลือดของอาสาสมัครในพื้นที่มาบตาพุดจำนวน 94 ตัวอย่างและในหมู่บ้านช่องแสเมสารจำนวน 30 ตัวอย่าง พบว่าอาสาสมัครในพื้นที่ศึกษามาบตาพุดมีระดับการแสดงออกสัมพัทธ์ของ IL-8 mRNA ($0.54 \pm 0.04 \times 10^3$) สูงกว่าระดับที่ตรวจพบในหมู่บ้านช่องแสเมสาร ($0.28 \pm 0.04 \times 10^3$) เมื่อศึกษาโดยจำแนกตามพื้นที่ศึกษามาบตาพุดที่ 1 และ 2 พบว่าระดับการแสดงออกสัมพัทธ์ของ IL-8 mRNA ในอาสาสมัครในพื้นที่ศึกษามาบตาพุดที่ 1 ($0.66 \pm 0.09 \times 10^3$) และพื้นที่ศึกษามาบตาพุดที่ 2 ($0.46 \pm 0.04 \times 10^3$) สูงกว่าระดับที่ตรวจพบในอาสาสมัครหมู่บ้านช่องแสเมสารอย่าง (รูปที่ 23)

เป็นที่ทราบแล้วว่าสารเคมี ฝุ่น และควันบุหรี่สามารถกระตุ้นการแสดงออกของ cytokines และ chemokines ในเซลล์เยื่อบุทางเดินหายใจ โดยพบว่าพบระดับการแสดงออกของ IL-8 mRNA ในเซลล์เยื่อบุทางเดินหายใจสูงกว่าเซลล์เยื่อบุที่ไม่ได้รับ cigarette smoke condensate (CSC) ถึง 2.7 เท่า อย่างไรก็

ตามระดับ IL-8 ที่เพิ่มขึ้นไม่ได้เกิดขึ้นในระบบทางเดินหายใจเพียงระบบเดียว จากการศึกษาของ Bironaite (2004) พบว่าระดับ IL-8 ใน Leukemia cell lines (HL-60 cells) เพิ่มสูงขึ้นถึง 50 เท่าหลังจากได้รับสาร Hydroquinone (HQ) ซึ่งเป็นสารเมตาโบไลท์ของสารเบนซีน [174] นอกจากนี้พบว่าผู้ป่วยที่เป็น aplastic anemia มีระดับ IL-8 สูง [175-176] แต่ยังไม่สามารถระบุว่าระดับ IL-8 ที่สูงขึ้นมาจากการสาเหตุใด แต่ Bironaite สนับสนุนว่า HQ อาจกระตุ้นการทำงานของเอนไซม์ catalase ซึ่งส่งผลให้เกิดภาวะ oxidative stress ขึ้นภายในเซลล์ และภาวะดังกล่าวกระตุ้นให้มีสร้าง IL-8 ในเซลล์มากขึ้น [174] หรืออาจเกิดจากการทำงานของ IL-17 ซึ่งกระตุ้นให้ macrophage หลัง IL-8, IL-6 และ TNF- α เพิ่มขึ้นและก่อให้เกิด autoimmune process ได้ [176]

จากเหตุนี้ IL-8 จัดเป็นตัวบ่งชี้ถึงการเกิดการตอบสนองต่อการอักเสบที่เกิดขึ้นได้ในทุกระบบของร่างกาย และการที่อาสาสมัครภาพดูมีระดับการแสดงออกของ IL-8 mRNA สูง แสดงให้เห็นว่าอาสาสมัครได้รับสารที่กระตุ้นให้มีการสร้าง IL-8 ออกมาตลอดเวลา แม้ว่ายังไม่สามารถสรุปได้ว่าสารเบนซีน บิวทาไดอีนและไวนิลคลอไรด์กระตุ้นให้มีการแสดงออกของ IL-8 mRNA

ระดับการแสดงออกของ IL-8 mRNA



รูปที่ 23. แผนภูมิแท่งแสดงระดับการแสดงออกของ Interleukin 8 (IL-8) mRNA ของอาสาสมัครจำแนกตามพื้นที่ศึกษา

สรุปผลการวิจัยและข้อเสนอแนะ

5. สรุปผลการวิจัยและข้อเสนอแนะ

5.1 สรุปผลการวิจัย

การศึกษาวิจัยนี้มีวัตถุประสงค์เพื่อประเมินผลกระทบต่อสุขภาพจากการได้รับสารอินทรีย์ระเหย จ่ายก่อมะเร็งได้แก่ สารเบนซีน บิวทาไไดอีน และไวนิลคลอไรด์ ของประชากรที่อาศัยอยู่ใกล้เขต อุตสาหกรรมในจังหวัดระยอง โดยตรวจวัดระดับของดัชนีชีวภาพต่างๆ ได้แก่ ดัชนีชีวภาพการได้รับ สัมผัส ดัชนีชีวภาพการเปลี่ยนแปลงทางชีวภาพในระยะเริ่มต้น และดัชนีชีวภาพการตอบสนองต่อการ อักเสบ โดยมีการกำหนดพื้นที่ การคัดเลือกกลุ่มประชากรตลอดจนขอบเขตและแนวทางการศึกษา ดังนี้

● พื้นที่ศึกษา

พื้นที่รอบเขตอุตสาหกรรม : พื้นที่มาบตาพุดจังหวัดระยอง โดยแบ่งพื้นที่ศึกษาดังนี้

พื้นที่ศึกษามาบตาพุดที่ 1 : บริเวณวัดหนองแฟบ

พื้นที่ศึกษามาบตาพุดที่ 2 : บริเวณสถานีอนามัยมาบตาพุด สถานีเมืองใหม่ และ ชุมชนบ้าน

พลง

พื้นที่ควบคุม : หมู่บ้านช่องแสมสาร อำเภอสัตหีบ จังหวัดชลบุรี เนื่องจากเป็นพื้นที่ที่ไม่มี โรงงานอุตสาหกรรมที่เกี่ยวข้องกับสารอินทรีย์ ตลอดจนมีลักษณะทาง ภูมิศาสตร์และวิถีชีวิตของประชากรใกล้เคียงกับพื้นที่ศึกษา

● อาสาสมัคร

อาสาสมัครที่เข้าร่วมโครงการคัดเลือกตามเกณฑ์ที่กำหนดมีจำนวน 162 คน ประกอบด้วย

กลุ่มศึกษา: อาสาสมัครในพื้นที่ศึกษาที่เขตมาบตาพุดจำนวน 112 คน ซึ่งแบ่งตามพื้นที่ ดังนี้

พื้นที่ศึกษามาบตาพุดที่ 1 : อาสาสมัครในชุมชนหนองแฟบจำนวน 45 คน

พื้นที่ศึกษามาบตาพุดที่ 2 : อาสาสมัครในชุมชนอิสลาม ชุมชนวัดโสภณและชุมชนซอย ร่วมพัฒนาจำนวน 67 คน

กลุ่มควบคุม: อาสาสมัครในพื้นที่ศึกษาที่หมู่บ้านแสมสารจำนวน 50 คน

อาสาสมัครส่วนใหญ่ประกอบอาชีพรับจ้างทั่วไปและประมงในหมู่บ้านแสมสาร และเป็น แม่บ้านในเขตพื้นที่มาบตาพุดทั้งสองแห่ง ดังนั้นอาสาสมัครส่วนใหญ่ในแต่ละพื้นที่ศึกษาไม่เกี่ยวข้องกับ การใช้สารอินทรีย์ระเหยในการประกอบอาชีพ

- การตรวจวัดต่าง ๆ เพื่อวัดระดับการได้รับสัมผัสและการประเมินผลกระทบต่อสุขภาพตามหลักการทาง Molecular Epidemiology โดยใช้ดัชนีชีวภาพต่าง ๆ

การศึกษาวิจัยสรุปผล ดังนี้

5.1.1 การประเมินระดับการได้รับสัมผัสสารโดยตรง (Direct Measurement)

ระดับสารabenซีน บิวทาไดอีน และไวนิลคลอไรด์ในอากาศในบริเวณที่อยู่อาศัย

ผลการตรวจระดับสารabenซีน สารabenซีน บิวทาไดอีน และไวนิลคลอไรด์ในอากาศ พบร่วมระดับสารabenซีน บิวทาไดอีน ในอากาศของพื้นที่มาบตาพุดมีค่าใกล้เคียงกับระดับที่ตรวจวัดได้ในพื้นที่หมู่บ้านช่องแสมสาร ขณะที่สามารถตรวจสารไวนิลคลอไรด์ได้เฉพาะที่พื้นที่ศึกษามาบตาพุดที่ 2 เพียงแห่งเดียว และพบว่าระดับสารabenซีน เพียงสารเดียวที่มีค่าเกินค่ามาตรฐานรายปีและค่าเฝ้าระวังใน 24 ชั่วโมง ตามประกาศของคณะกรรมการสิ่งแวดล้อมแห่งชาติ ฉบับที่ 30 (พ.ศ. 2550)

ระดับการได้รับสัมผัสสารabenซีน บิวทาไดอีน และไวนิลคลอไรด์ในระดับบุคคล (Individual Exposure)

- **abenซีน**

อาสาสมัครในพื้นที่มาบตาพุด ได้รับสัมผัสสารabenซีนในอากาศใกล้เคียงกับระดับที่ตรวจพบในอาสาสมัครกลุ่มควบคุมในพื้นที่หมู่บ้านช่องแสมสาร

- **บิวทาไดอีน**

อาสาสมัครในพื้นที่มาบตาพุดและหมู่บ้านช่องแสมสารได้รับสารบิวทาได- อีนจากอากาศในระดับที่ใกล้เคียงกัน

- **ไวนิลคลอไรด์**

มีเพียงอาสาสมัครในพื้นที่ศึกษามาบตาพุดที่ 2 จำนวน 15 คนที่ตรวจพบการได้รับสัมผัสสารไวนิลคลอไรด์จากอากาศ

5.1.2 การประเมินระดับดัชนีชีวภาพการได้รับสัมผัสสารabenซีน บิวทาไดอีน และไวนิลคลอไรด์โดยใช้ดัชนีชีวภาพการได้รับสัมผัส

การตรวจวัดระดับดัชนีชีวภาพการได้รับสัมผัส มีดังนี้

- **ระดับสารabenซีนในเลือด**

อาสาสมัครในพื้นที่มาบตาพุดมีระดับสารabenซีนในเลือดสูงกว่าระดับสารabenซีนในเลือดของอาสาสมัครในหมู่บ้านช่องแสมสาร

● ระดับสารเมตาโบไลต์ที่ถูกขับออกทางปัสสาวะ

ทำการตรวจวัดระดับสารเมตาโบไลต์ที่ถูกขับออกทางปัสสาวะของสารเบนซีน บิวทาไดอิน และไวนิลคลอโรร์ ได้แก่ กรดมิวโคนิก (*t,t*-Muconic acid) สาร Monohydroxy-butenyl mercapturic acid (MHBMA) และสาร S-carboxymethyl-L-cysteine (SCMC) ตามลำดับ

กรดมิวโคนิก: อาสาสมัครในพื้นที่มีนาบตาพุดมีระดับกรดมิวโคนิกในปัสสาวะทั้งช่วง เช้าและช่วงบ่ายใกล้เคียงกับระดับที่ตรวจวัดได้ในปัสสาวะของอาสาสมัครในพื้นที่หมู่บ้านช่องแสมสาร

สาร MHBMA: ระดับของสาร MHBMA ในปัสสาวะช่วงเช้าของอาสาสมัครในพื้นที่ศึกษามาบตาพุดต่ำกว่าระดับที่ตรวจพบได้ในช่วงเวลาเดียวกันของอาสาสมัครในหมู่บ้านช่องแสมสาร แต่ระดับสาร MHBMA ในปัสสาวะช่วงบ่ายของอาสาสมัครในพื้นที่ศึกษามาบตาพุดและหมู่บ้านช่องแสมสารมีค่าใกล้เคียงกัน

ระดับสาร SCMC: ระดับสาร SCMC ในปัสสาวะทั้งช่วงเช้าและช่วงบ่ายของอาสาสมัครในหมู่บ้านช่องแสมสารมีค่าสูงกว่าระดับสาร SCMC ที่ตรวจวัดได้ในพื้นที่ศึกษามาบตาพุด

5.1.3 การประเมินการเปลี่ยนแปลงในระยะเริ่มต้นโดยใช้ดัชนีชีวภาพการเปลี่ยนแปลงในระยะเริ่มต้น

การศึกษานี้ ทำการตรวจวัดระดับดัชนีชีวภาพการเปลี่ยนแปลงทางชีวภาพในระยะเริ่มต้นโดยตรวจวัดระดับการทำลายสารพันธุกรรม (DNA damage) ได้แก่ ระดับสาร 8-Hydroxy-2'-deoxyguanosine (8-OHdG) ในเซลล์เม็ดเลือดขาวและปัสสาวะ ระดับการแตกทำลายของสารพันธุกรรม (DNA strand breaks) และความสามารถในการซ่อมแซมสารพันธุกรรม (DNA repair capacity) ซึ่งการเปลี่ยนแปลงต่างๆ ของสารพันธุกรรมอาจนำไปสู่การเกิดโรคต่างๆ ตลอดจนโรคมะเร็ง

● Oxidative DNA damage

ระดับสาร 8-Hydroxy-2'-deoxyguanosine (8-OHdG) ในเซลล์เม็ดเลือดขาวและปัสสาวะรวมทั้งระดับ etheno adducts เป็นตัวบ่งชี้ถึงภาวะ oxidative damage ที่เกิดขึ้นบนสารพันธุกรรม DNA ซึ่งบ่งชี้ถึงความผิดปกติขององค์ประกอบของสารพันธุกรรม

8-Hydroxy-2'-deoxyguanosine (8-OHdG)

จากการตรวจวิเคราะห์ระดับสาร 8-OHdG พบว่าระดับ 8-OHdG ในเซลล์เม็ดเลือดขาวของอาสาสมัครในพื้นที่มีนาบตาพุดต่ำกว่าระดับที่ตรวจพบได้ในอาสาสมัครในหมู่บ้านช่องแสมสารขณะที่ระดับ 8-OHdG ในปัสสาวะช่วงเช้าของอาสาสมัครในหมู่บ้านแสมสารมีค่าใกล้เคียงกับระดับที่ตรวจวัดได้ในปัสสาวะช่วงเวลาเดียวกันของอาสาสมัครในพื้นที่มีนาบตาพุด แต่พบว่าระดับ 8-OHdG ในปัสสาวะช่วงบ่ายของอาสาสมัครในพื้นที่มีนาบตาพุดต่ำกว่าระดับ 8-OHdG ที่ตรวจพบในหมู่บ้านช่องแสมสาร

Etheno DNA adducts

การศึกษานี้ทำการตรวจวัดระดับ etheno adducts 2 ชนิดได้แก่ $1,N^2$ -ethenodeoxyguanosine (EdG) และ $1,N^6$ -ethenodeoxyadenosine (EdA) จากการวิเคราะห์ตัวอย่างปัสสาวะพบว่าระดับของ EdG ในปัสสาวะช่วงเช้าและช่วงบ่ายของอาสาสมัครในพื้นที่มีนาบตาพุ่ด รวมทั้งในพื้นที่ศึกษามาบตาพุ่ดที่ 1 และที่ 2 มีค่าต่ำกว่าระดับ EdG ที่ตรวจวัดได้ในปัสสาวะของอาสาสมัครในหมู่บ้านแสมสาร ขณะที่ระดับของ EdA ในปัสสาวะช่วงเช้าและช่วงบ่ายของอาสาสมัครในพื้นที่มีนาบตาพุ่ดมีค่าสูงกว่าระดับ EdA ในปัสสาวะช่วงเวลาเดียวกันของอาสาสมัครในหมู่บ้านช่องแสมสาร

- การแตกทำลายของสารพันธุกรรม (DNA strand breaks)

อาสาสมัครในพื้นที่มีนาบตาพุ่ดมีระดับของ Olive moment สูงกว่าระดับที่ตรวจพบในอาสาสมัครหมู่บ้านช่องแสมสาร ขณะที่ระดับ Tail length มีค่าใกล้เคียงกันในอาสาสมัครทั้งในพื้นที่มีนาบตาพุ่ดและหมู่บ้านช่องแสมสาร

- ความสามารถในการซ่อมแซมสารพันธุกรรม (DNA Repair Capacity)

การประเมินความสามารถในการซ่อมแซมสารพันธุกรรม (DNA Repair Capacity) ทำการตรวจวัดระดับความผิดปกติของโครโนโซม โดยใช้เทคนิค irradiation-induced deletion และ dicentric ในระยะ metaphase ถ้ามีระดับความผิดปกติของโครโนโซมสูง แสดงให้เห็นถึงความสามารถในการซ่อมแซมสารพันธุกรรมลดลง จากการวิเคราะห์พบว่าอาสาสมัครในพื้นที่มีนาบตาพุ่ดมีระดับ deletion/metaphase สูงกว่าระดับที่ตรวจพบในอาสาสมัครหมู่บ้านช่องแสมสาร ขณะที่ระดับ dicentric/metaphase มีค่าใกล้เคียงกันในอาสาสมัครในพื้นที่มีนาบตาพุ่ดและหมู่บ้านช่องแสมสาร

5.1.4 การประเมินระดับดัชนีชีวภาพการตอบสนองต่อการอักเสบ

การศึกษานี้ทำการประเมินความผิดปกติของระบบทางเดินหายใจ โดยตรวจระดับโปรตีน Clara Cell 16 (CC16) ในชีร์ม และระดับการแสดงออกของ Interleukin-8 (IL-8) mRNA

- ระดับ Clara Cell 16 (CC16) ในชีร์ม

ผลการศึกษาพบว่าอาสาสมัครในพื้นที่หมู่บ้านช่องแสมสารมีระดับโปรตีน CC16 ในชีร์มสูงกว่าระดับที่ตรวจพบในพื้นที่ศึกษามาบตาพุ่ด

- การแสดงออกของยีน IL-8 ในเม็ดเลือดขาว

อาสาสมัครในพื้นที่ศึกษามาบตาพุ่ด รวมทั้งในพื้นที่ศึกษามาบตาพุ่ดที่ 1 และ 2 มีระดับการแสดงออกของ IL-8 mRNA สูงกว่าระดับที่ตรวจพบในหมู่บ้าน ช่องแสมสาร

5.2 ข้อเสนอแนะ

ผลการตรวจวัดของการศึกษาวิจัยครั้งนี้พบว่าระดับการปนเปื้อนสารเบนซีนและสาร บิวทาได้ อึนในอากาศที่ตรวจพบในพื้นที่ศึกษามาบตาพุดและหมู่บ้านช่องแสมสารไม่มีความแตกต่างกัน ซึ่ง สอดคล้องกับระดับการได้รับสารเบนซีนและบิวทาได้อึนที่ตรวจพบในอาสาสมัครพื้นที่มาบตาพุดและ หมู่บ้านช่องแสมสาร ซึ่งมีค่าใกล้เคียงกับการได้รับสัมผัสของอาสาสมัครหมู่บ้านช่องแสมสาร นอกจากนี้ ระดับดัชนีชีวภาพต่างๆ ที่ตรวจวัดได้ ไม่แสดงให้เห็นถึงความแตกต่างอย่างชัดเจนระหว่างกลุ่ม ประชากรที่ได้รับสารอินทรีย์ระเหยก่อมะเร็งเหล่านี้ในพื้นที่อุตสาหกรรมและกลุ่มประชากรที่อยู่นอกพื้นที่ อุตสาหกรรม ดังนั้นผลกระทบต่อสุขภาพเช่น การเกิดโรคมะเร็งเนื่องจากการได้รับสัมผัสสารอินทรีย์ ระเหยก่อมะเร็งได้แก่ สารเบนซีนบิวทาได้อึน และไวนิลคลอไรด์ในอากาศของประชากรในพื้นที่ศึกษา รอบเขตอุตสาหกรรมและพื้นที่ควบคุมนอกเขตอุตสาหกรรมไม่แตกต่างกัน อย่างไรก็ตามเมื่อ เปรียบเทียบกับผลการศึกษาการตรวจวัดสารเบนซีนและบิวทาได้อึนในบริเวณที่มีการจราจรหนาแน่นใน เขตกรุงเทพมหานครพบว่า มีการปนเปื้อนของสารก่อมะเร็งเหล่านี้ในอากาศสูง ทำให้ประชากรกลุ่ม เสี่ยงเช่น ตำรวจจราจรที่ปฏิบัติหน้าที่ในบริเวณที่มีการจราจรหนาแน่นได้รับสัมผัสสารเบนซีนและบิวทา ได้อึนสูงกว่า และอาจมีความเสี่ยงต่อสุขภาพมากกว่ากลุ่มอาสาสมัครในพื้นที่มาบตาพุดและหมู่บ้าน แสมสาร

ด้วยเหตุนี้การศึกษาผลกระทบทางสุขภาพของประชากรในพื้นที่จังหวัดระยอง จำเป็นต้อง ทำการศึกษาเพิ่มเติมถึงผลกระทบทางสุขภาพที่อาจเกิดขึ้นเนื่องจากการได้รับมลพิษอีนๆ นอกเหนือจากสารอินทรีย์ระเหยง่ายในอากาศ เช่น ฝุ่นละอองขนาดเล็ก สาร Polycyclic aromatic hydrocarbons (PAHs) โลหะหนัก และไอเสียจากยานยนต์ เป็นต้น เนื่องจากมลพิษดังกล่าวสามารถ ก่อให้เกิดผลกระทบต่อสุขภาพและทำให้เกิดโรคต่างๆ รวมทั้งโรคมะเร็งได้

เอกสารอ้างอิง

6. เอกสารอ้างอิง

1. Lynge E, Andersen A, Nilsson R, Barlow L, Pukkala E, Nordlinder R, Boffetta P, Grandjean P, Heikkilä P, Hörte LG, Jakobsson R, Lundberg I, Moen B, Partanen T, Riise T. Risk of cancer and exposure to gasoline vapors. *Am J Epidemiol.* 145(5):449-58, 1997
2. Wong O, Trent L, Harris F. Nested case-control study of leukaemia, multiple myeloma, and kidney cancer in a cohort of petroleum workers exposed to gasoline. *Occup Environ Med.* 56(4):217-21, 1999
3. Lam TH, Zhu CQ, Jianf CQ. Lymphocyte DNA damage in elevator manufacturing workers in Guangzhou, China. *Mutat Res* 515(1-2): 147-157, 2002
4. Holečková B, Piešová E, Šivíková K, Dianovský J. Chromosomal aberrations in humans induced by benzene. *Ann Agric Environ Med.* 11:175-179, 2004
5. International Agency for Research on Cancer. In: Overall Evaluations of Carcinogenicity: An Updating of IARC Monographs Volumes 1–42. Supplement 7, 1987. World Health Organization, Lyon, France.
6. Au WW, Bechtold WE, Whorton EB. Jr, Legator MS. Chromosome aberrations and response to γ -ray challenge in lymphocytes of workers exposed to 1,3-butadiene. *Mutation Research* 334:125-130, 1995
7. Albertini RJ, Sram RJ, Vacek PM, Lynch J, Wright M, Nicklas JA, Boogaard PJ, Henderson RF, Swenberg JA, Tates AD, Ward JB. Jr. Biomarkers for assessing occupational exposures to 1,3-butadiene. *Chem-Biol Interact* 135-136: 429-453, 2001
8. Hayes RB, Zhang L, Swenberg JA, Yin SN, Xi L. Wiencke J, Bechtold WE, Yao M, Rothman N, Haas R, O'Neill JP, Wiemels J, Dosemeci M, Li G, Smith MT. Markers of carcinogenicity among butadiene-polymer workers in China. *Chem-Biol Interact* 135-136: 455-464, 2001
9. Boogaard PJ, van Sittert NJ, Megens HJ. Urinary metabolites and haemoglobin adducts as biomarkers of exposure to 1,3-butadiene: a basis for 1,3-butadiene cancer risk assessment. *Chem-Biol Interact* 135-136: 695-701, 2001
10. International Agency for Research on Cancer. IARC Monographs on the Evaluation of Carcinogenic Risks to Humans: 1,3-Butadiene, Ethylene Oxide and Vinyl Halides (Vinyl Fluoride, Vinyl Chloride and Vinyl Bromide) Volumes 97, 2008 . World Health Organization, Lyon, France.

11. Agency for Toxic Substances and Disease Registry. Toxicological Profile on Vinyl Chloride. Atlanta, GA, Center for Disease Control and Prevention.
[available at <http://www.astdr.cdc.gov/toxprofiles/phs20.html>]
12. Lei YC, Yang HT, Ma YC, Huang MF, Chang WP, Cheng TJ. DNA single strand breaks in peripheral lymphocytes associated with urinary thiodiglycolic acid levels in polyvinyl chloride workers. *Mutat Res* 561: 119-126, 2004
13. Kielhorn J, Melber, Ulrich Wahnschaffe, Aitio A, Mangelsdorf. Vinyl chloride: Still a cause for concern. *Environ Health Perspect* 108: 579-588, 2000
14. Koppmann R. Volatile organic compounds in the atmosphere, Blackwell Publishing Ltd., USA 2007
15. Elliott L, Longnecker MP, Kissling GE, London SJ. Volatile organic compounds and pulmonary function in the Third National Health and Nutrition Examination Survey, 1998-1994. *Environ Health Perspect* 114:1210-1214, 2006
16. Jeng HA, Lee IL, Cau YY, Yang CT, Lin C, Hong YJ. Changes in immunological and hematological parameters of female residents exposed to volatile organic compounds in the city of Kaohsiung, Taiwan. *J Environ Health* 69(2): 20-5, 2006
17. Nijem K, Kristensen P, Al-Khatib A, Takrori F, Bjertness E. Prevalence of neuropsychiatric and mucous membrane irritation complaints among Palestinian shoe factory workers exposed to organic solvents and plastic compounds. *Am J Ind Med* 40(2):192-8, 2001
18. HEI Air Toxics Review Panel. Mobile-Source Air Toxics: A Critical Review of the Literature on Exposure and Health Effects: Benzene. HEI Special Report 16. Health Effects Institute, Boston, Mass. 2007
19. WHO Air Quality Guideline for Europe. Copenhagen, World Health Organization Regional Office for Europe, 2000
20. Thepanondh S. Establishment of VOCs Emission Inventory in Thailand: A Report on Methods and Early Results. Pollution Control Department, Ministry of Natural Sources and Environment. 2006
21. Batterman SA, Peng C-Y, Braun J. Levels and composition of volatile organic compounds on commuting routes in Detroit, Michigan. *Atmos Environ* 36(39-40): 6015-6030, 2002
22. Na K., Kim YP., Moon KC., Moon I, Fung K. Concentrations of volatile organic compounds in an industrial area of Korea. *Atmos. Environ.* 35:2747–2756, 2001
23. Khoder MI. Ambient levels of volatile organic compounds in the atmosphere of Greater Cairo. *Atmos. Environ.* 41: 554–566, 2007

24. Wang P and Zhao W. Assessment of ambient volatile organic compounds (VOCs) near major roads in urban Nanjing, China. *Atmos Res* 89:289–297, 2008
25. Ohura T, Amagai T, Fusaya, M. Regional assessment of ambient volatile organic compounds in an industrial harbor area, Shizuoka, Japan. *Atmos. Environ.* 40: 238–248, 2006
26. Pollution Control Department. Annual Comparison of Volatile Organic Compounds (VOCs) in ambient air around Maptaphut area: 2550-2551.
[available at <http://www.aqnis.pcd.go.th/en/vocdata.htm>]
27. Navasumrit P, Chanvaivit S, Intarasunanon P, Arayasiri M, Lauhareungpanya N, Parnlob V, Settachan D, Ruchirawat M. Environmental and occupational exposure to benzene in Thailand. *Chem Biol Interact* 153-154: 75-83, 2005
28. Johnson ES, Langård, Lin YS. A critical of benzene exposure in the general population. *Sci Total Environ* 374:183-198, 2007
29. Fustinoni S, Buratti M, Campo L, Colombi A, Consonni D, Pesatori AC, Bonzini M, Farmer P, Garte S, Valerio F, Merlo DF, Bertazzi PA. Urinary t,t-muconic acid, S-phenylmercapturic acid and benzene as biomarkers of low benzene exposure. *Chem Biol Interact* 153-154: 253-256, 2005
30. Tsai SP, Fox EE, Ransdell JDWendt JK, Waddell LC, Donnelly RP. A hematology surveillance study of petrochemical workers exposed to benzene. *Regul Toxicol Pharmacol* 40(1): 67-73, 2004
31. Garte S, Popov T, Georgieva T, Bolognesi C, Taioli E, Bertazzi P, Farmer P, Merlo DF. Biomarkers of exposure and effect in Bulgarian petrochemical workers exposed to benzene. *Chem Biol Interact* 153-154: 247-251, 2005
32. Chanvaivit S, Navasumrit P, Hunsonti P, Autrup H, Ruchirawat M. Exposure assessment of benzene in Thai workers, DNA-repair capacity and influence of genetic polymorphisms. *Mutat Res* 626: 79-87, 2007
33. Butthumrung N, Mahidol C, Navasumrit P, Promvijit J, Hunsonti P, Autrup H, Ruchirawat M. Oxidative DNA damage and influence of genetic polymorphisms among urban and rural schoolchildren exposed to benzene. *Chem Biol Interact* 172: 185-194, 2008
34. Well MS, Nerland DE. Hematotoxicity and concentration-dependent conjugation of phenol in mice following inhalation exposure to benzene. *Toxicol Lett* 56(1-2): 159-166, 1991

35. Zhang Z, Schafer F, Schoenfeld H, Cooper K, Snyder R, Goldstein BD, Witz G. The hematotoxic effects of 6-hydroxy-*trans,trans*-2,4-hexadienal, a reactive metabolite of *trans, trans*-muconaldehyde, in CD-mice. *Toxicol Appl Pharmacol* 32(2): 213-219, 1995
36. Snyder R, Witz G, Goldstein BD. The toxicology of benzene. *Environ Health Perspect* 100:293-306, 1993
37. Rothman N, Li GL, Dosemeci M, Bechtold WE, Marti GE, Wang YZ, Linet M, Xi LQ, Lu W, Smith MT, Titenko-Holland N, Zhang LP, Bolt W, Yin SN, Hayea RB. Hematotoxicity among Chinese workers heavily exposed to benzene. *Am J Med* 99(3): 236-246, 1996
38. Qu Q, Shore R, Li G, Jin X, Melikian AA, Roy N, Chen LC, Wirgin I, Cohen B, Yin S, Li Y, Mu R. Biomarkers of benzene: urinary metabolites in relation to individual genotype and personal exposure. *Chem Biol Interact* 153-154: 85-95, 2005
39. Qu Q, Shore R, Li G, Jin X, Cohen B, Melikian AA, Eastmond D, Rappaport SM, Yin S, Li H, Waidyanatha S, Li Y, Mu R, Zhang X, Li K. Hematological changes among Chinese workers with a broad range of benzene exposures. *Am J Med* 142(4): 275-285, 2002
40. King AG, Landreth KS, Wierda D. Hydroquinone inhibits bone marrow pre-B cell maturation in vitro. *Mol Pharmacol* 32(6): 807-812, 1987
41. Robinson SN, Shah R, Wong BA, Wong VA, Farris GM. Immunotoxicological effects of benzene inhalation in male Sprague-Dawley rats. *Toxicology* 119(3): 227-237, 1997
42. Pyatt DW, Yang Y, Stillman WS, Cano LL, Irons RD. Hydroquinone inhibits PMA-induced activation of NFkappaB in primary human CD19+ B lymphocytes. *Cell Biol Toxicol* 16(1): 41-51, 2000
43. Bogadi-Sare A, Zavalic M, Trosic I, Turk R, Kontosic I, Jelcic I. Study of some immunological parameters in workers occupationally exposed to benzene. *Int Arch Occup Environ Health* 73(6): 397-400, 2000
44. Gillis B, Gavin IM, Arbiveva Z, King ST, Jayaraman S, Prabhakar B. Identification of human cell responses to benzene and benzene metabolites. *Genomics* 90: 324-333, 2007
45. Houle CD, Ton TV, Clayton N, Huff J, Hong HH, Sills RC. Frequent p53 and H-ras mutations in benzene- and ethylene oxide-induced mammary gland carcinomas from B6C3F1 mice. *Toxicol Pathol.* 34(6):752-62, 2006

46. Bodell WJ, Lavay G, Pongracz K. Investigation of benzene-DNA adducts and their detection in human bone marrow. *Environ Health Perspect* 99: 241-244, 1993
47. Pathak DN, Levay G, Bodell WJ. DNA adduct formation in the bone marrow of B6C3F1 mice treated with benzene. *Carcinogenesis* 16(8): 1803-1808, 1995
48. Xie Z, Zhang Y, Guliaey AB, Shen H, Hang B, Singer B, Wang Z. The p-benzoquinone DNA adduct derived from benzene are highly mutagenic. *DNA Repair* 4(12):1399-1409, 2005
49. Kolachana P, Subrahmanyam VV, Meyer KB, Zhang L, Smith MT. Benzene and its phenolic metabolites produce oxidative DNA damage in HL60 cells in vitro and in the bone marrow in vivo. *Cancer Res* 53(5): 1023-1026, 1993
50. Lui L, Zhang Q, Feng J, Deng L, Zeng N, Yang A, Zhang W. The studt of DNA oxidative damage in benzene-exposed workers. *Mutant Res.* 370(3-4): 145-150, 1996
51. Pilger A, Rüdiger HW. 8-Hydroxy-2'-deoxyguanosine as a marker of oxidative DNA damage related to occupational and environmental exposures. *Int Arch Occup Environ Health.* 80(1):1-15, 2006
52. Tuo J, Loft S, Thomsen MS, Poulsen HE. Benzene-induced genotoxicity in mice in vivo detected by alkaline comet assay: reduction by CYP2E1 inhibition. *Mutant Res.* 368(3-4): 213-219, 1996
53. Pandey Ak, Bajpayee M, Parmer D, Kumar R, Rastogi Sk, Mathur N, Thorning P, de Matas M, Shao Q, Anderson D, Dhawan A. Multipronged evaluation of genotoxicity in Indian petrol-pump workers. *Environ Mol Mutagen.* 49(9): 695-707, 2008
54. Fracasso ME, Doria D, Bartolucci GB, Carrieri M, Lovreglio P, Ballini A, Soleo L, Tranfo G, Manno M. Low air levels of benzene: correlation between biomarkers of exposure and genotoxic effects. *Toxicol Lett.* In Press, Corrected Proof, Available online 7 May 2009
55. Sul D, Lee D, Im H, Oh E, Kim J, Lee E. Single strand DNA breaks in T- and B-lymphocytes and granulocytes in workers exposed to benzene. *Toxicol Lett.* 134(1-3): 87-95, 2002
56. Carere A, Andreoli C, Calati R, Leopardi P, Marcon F, Rosati MV, Rossi S, Tomei F, Verdina A, Zijno A, Crebelli R. Biomontoring of exposure to urban air pollutants: analysis of sister chromatid exchanges and DNA lesions in peripheral lymphocytes to traffic policemen. *Mutant Res.* 518(2): 215-224, 2002

57. Travis LB, Li CY, Zhang ZN, Yin SN, Chow WH, Li GL, Dosemeci M, Bolt W, Fraumeni JF Jr. Hematopoietic malignancies and related disorders among benzene-exposed workers in China. *Leuk Lymphoma* 14(1-2): 91-102, 1994
58. Steinmaus C, Smith AH, Jones RM, Smith MT. Meta-analysis of benzene exposure and non-Hodgkin lymphoma: biases could mask an important association. *Occup Environ Med* 65(6): 371-378, 2008
59. Yin SN, Hayes RB, Linet MS, Li GL, Dosemeci M, Travis LB, Li CY, Zhang ZN, Li DG, Chow WH, Wacholder S, Wang YZ, Jiang ZL, Dai TR, Zhang WY, Chao XJ, Ye PZ, Kou QR, Zhang XC, Lin XF, Meng JF, Ding CY, Zho JS, Blot WJ. A cohort study of cancer among benzene-exposed workers in China: overall results. *Am J Ind Med.* 29(3):227-235, 1996
60. Sorahan T, Kinlen LJ, Doll R. Cancer risks in a historical UK cohort of benzene exposed workers. *Occup Environ Med.* 62(4): 231-236, 2005
61. Inter-Organization Programme for the Sound Management of Chemicals. Concise International Chemical Assessment Document 30. 1,3-Butadiene : Human Health Aspects. World Health Organization, Switzerland, 2001 [available at <http://www.who.int/ipcs/publications/cicad/en/cicad30.pdf>]
62. Osterman-Golkar S, Bond JA. Biomonitoring of 1,3-butadiene and related compounds. *Environ Health Perspect* 104(Suppl 5): 907-915, 1996
63. HEI Air Toxics Review Panel. Mobile-Source Air Toxics: A Critical Review of the Literature on Exposure and Health Effects: 1,3-Butadiene. HEI Special Report 16. Health Effects Institute, Boston, Mass. 2007
64. Higashino H, Mita K, Yoshikado H, Iwata M, Nakanishi J. Exposure and risk assessment of 1,3-butadiene in Japan. *Chem Biol Interact* 166: 52-62, 2007
65. Spakota A, Williams D, Buckley TJ. Tollbooth workers and mobile source-related hazardous air pollutants: how protective is the indoor environment? *Environ Sci Technol* 39(9): 2936-2943, 2005
66. Tovalin H, Strandberg B, Blanco S. Variation on children exposure to benzene, 1,3-butadiene, ozone and PM2.5 in Mexico City metropolitan area. *Epidemiology* 18(5): S177-S178, 2007
67. Kinney PI, Chillrud SN, Ramstrom S, Ross J, Spengler JD. Exposures to multiple air toxics in New York City. *Environ Health Perspect* 110(Suppl 4): 539-546, 2002
68. Albertini RJ, Sram RJ, Vacek PM, Lynch J, Rossner P, Nicklas JA, McDonald JD, Boysen G, Georgieva N, Swenberg JA. Molecular epidemiological studies in 1,3-

- butadiene exposed Czech workers: Female-male comparisons. *Chem Biol Interact* 166: 63-77, 2007
69. Fustinoni S, Perbellini L, Soleo L, Manno M, Foà V. Biological monitoring in occupational exposure to low levels of 1,3-butadiene. *Toxicol Lett.* 149: 353-360, 2004
 70. Henderson RF, Thornton-Manning JR, Bechtold WE, Dahl AR. Metabolism of 1,3-butadiene: species differences. *Toxicology* 113: 17-22, 1996
 71. Lin YS, Smith TJ, Kelsey KT, Wypij D. Human physiological factors in respiratory uptake of 1,3-butadiene. *Environ Health Perspect.* 109(9): 921-926, 2001
 72. Smith TJ, Lin YS, Mezzetti M, Bios FY, Kelsey K, Ibrahim J. Genetic and dietary factors affecting human metabolism of 1,3-butadiene. *Chem Biol Interact.* 135-136: 407-428, 2001
 73. Anderson D. Butadiene: species comparison for metabolism and genetic toxicology. *Mutant Res.* 405: 247-258, 1998
 74. Richardson KA, Peters MM, Wong BA, Megens RH, van Elburg PA, Booth ED, Boogard PJ, Bond JA, Medinsky MA, Watson WP, van Sittert NJ. Quantitative and qualitative differences in the metabolism of ^{14}C -1,3-butadiene in rats and mice: relevance to cancer susceptibility. *Toxicol Sci.* 49(2): 186-201, 1999
 75. Booth ED, Kilgour JD, Watson WP. Dose responses for the formation of hemoglobin adducts and urinary metabolites in rats and mice exposed by inhalation to low concentrations of 1,3-[2,3- ^{14}C]-butadiene. *Chem Biol Interact.* 147: 213-232, 2004
 76. Boysen G, Georgieva NI, Upton PB, Walker VE, Swenberg JA. N-Terminal globin adducts as biomarkers for formation of butadiene derived epoxides. *Chem Biol Interact.* 166: 84-92, 2007
 77. Swenberg JA, Christova-Gueorguieva NI, Upton PB, Ranasinghe A, Scheller N, Wu KY, Yen TY, Hayes R. 1,3-Butadiene: Cancer, mutations, and adducts. Part V: Hemoglobin adducts as biomarkers of 1,3-butadiene exposure and metabolism. *Res Rep Health Eff Inst.* 92: 191-210, 2000
 78. Tsai SP, Ahmed FS, Ransdell JD, Wendt JK, Donnelly RP. A hematology surveillance study of petrochemical workers exposed to 1,3-butadiene. *J Occup Environ Hyg.* 2(10):508-515, 2005

79. Walker VE, Meng Q. 1,3-butadiene: cancer, mutations, and adducts. Part III: In vivo mutation of the endogenous hprt genes of mice and rats by 1,3-butadiene and its metabolites. *Res Rep Health Eff Inst.* (92):89-139, 2000
80. Recio L, Saranko CJ, Steen AM. 1,3-butadiene: cancer, mutations, and adducts. Part II: Roles of two metabolites of 1,3-butadiene in mediating its in vivo genotoxicity. *Res Rep Health Eff Inst.* (92):49-87, 2000
81. Hong HH, Devereux TR, Melnick RL, Moomaw CR, Boorman GA, Sills RC. Mutations of ras protooncogenes and p53 tumor suppressor gene in cardiac hemangiosarcomas from B6C3F1 mice exposed to 1,3-butadiene for 2 years. *Toxicol Pathol.* 28(4):529-534, 2000
82. Ton TV, Hong HH, Devereux TR, Melnick RL, Sills RC, Kim Y. Evaluation of genetic alterations in cancer-related genes in lung and brain tumors from B6C3F1 mice exposed to 1,3-butadiene or chloroprene. *Chem Biol Interact.* 166(1-3):112-120, 2007
83. Koivisto P, Kilpeläinen I, Rasanen I, Adler ID, Pacchierotti F, Peltonen K. Butadiene diolepoxyde- and diepoxybutane-derived DNA adducts at N7-guanine: a high occurrence of diolepoxyde-derived adducts in mouse lung after 1,3-butadiene exposure. *Carcinogenesis.* 20(7):1253-1259, 1999
84. Boogaard PJ, van Sittert NJ, Watson WP, de Kloe KP. A novel DNA adduct, originating from 1,2-epoxy-3,4-butanediol, is the major DNA adduct after exposure to [2,3-(14)C]-1,3-butadiene,[4-(14)C]-1,2-epoxy-3-butane. *Chem Biol Interact.* 135-136:687-693, 2001
85. Goggin M, Loeber R, Park S, Walker V, Wickliffe J, Tretyakova N. HPLC-ESI+-MS/MS analysis of N7-guanine-N7-guanine DNA cross-links in tissues of mice exposed to 1,3-butadiene. *Chem Res Toxicol.* 20(5):839-847, 2007
86. Park S, Hodge J, Anderson C, Tretyakova N. Guanine-adenine DNA cross-linking by 1,2,3,4-diepoxybutane: potential basis for biological activity. *Chem Res Toxicol.* 17(12):1638-1651, 2004
87. Kanuri M, Nechev LV, Tamura PJ, Harris CM, Harris TM, Lloyd RS. Mutagenic spectrum of butadiene-derived N1-deoxyinosine adducts and N6,N6-deoxyadenosine intrastrand cross-links in mammalian cells. *Chem Res Toxicol.* 15(12):1572-1580, 2000

88. Xi L, Zhang L, Wang Y, Smith MT. Induction of chromosome-specific aneuploidy and micronuclei in human lymphocytes by metabolites of 1,3-butadiene. *Carcinogenesis*. 18(9):1687-1693, 1997
89. Murg M, Schuler M, Eastmond DA. Evaluation of micronuclei and chromosomal breakage in the 1cen-q12 region by the butadiene metabolites epoxybutene and diepoxybutane in cultured human lymphocytes. *Mutagenesis*. 14(6):541-546, 1999
90. Bernardini S, Hirvonen A, Pelin K, Norppa H. Induction of sister chromatid exchange by 1,2-epoxy-3-butene in cultured human lymphocytes: influence of GSTT1 genotype. *Carcinogenesis*. 19(2):377-380, 1998
91. Zhang L, Hayes RB, Guo W, McHale CM, Yin S, Wiencke JK, Patrick O'Neill J, Rothman N, Li GL, Smith MT. Lack of increased genetic damage in 1,3-butadiene-exposed Chinese workers studied in relation to EPHX1 and GST genotypes. *Mutat Res.* 558(1-2):63-74, 2004
92. Srám RJ, Rössner P, Peltonen K, Podrazilová K, Mracková G, Demopoulos NA, Stephanou G, Vlachodimitropoulos D, Darroudi F, Tates AD. Chromosomal aberrations, sister-chromatid exchanges, cells with high frequency of SCE, micronuclei and comet assay parameters in 1, 3-butadiene-exposed workers. *Mutat Res.* 419(1-3):145-154, 1998
93. Miller RA, Boorman GA. Morphology of neoplastic lesions induced by 1,3-butadiene in B6C3F1 mice. *Environ Health Perspect.* 86:37-48, 1990
94. Melnick RL, Huff J, Chou BJ, Miller RA. Carcinogenicity of 1,3-butadiene in C57BL/6 x C3H F1 mice at low exposure concentrations. *Cancer Res.* 50(20):6592-6599, 1990
95. Delzell E, Sathiakumar N, Hovinga M, Macaluso M, Julian J, Larson R, Cole P, Muir DC. A follow-up study of synthetic rubber workers. *Toxicology*. 113(1-3):182-189, 1996
96. Divine BJ, Hartman CM. Mortality update of butadiene production workers. *Toxicology*. 113(1-3):169-181, 1996
97. Divine BJ, Hartman CM. A cohort mortality study among workers at a 1,3 butadiene facility. *Chem Biol Interact.* 135-136:535-553, 2001
98. Tsai SP, Wendt JK, Ransdell JD. A mortality, morbidity, and hematology study of petrochemical employees potentially exposed to 1,3-butadiene monomer. *Chem Biol Interact.* 135-136:555-67, 2001

99. Kielhorn J, Melber C, Wahnschaffe, Aitio A, Mangelsdorf I. Vinyl chloride: still a cause for concern. *Environ Health Perspect* 108: 579-588, 2000
100. Yamamoto K, Fukushima M, Kakutani N, Tsuruho K. Contamination of vinyl chloride in shallow urban rivers in Osaka, Japan. *Water Res.* 35(2): 561-566, 2001
101. Fan C, Wang GS, Chen YC, Ko CH. Risk assessment of exposure to volatile organic compounds in groundwater in Taiwan. *Sci Total Environ* 407:2165-2174, 2009
102. Lei YC, Yang HT, Ma YC, Huang MF, Chang WP, Cheng TJ. DNA single strand breaks in peripheral lymphocytes associated with urinary thiodiglycolic acid levels in polyvinyl chloride workers. *Mutat Res.* 561(1-2):119-126, 2004
103. Zhu S, Wang A, Xia Z. Polymorphisms of DNA repair gene XPD and DNA damage of workers exposed to vinylchloride monomer. *Int J Hyg Environ Health.* 208(5):383-390, 2000
104. Clewell HJ, Gentry PR, Gearhart JM, Allen BC, Andersen ME. Comparison of cancer risk estimates for vinyl chloride using animal and human data with a PBPK model. *Sci Total Environ.* 274(1-3):37-66, 2001
105. Hefner RE Jr, Watanabe PG, Gehring PJ. Preliminary studies on the fate of inhaled vinyl chloride monomer (VCM) in rats. *Environ Health Perspect.* 11:85-95, 1975
106. Bolt HM. Vinyl chloride-a classical industrial toxicant of new interest. *Crit Rev Toxicol.* 35(4):307-323, 2005
107. Cheng TJ, Huang YF, Ma YC. Urinary thiodiglycolic acid levels for vinyl chloride monomer-exposed polyvinyl chloride workers. *J Occup Environ Med.* 43(11):934-938, 2001
108. Lilis R. Review of pulmonary effects of poly(vinyl chloride) and vinyl chloride exposure. *Environ Health Perspect.* 41:167-169, 1981
109. Dosanjh MK, Chenna A, Kim E, Fraenkel-Conrat H, Samson L, Singer B. All four known cyclic adducts formed in DNA by the vinyl chloride metabolite chloroacetaldehyde are released by a human DNA glycosylase. *Proc Natl Acad Sci U S A.* 91(3):1024-1028, 1994
110. Barbin A. Formation of DNA etheno adducts in rodents and humans and their role in carcinogenesis. *Acta Biochim Pol.* 45(1):145-161, 1998
111. Slikker W Jr, Andersen ME, Bogdanffy MS, Bus JS, Cohen SD, Conolly RB, David RM, Doerrer NG, Dorman DC, Gaylor DW, Hattis D, Rogers JM, Setzer RW,

- Swenberg JA, Wallace K. Dose-dependent transitions in mechanisms of toxicity: case studies. *Toxicol Appl Pharmacol.* 201(3):226-94, 2004
112. Guichard Y, el Ghissassi F, Nair J, Bartsch H, Barbin A. Formation and accumulation of DNA ethenobases in adult Sprague-Dawley rats exposed to vinyl chloride. *Carcinogenesis.* 17(8):1553-91559, 1996
113. Weihrauch M, Benicke M, Lehnert G, Wittekind C, Wrbitzky R, Tannapfel A. Frequent k-ras -2 mutations and p16(INK4A)methylation in hepatocellular carcinomas in workers exposed to vinyl chloride. *Br J Cancer.* 84(7):982-989, 2001
114. Barbin A, Froment O, Boivin S, Marion MJ, Belpoggi F, Maltoni C, Montesano R. p53 gene mutation pattern in rat liver tumors induced by vinyl chloride. *Cancer Res.* 57(9):1695-1698, 1997
115. Weihrauch M, Bader M, Lehnert G, Koch B, Wittekind C, Wrbitzky R, Tannapfel A. Mutation analysis of K-ras-2 in liver angiosarcoma and adjacent nonneoplastic liver tissue from patients occupationally exposed to vinyl chloride. *Environ Mol Mutagen.* 40(1):36-40, 2002
116. Laplanche A, Clavel-Chapelon F, Contassot JC, Lanouzière C. Exposure to vinyl chloride monomer: results of a cohort study after a seven year follow up. The French VCM Group. *Br J Ind Med.* 49(2):134-137, 1992
117. Ward E, Boffetta P, Andersen A, Colin D, Comba P, Deddens JA, De Santis M, Engholm G, Hagmar L, Langard S, Lundberg I, McElvenny D, Pirastu R, Sali D, Simonato L. Update of the follow-up of mortality and cancer incidence among European workers employed in the vinyl chloride industry. *Epidemiology.* 12(6):710-718, 2001
118. Lewis R, Rempala G, Dell LD, Mundt KA. Vinyl chloride and liver and brain cancer at a polymer production plant in Louisville, Kentucky. *J Occup Environ Med.* 45(5):533-537, 2003
119. Scélo G, Constantinescu V, Csiki I, Zaridze D, Szeszenia-Dabrowska N, Rudnai P, Lissowska J, Fabiánová E, Cassidy A, Slamova A, Foretova L, Janout V, Fevotte J, Fletcher T, Mannetje A, Brennan P, Boffetta P. Occupational exposure to vinyl chloride, acrylonitrile and styrene and lung cancer risk (europe). *Cancer Causes Control.* 15(5):445-52, 2004
120. Marnett LJ. Oxyradicals and DNA damage. *Carcinogenesis.* 21(3): 361-370, 2000
121. Poulsen HE. Oxidative DNA modifications. *Exp Toxicol Pathol.* 57 (Suppl 1): 161-169, 2005

122. Angerer J, Ewers U, Wilhelm M. Human biomonitoring: State of the art. *Int J Hyg Environ-Health* 210: 201-228, 2007
123. Møller P. Assessment of reference values for DNA damage detected by the comet assay in human blood cell DNA. *Mutat Res.* 612(2):84-104, 2006
124. Wood RD, Mitchell M, Sgouros J, Lindahl T. Human DNA repair genes. *Science.* 291: 1284-1289, 2001
125. Rumchev K, Spickett J, Bulsara M, Phillips M, Stick S. Association of domestic exposure to volatile organic compounds with asthma in young children. *Thorax.* 59(9):746-755, 2004
126. Arif AA, Shah SM. Association between personal exposure to volatile organic compounds and asthma among US adult population. *Int Arch Occup Environ Health.* 80(8):711-719, 2007
127. Gosepath J, Grebneva N, Brieger J, Mann WJ. Evaluation of inflammatory reactions and genotoxic effects after exposure of nasal respiratory epithelia to benzene. *ORL J Otorhinolaryngol Relat Spec.* 65(6):348-352, 2003
128. Fischader G, Roder-Stolinski C, Wichmann G, Nieber K, Lehmann I. Release of MCP-1 and IL-8 from lung epithelial cells exposed to volatile organic compounds. *Toxicol In Vitro.* 22(2):359-366, 2008
129. Pariselli F, Sacco MG, Ponti J, Rembges D. Effects of toluene and benzene air mixtures on human lung cells (A549). *Exp Toxicol Pathol.* 61(4):381-386, 2009
130. Martin LD, Rochelle LG, Fischer BM, Krunkosky TM, Adler KB. Airway epithelium as an effector of inflammation: molecular regulation of secondary mediators. *Eur Respir J* 10: 2139-2146, 1997
131. Lappégaard KT, Fung M, Bergseth G, Riesenfeld J, Mollnes TE. Artificial surface-induced cytokine synthesis: effect of heparin coating and complement inhibition. *Ann Thorac Surg.* 78(1):38-44, 2004
132. Arsalane K, Broeckaert F, Knoops B, Clippe A, Buchet JP, Bernard A. Increased serum and urinary concentrations of lung clara cell protein in rats acutely exposed to ozone. *Toxicol Appl Pharmacol.* 159(3):169-714, 1999
133. Broeckaert F, Arsalane K, Hermans C, Bergamaschi E, Brustolin A, Mutti A, Bernard A. Serum clara cell protein: a sensitive biomarker of increased lung epithelium permeability caused by ambient ozone. *Environ Health Perspect.* 108(6):533-537, 2000

134. Bernard A, Hermans C, Van Houte G. Transient increase of serum Clara cell protein (CC16) after exposure to smoke. *Occup Environ Med.* 54(1):63-65, 1997
135. Carbonnelle S, Francaux M, Doyle I, Dumont X, de Burbure C, Morel G, Michel O, Bernard A. Changes in serum pneumoproteins caused by short-term exposures to nitrogen trichloride in indoor chlorinated swimming pools. *Biomarkers.* 7(6):464-478, 2002
136. Bernard AM, Roels HA, Buchet JP, Lauwerys RR. Serum Clara cell protein: an indicator of bronchial cell dysfunction caused by tobacco smoking. *Environ Res.* 66(1):96-104, 1994
137. Haddam N, Samira S, Dumont X, Taleb A, Haufroid V, Lison D, et al. Lung epithelium injury biomarkers in workers exposed to sulphur dioxide in a non-ferrous smelter. *Biomarkers* 14(5):292-298, 2009
138. Navasumrit P, Arayasiri M, Hiang OM, Leechawengwongs M, Promvijit J, Choonvisase S, Chantchaemsai S, Nakngam N, Mahidol C, Ruchirawat M. Potential health effects of exposure to carcinogenic compounds in incense smoke in temple workers. *Chem Biol Interact.* 173(1):19-31, 2008
139. Hung IF, Huang KC, Hung CK, Shih TS. A thermal desorption gas chromatographic method for sampling and analysis of airborne vinyl chloride. *Chemosphere.* 32(4): 661-666, 1996
140. Melikian AA, O'Connor R, Prahalad AK, Hu P, Li H, Kagan M, Thompson S. Determination of the urinary benzene metabolites S-phenylmercapturic acid and trans,trans-muconic acid by liquid chromatography-tandem mass spectrometry. *Carcinogenesis.* 20(4): 719-726, 1999
141. Marchese S, Curini R, Gentili A, Perret D, Rocca LM, Simultaneous determination of the urinary metabolites of benzene, toluene, xylene and styrene using high-performance liquid chromatography/hybrid quadrupole time-of-flight mass spectrometry. *Rapid Commun Mass Spectrom.* 18(3): 265-272, 2004
142. Urban M, Gilch G, Schepers G, van Miert G, Scherer G, Determination of the major mercapturic acids of 1,3-butadiene in human and rat urine using liquid chromatography with tandem mass spectrometry. *J Chromatogr B Analyt Technol Biomed Life Sci.* 796: 131-140, 2003
143. Lerch S, Küpfer A, Idle JR, Lauterburg BH. Cerebral formation in situ of S-carboxymethylcysteine after ifosfamide administration to mice: A further clue to the mechanism of ifosfamide encephalopathy. *Toxicol Lett.* 161(3): 188-194, 2006

144. Harri M, Kasai H, Mori T, Tornaeus J, Savela K, Peltonen K. Analysis of 8-hydroxy-2'-deoxyguanosine in urine using high-performance liquid chromatography-electrospray tandem mass spectrometry. *J Chromatogr B Analyt Technol Biomed Life Sci.* 853(1-2): 242-246, 2007
145. Singh NP, McCoy MT, Tice RR, Schneider EL. A simple technique for quantitation of low levels of DNA damage in individual cells. *Exp Cell Res.* 175(1):184-91, 1988
146. Marcon F, Andreoli C, Rossi S, Verdina A, Galati R, Crebelli R. Assessment of individual sensitivity to ionizing radiation and DNA repair efficiency in a healthy population. *Mutat Res.* 541(1-2):1-8, 2003
147. Au WW, Walker DM, Ward JB, Whorton E, Legator MS, Singh V. Factors contributing to chromosome damage in lymphocytes of smokers. *Mutat. Res.* 260: 137–144, 1991
148. Au WW. Abnormal chromosome repair and risk of developing cancer. *Environ. Health Perspect.* 101(Suppl. 3): 303–308, 1993
149. Strassburg CP, Oldhafer K, Manns MP, Tukey RH. Differential expression of the *UGT1A* locus in human liver, biliary, and gastric tissue: Identification of *UGT1A7* and *UGT1A10* transcripts in extrahepatic tissue. *Mol Pharmacol.* 52: 212-220, 1997
150. Kanazawa Y, Isomoto H, Wen CY, Wang AP, Saenko VA, Ohtsuru A, Takeshima F, Omagari K, Mizuta Y, Murata I, Yamashita S, Kohno S. Impact of endoscopically minimal involvement on IL-8 mRNA expression in esophageal mucosa of patients with non-erosive reflux disease. *World J Gastroenterol.* 9(12):2801-2804, 2003
151. Hsieh LT, Yang HH, Chen HW. Ambient BTEX and MTBE in the neighborhoods of different industrial parks in Southern Taiwan. *J Hazard Mater.* 128(2-3):106-115, 2006
152. Aleksic N, Boynton G, Sistla G, Perry J. Concentrations and trends of benzene in ambient air over New York State during 1990-2003. *Atmos Environ.* 39:7894-7905, 2005
153. Organisation for Economic Co-operation and Development (OECD). SIDS Initial Assessment Report for SIAM 13: Vinyl Chloride. UNEP publication, Bern, Switzerland, 2001

154. Gustafson P, Barregard L, Strandberg B, Sällsten G. The impact of domestic wood burning on personal, indoor and outdoor levels of 1,3-butadiene, benzene, formaldehyde and acetaldehyde. *J Environ Monit.* 9(1):23-32, 2007
155. Kim YM, Harrad S, Harrison RM. Levels and sources of personal inhalation exposure to volatile organic compounds. *Environ Sci Technol.* 36(24):5405-5410, 2002
156. Osterman-Golkar S, Bond JA. Biomonitoring of 1,3-butadiene and related compounds. *Environ Health Perspect.* 104 (Suppl 5):907-915, 1996
157. Brugnone F, Perbellini L, Maranelli G, Romeo L, Guglielmi G, Lombardini F. Reference values for blood benzene in the occupationally unexposed general population. *Int Arch Occup Environ Health.* 64(3):179-84, 1992
158. Brugnone F, Perbellini L, Romeo L, Bianchin M, Tonello A, Pianalto G, Zambon D, Zanon G. Benzene in environmental air and human blood. *Int Arch Occup Environ Health.* 71(8):554-9, 1998
159. Environmental Protection Agency (U.S) Integrated Risk Information System: Benzene (CASRN 71-43-2) (last updated April 17, 2003). [available at <http://www.epa.gov/iris/subt/0276.htm>]
160. Qu Q, Melikian AA, Li G, Shore R, Chen L, Cohen B, Yin S, Kagan MR, Li H, Meng M, Jin X, Winnik W, Li Y, Mu R, Li K. Validation of biomarkers in humans exposed to benzene: urine metabolites. *Am J Ind Med.* 37(5):522-531, 2000
161. Wiwanitkit V, Suwansaksri J, Soogarun S. Monitoring of urine trans, trans-muconic acid level among smokers and non-smokers. *Respir Med.* 99(6):788-791, 2005
162. Thummachinda S, Kaewpongsri S, Wiwanitkit V, Suwansaksri J. High urine ttMA levels among fishermen from a Thai rural village. *Southeast Asian J Trop Med Public Health.* 33(4):878-880, 2002
163. Boogaard PJ, van Sittert NJ, Megens HJ. Urinary metabolites and haemoglobin adducts as biomarkers of exposure to 1,3-butadiene: a basis for 1,3-butadiene cancer risk assessment. *Chem Biol Interact.* 135-136:695-701, 2001
164. Ding YS, Blount BC, Valentin-Blasini L, Applewhite HS, Xia Y, Watson CH, Ashley DL. Simultaneous determination of six mercapturic acid metabolites of volatile organic compounds in human urine. *Chem Res Toxicol.* 22(6):1018-1025, 2009
165. van Sittert NJ, Megens HJ, Watson WP, Boogaard PJ. Biomarkers of exposure to 1,3-butadiene as a basis for cancer risk assessment. *Toxicol Sci.* 56(1):189-202, 2000

166. Antweiler H. Studies on the metabolism of vinyl chloride. *Environ Health Perspect.* 17:217-219, 1976
167. Chatton JY, Idle JR, Vågbø CB, Magistretti PJ. Insights into the mechanisms of ifosfamide encephalopathy: drug metabolites have agonistic effects on alpha-amino-3-hydroxy-5-methyl-4-isoxazolepropionic acid (AMPA)/kainate receptors and induce cellular acidification in mouse cortical neurons. *J Pharmacol Exp Ther.* 299(3):1161-1168, 2001
168. Lerch S, Küpfer A, Idle JR, Lauterburg BH. Cerebral formation in situ of S-carboxymethylcysteine after ifosfamide administration to mice: a further clue to the mechanism of ifosfamide encephalopathy. *Toxicol Lett.* 161(3):188-194, 2006
169. Navrátil T, Petr M, Senholdová Z, Pristoupilová K, Pristoupil TI, Heyrovský M, Pelclová D, Kohlíková E. Diagnostic significance of urinary thiodiglycolic acid as a possible tool for studying the role of vitamins B12 and folates in the metabolism of thiolic substances. *Physiol Res.* 56(1):113-122, 2007
170. Broeckaert F, Arsalane K, Hermans C, Bergamaschi E, Brustolin A, Mutti A, Bernard A. Lung epithelial damage at low concentrations of ambient ozone. *Lancet.* 353: 900-901, 1999
171. Michel O, Murdoch R, Bernard A. Inhaled LPS induces blood release of Clara cell specific protein (CC16) in human beings. *J Allergy Clin Immunol.* 115(6):1143-1147, 2005
172. Berthoin K, Broeckaert F, Robin M, Haufroid V, De Burbure C, Bernard A. Serum pneumoproteins and biomarkers of exposure to urban air pollution: a cross-sectional comparison of policemen and foresters. *Biomarkers.* 9(4-5):341-352, 2004
173. Madsen C, Durand KL, Nafstad P, Schwarze PE, Rønningen KS, Håheim LL. Associations between environmental exposures and serum concentrations of Clara cell protein among elderly men in Oslo, Norway. *Environ Res.* 108(3):354-360, 2008
174. Standiford TJ, Kunkel SL, Basha MA, Chensue SW, Lynch JP 3rd, Toews GB, Westwick J, Strieter RM. Interleukin-8 gene expression by a pulmonary epithelial cell line. A model for cytokine networks in the lung. *J Clin Invest.* 86(6):1945-1953, 1990
175. Kawasaki S, Takizawa H, Takami K, Desaki M, Okazaki H, Kasama T, Kobayashi K, Yamamoto K, Nakahara K, Tanaka M, Sagai M, Ohtoshi T. Benzene-extracted

- components are important for the major activity of diesel exhaust particles: effect on interleukin-8 gene expression in human bronchial epithelial cells. Am J Respir Cell Mol Biol. 24(4):419-426, 2001
176. Hellermann GR, Nagy SB, Kong X, Lockey RF, Mohapatra SS. Mechanism of cigarette smoke condensate-induced acute inflammatory response in human bronchial epithelial cells. Respir Res. 3:22,2002
177. Bironaite D, Siegel D, Moran JL, Weksler BB, Ross D. Stimulation of endothelial IL-8 (eIL-8) production and apoptosis by phenolic metabolites of benzene in HL-60 cells and human bone marrow endothelial cells. Chem Biol Interact. 149(2-3):177-188, 2004
178. Hirayama Y, Kohgo Y, Matsunaga T, Ohi S, Sakamaki S, Niitsu Y. Cytokine mRNA expression of bone marrow stromal cells from patients with aplastic anaemia and myelodysplastic syndrome. Br J Haematol. 85(4):676-683, 1993
179. Tripathy NK, Nityanand S; Vibhuti. Bone marrow and blood plasma levels of IL-8 in aplastic anemia and their relationship with disease severity. Am J Hematol. 79(3):240-242, 2005
180. Gu Y, Hu X, Liu C, Qv X, Xu C. Interleukin (IL)-17 promotes macrophages to produce IL-8, IL-6 and tumour necrosis factor-alpha in aplastic anaemia. Br J Haematol. 142(1):109-114, 2008